

**IDENTIFIKASI JENIS DAN ARAH SESAR AKTIF DI
WILAYAH SULAWESI SELATAN MENGGUNAKAN
METODE HIPOSENTER DAN *CENTROID* (H-C)**



Skripsi

Diajukan untuk memenuhi salah satu syarat untuk meraih gelar Sarjana
Jurusan Fisika Fakultas Sains dan Teknologi
UIN Alauddin Makassar

Oleh :

UNIVERSITAS ISLAM NEGERI

ALAUDDIN
M A K A S S A R

LORNA
NIM. 60400114041

**FAKULTAS SAINS DAN TEKNOLOGI
UNIVERSITAS ISLAM NEGERI ALAUDDIN MAKASSAR
2018**

PENGESAHAN SKRIPSI

Skripsi yang berjudul “**Identifikasi Jenis dan Arah Sesar Aktif di Wilayah Sulawesi Selatan Menggunakan Metode Hiposenter dan Centroid (H-C)**”, Yang disusun oleh saudari **Lorna**, Nim:60400114041 Mahasiswi jurusan Fisika pada Fakultas Sains dan Teknologi UIN Alauddin Makassar, Telah diuji dan dipertahankan dalam munaqasyah yang diselenggarakan pada hari **Selasa 7 Agustus 2018 M**, bertepatan dengan 1 Dzulkaidah 1439 H, dinyatakan telah dapat diterima sebagai salah satu syarat untuk meraih gelar Sarjana dalam Ilmu Sains dan Teknologi Jurusan Fisika (dengan beberapa perbaikan).

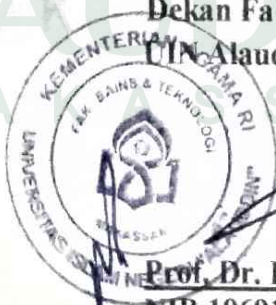
Makassar, 7 Agustus 2018 M
25 Dzulkaidah 1439 H

DEWAN PENGUJI

Ketua	: Prof. Dr. H. Arifuddin, M.Ag	(.....)
Sekretaris	: Ihsan, S.Pd., M.Si	(.....)
Munaqisy I	: Hernawati, S.Pd., M.Pfis	(.....)
Munaqisy II	: Dr. H. Muh. Sadik Sabry, M.Ag	(.....)
Pembimbing I	: Rahmaniah, S.Si., M.Si	(.....)
Pembimbing II	: Ayusari Wahyuni, S.Si., M.Sc	(.....)

Diketahui oleh:

Dekan Fakultas Sains dan Teknologi
UIN Alauddin Makassar



Prof. Dr. H. Arifuddin, M.Ag
NIP:19691205 199303 1 001

PERNYATAAN KEASLIAN SKRIPSI

Mahasiswa yang bertanda tangan dibawah ini:

Nama : LORNA
Nim : 60400114041
Tempat/Tgl.Lahir : Bosso Batu, 26 Juli 1996
Jurusan/Prodi/Konsentrasi : Fisika/Fisika/seismologi
Fakultas/Program : Sains dan Teknologi
Alamat : Samata Gowa
Judul Skripsi : Identifikasi Arah dan Jenis Sesar Aktif di Wilayah Sulawesi Selatan Menggunakan Metode Hiposenter dan *Centroid* (H-C)

Menyatakan dengan sesungguhnya Dan penuh kesadaran bahwa skripsi ini benar adalah hasil karya penyusun sendiri. Jika kemudian hari terbukti bahwa skripsi ini merupakan duplikat, tiruan, plagiat, atau dibuat oleh orang lain, sebagian atau seluruhnya, maka skripsi ini dan gelar yang diperoleh karenanya batal demi hukum.

Gowa, Juli 2018

Penyusun

LORNA

Nim:60400114041

KATA PENGANTAR

بِسْمِ اللَّهِ الرَّحْمَنِ الرَّحِيمِ

Puji syukur kami panjatkan kehadiran Allah SWT, Sang Maha Pencipta dan Pengatur Alam Semesta yang telah menghatarkan segala apa yang ada di muka bumi ini menjadi berarti. Tidak ada satupun suatu yang diturunkan-Nya menjadi sia-sia, berkat rahmat dan hidayah-Nyalah sehingga skripsi yang berjudul **“Identifikasi Jenis dan Arah Sesar Aktif Wilayah Sulawesi Selatan Menggunakan Metode Hiposenter dan *Centroid* (H-C)”** ini dapat terselesaikan. Skripsi ini disusun sebagai salah satu syarat untuk mengerjakan skripsi pada program Strata-I di Jurusan Fisika, Fakultas Sains dan Teknologi Universitas Islam Negeri (UIN) Alauddin Makasssar. Kemudian shalawat serta salam tak lupa kami kirimkan kepada Nabi Muhammad SAW, junjungan muslim sedunia serta para sahabat yang telah memperjuangkan agama Islam.

Skripsi ini penulis persembahkan dengan penuh rasa terima kasih kepada Ayahanda tercinta **Abd. Rahman P**, dan Ibunda tercinta **Hawati** selaku orangtua yang telah menjadi motivator dan pemberi semangat yang luar biasa agar penulis dapat menyelesaikan skripsi ini dengan cepat serta tiada henti-hentinya mendoakan penulis dengan penuh kesabaran dan ketulusan agar penulis diberi kemudahan dalam menyelesaikan tugas akhir ini.

Di samping itu, penulis mengucapkan terima kasih pula kepada Ibunda **Rahmaniah, S.Si., M.Si.** selaku pembimbing I yang telah banyak memberikan sedekah tenaga, pikiran, motivasi dan bersabar meluangkan waktu dengan setulus

hati dalam proses bimbingan sampai pada penulisan penyelesaian penulisan Skripsi ini serta kepada Ibunda **Ayusari Wahyuni S.Si., M.Si.** selaku pembimbing II sekaligus penasehat akademik yang senantiasa memberikan bimbingan, saran maupun motivasi dalam penyelesaian Skripsi ini dan Bapak **Muhammad Fawzy Ismullah S.Si., M.T** selaku pembimbing III yang telah meluangkan waktunya dan senantiasa memberikan bimbingan dalam penyelesaian Skripsi ini.

Penulis juga menyari sepenuhnya, dalam penyusunan skripsi ini tidak lepas dari tantangan dan hambatan namun berkat pertolongan dari Allah SWT dan dukungan, bantuan serta doa dari berbagai pihak sehingga penyelesaian skripsi ini dapat terwujud. Oleh karena itu penulis juga mengucapkan terimah kasih kepada:

1. Bapak **Prof. Dr. Musafir Pabbari, M.Si**, selaku Rektor UIN Alauddin Makassar, yang telah membawa kampus UIN Alauddin Makassar menjadi lebih baik dibidang akademik, fasilitas kampus, dan pelayanan kampus dari tahun-tahun sebelumnya.
2. Bapak **Prof. Dr. H. Arifuddin, M.Ag**, selaku Dekan Fakultas Sains dan Teknologi UIN Alauddin Makassar, yang telah membawa Fakultas Sains dan Teknologi menjadi lebih baik dibidang akademik, fasilitas kampus, dan pelayanan kampus dari tahun-tahun sebelumnya.
3. Ibu **Sahara, S.Si., M.Sc., Ph.D**, selaku Ketua Jurusan Fisika yang telah mengabdikan seluruh tenaga dan pikiran untuk jurusan Fisika yang lebih baik.

4. Bapak **Ihsan, S.Pd., M.Si**, selaku Sekertaris Jurusan Fisika yang telah membantu selama masa studi.
5. Ibu **Rahmaniah, S.Si., M.Si**. selaku Kepala Laboratorium Jurusan Fisika Fakultas Sains dan Teknologi UIN Alauddin Makassar.
6. Ibu **Hernawati, S.pd. M.Pfis**, selaku Penguji I dan Bapak **Dr. H. Muh. Sadik Sabry, M.Ag**, selaku penguji II yang telah memberikan kritikan dan saran yang membangun kepada penulis.
7. Seluruh **Dosen-Dosen Jurusan Fisika** Fakultas Sains dan Teknologi UIN Alauddin Makassar yang telah memberikan ilmu dan motivasi kepada penulis.
8. Seluruh pegawai **Staf Akademik** Fakultas Sains dan Teknologi UIN Alauddin Makassar yang telah membantu persuratan dan izin penelitian hingga selesai.
9. Ibu **Hadiningsih, S.E**, selaku Staf Akademik Jurusan Fisika Fakultas Sains dan Teknologi UIN Alauddin Makassar memberikan izin dan persuratan proses penelitian.
10. Seluruh **Pegawai Laboratorium** Jurusan Fisika Fakultas Sains dan Teknologi UIN Alauddin Makassar.
11. Saudara saya **Ahmad Ashari R** dan **Arjun** yang tak henti-hentinya memberikan semangat, dorongan dan doa kepada penulis dalam menyelesaikan skripsi ini, semoga kita bisa membahagiakan ayah dan ibu dunia dan akhirat.

12. Keluarga besarku yang selalu memberikan doa, semangat dan motivasi kepada penulis.
13. Teman-teman angkatan **Iners14**, yang telah menemani penulis dari awal menjadi mahasiswa baru dan hingga saat ini, semoga kesuksesan dunia dan akhirat menyertai kita semua.
14. Sahabat-sahabat tercintaku kelas **Fisika A** yang telah menjadi sahabat selama 4 tahun terakhir, yang setia mendengar keluh kesah selama menjadi mahasiswa. Semoga persahabatan kita kekal dunia dan akhirat.
15. Kepada teman-teman dari jurusan geofisika UNHAS yang telah membantu dan memberikan ilmu dalam penyelesaian tugas akhir ini.
16. Ucapan terima kasih juga kepada sahabat-sahabat seperjuangan **KKN posko Kelurahan Kassi Pangkep** yang telah memberikan semangat kepada penulis dalam penyusunan skripsi diawal hingga akhir semoga kesuksesan menyertai kita semua.

Semoga Allah Swt memberikan balasan yang berlipat ganda pada semuanya. Meskipun skripsi ini telah penulis usahakan semaksimal mungkin, penulis menyadari skripsi penelitian ini tidak luput dari berbagai kekurangan, maka dari itu penulis mengharapkan saran dan kritik yang membangun demi kesempurnaan dan perbaikan sehingga akhirnya skripsi penelitian ini dapat memberikan manfaat khususnya pada penulis serta dalam bidang pendidikan dan masyarakat.

Gowa, Juli 2018
Penyusun

LORNA
Nim:60400114041

DAFTAR ISI

HALAMAN JUDUL	i
LEMBAR PENGESAHAN SKRIPSI	ii
PERNYATAAN KEASLIAN SKRIPSI.....	iii
KATA PENGANTAR.....	iv
DAFTAR ISI.....	viii
DAFTAR GAMBAR.....	x
DAFTAR TABEL.....	xiii
DAFTAR LAMPIRAN.....	ix
ABSTRAK	xv
ABSTRACT	xvi
BAB I PENDAHULUAN.....	1
1.1 Latar Belakang.....	1
1.2 Rumusan Masalah.....	3
1.3 Tujuan Penelitian.....	3
1.4 Ruang Lingkup	3
1.5 Manfaat Penelitian.....	4
BAB II TINJAUAN PUSTAKA.....	5
2.1 Keterkaitan Ayat Al-Qur'an dengan Penelitian.....	5
2.2 Tektonik Sulawesi.....	9
2.3 Gempabumi.....	11
2.4 Sesar.....	16
2.5 Sesar Walanae.....	21

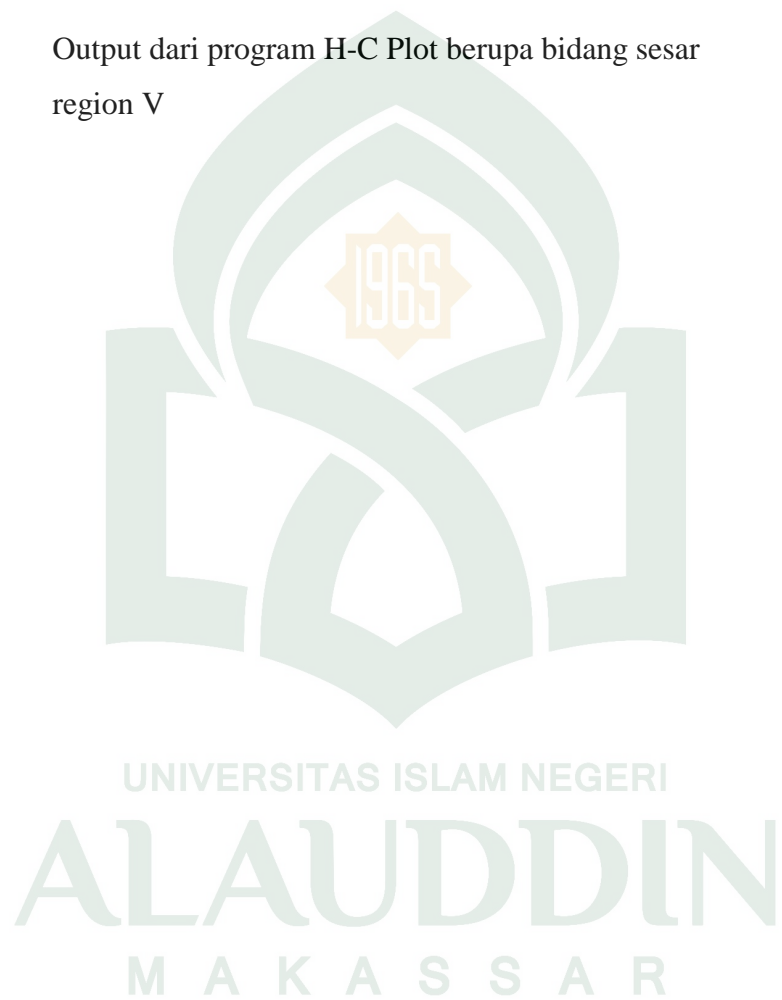
2.6 Teori Elastik Rebound	22
2.7 Penentuan Bola Fokus	23
2.8 Metode Hiposenter dan Centroid (H-C)	26
BAB III METODE PENELITIAN	27
3.1 Waktu dan Lokasi Penelitian	27
3.2 Alat dan Bahan	27
3.3 Prosedur Kerja	27
3.4 Bagan Alir Penelitian	31
BAB IV HASIL DAN PEMBAHASAN.....	32
4.1 Frekuensi Gempa Sulawesi Selatan periode 2008-2017	32
4.2 Seismisitas Gempabumi Sulawesi Selatan Periode 2008-2017	33
4.3 Identifikasi Jenis Sesar Di Wilayah Sulawesi Selatan Periode 2008-2017	34
4.4 Sebaran Jenis Sesar Di Wilayah Sulawesi Selatan periode 2008-2017	37
4.5 Identifikasi Arah Sesar Berdasarkan Metode HC-plot	46
BAB V PENUTUP.....	57
5.1 Kesimpulan.....	57
5.2 Saran.....	57
DAFTAR PUSTAKA	58
RIWAYAT HIDUP	60
LAMPIRAN-LAMPIRAN	L.1

DAFTAR GAMBAR

No. Gambar	Keterangan Gambar	Halaman
2.1	Peta tektonik Sulawesi	9
2.1	Wilayah Sulawesi Selatan	11
2.3	(a) Gelombang Primer (b) Gelombang Sekunder	12
2.4	Gelombang love dan gelombang Reyleigh	13
2.5	Sesar normal atau sesar turun (Normal fault)	17
2.6	Sesar mendatar (Strike slip fault)	18
2.7	Sesar naik (Reverse fault)	19
2.8	Orientasi bidang sesar	20
2.9	Mekanisme pelepasan gempa	22
2.10	Bentuk bola fokus dan jenis sesarnya	25
2.11	Penentuan bola fokus	25
3.1	Plot data Excel ke dalam software ArcGIS 10.3	28
3.2	Proses <i>picking</i> data gelombang pada <i>software</i> Seisgram2K	29
3.3	Plot data ke dalam Matlab R2017a	30
3.4	Bagan alir penelitian	31

4.1	Peta seismisitas gempabumi Sulawesi Selatan periode 2008-2017	33
4.2	Salah satu hasil picking gelombang P pada stasiun BNSI dengan menggunakan software Seisgram2K	34
4.3	Salah satu hasil pengolahan dari software AZMTAK	37
4.4	Peta bola fokal mekanisme fokus gempabumi Sulawesi Selatan periode 2008-2017	38
4.5	Sebaran jenis sesar pada region I	39
4.6	Sebaran jenis sesar pada region II	41
4.7	Sebaran jenis sesar pada region III	42
4.8	Sebaran jenis sesar pada region IV	44
4.9	Sebaran jenis sesar pada region V	45
4.10	Input data dalam program H-C Plot region I	47
4.11	Output dari program H-C Plot berupa bidang sesar region I	48
4.12	Input data dalam program H-C Plot region II	49
4.13	Output dari program H-C Plot berupa bidang sesar region II	49
4.14	Input data dalam program H-C Plot region III	50
4.15	Output dari program H-C Plot berupa bidang sesar region III	51

4.16	Input data dalam program H-C Plot region IV	52
4.17	Output dari program H-C Plot berupa bidang sesar region IV	52
4.18	Input data dalam program H-C Plot region V	53
4.19	Output dari program H-C Plot berupa bidang sesar region V	54



DAFTAR TABEL

No. Tabel	Keterangan Tabel	Halaman
2.1	Perbandingan skala richter dan mercalli	15
4.1	Data frekuensi gempa periode 2008-2017	32
4.2	Salah satu output dari <i>software</i> Seisgram2K	35
4.3	Format salah satu data gempabumi sebagai input dari <i>Software</i> AZMTAK	36
4.4	Pola sesar penyebab gempa di region I	40
4.5	Pola sesar penyebab gempa di region II	41
4.6	Pola sesar penyebab gempa di region III	43
4.7	Pola sesar penyebab gempa di region IV	44
4.8	Pola sesar penyebab gempa di region V	46
4.9	Jenis dan arah sesar	55

DAFTAR LAMPIRAN

No.	Keterangan Lampiran	Halaman
1	Data gempa sulawesi bagian selatan periode 2008-2017 pada koordinat $-3^{\circ}-6^{\circ}30'$ LS – $119^{\circ}-120^{\circ}$ BT	L.1
2	Stasiun pencatat gempa pada koordinat $-1,29^{\circ}-7,21^{\circ}$ LS – $116,82^{\circ}-126,6^{\circ}$ BT	L.2
3	Data gempa magnitudo 3-5 SR pada periode 2008-2017	L.3
4	Data hiposenter dari stasiun seismik usgs, iris, dan geofon	L.4
5	Analisis data dengan arcgis untuk pembuatan peta seismisitas	L.5
6	Analisis data dengan seisgram2k dan azmtak untuk data <i>centroid</i> dan jenis sesar	L.6
7	Analisis data dengan matlab r2017a untuk arah dan bidang sesar aktif berdasarkan metode h-c	L.7
8	Hasil <i>picking</i> gelombang p menggunakan <i>software</i> seisgram2k	L.8
9	Hasil pengolahan dari <i>software</i> azmtak	L.9
10	Syntax dari program hcplot pada matlab r2017a	L.10

ABSTRAK

Nama : LORNA
Nim : 60400114041
Judul : **Identifikasi Jenis Dan Arah Sesar Aktif di Wilayah Sulawesi Selatan Menggunakan Metode Hiposenter dan Centroid (H-C)**

Penelitian ini bertujuan untuk mengidentifikasi jenis dan arah sesar aktif di wilayah Sulawesi Selatan dengan menggunakan metode Hiposenter dan *Centroid* (H-C). Data yang digunakan adalah data sekunder berupa data hiposenter yang diperoleh dari *website* USGS, IRIS, GEOFON dan data *centroid* yang diperoleh dari BMKG yang diolah menggunakan metode mekanisme fokus dengan batas koordinat $-3^{\circ} - 6^{\circ} 30' \text{LS} - 119^{\circ} - 120^{\circ} \text{BT}$. Berdasarkan hasil penelitian dengan metode H-C diperoleh jenis dan arah sesar aktif pada region I dengan jenis sesar turun (*normal fault*) berarah N6E/32 Selatan-Utara, region II dengan jenis sesar geser (*strike slip*) berarah N358E/83 Utara-Selatan, region III dengan jenis sesar oblique (*oblique fault*) berarah N74E/16 Barat Daya-Timur Laut, region IV dengan jenis sesar turun (*normal fault*) berarah N109E/56 Barat Laut- Tenggara dan pada region V dengan jenis sesar geser (*strike slip*) berarah N332E/50 Tenggara-Barat Laut.

Kata Kunci: Metode H-C, Hiposenter, *Centroid*, Mekanisme Focus, Sesar Walanae

ABSTRACT

Name : LORNA
Nim : 60400114041
Title : Identification Of The Type And Direction Fault Active In South Sulawesi Region Hypocenter and Method Using Centroid (HC)

This study aims to identify the direction and type of active faults in the region of South Sulawesi by using the hypocenter and Centroid (HC). The data used is secondary data obtained from the hypocenter USGS, IRIS, GEOFON website and the data obtained from BMKG centroid that is processed using the focus mechanism to coordinate limit $-3^{\circ} - 6^{\circ} 30'$ LS - $119^{\circ} - 120^{\circ}$ BT. According to the research by the method of HC obtained by the type and direction of the active faults in the region I with the type of normal fault directed N6E/32 south-north, region II with the type of strike-slip fault directed N358E/83 north-south, Region III with the type of oblique fault directed N74E/16 southwest-northeast, Region IV with the type of normal fault directed N109E/56 northwest-southeast and in the region of V with the type of strike-slip fault directed N332E/50 southeast-northwest.

Keywords: Centroid, Focus Mechanism, HC methods, the hypocenter, Walanae Fault.

BAB I

PENDAHULUAN

1.1 Latar belakang

Indonesia merupakan daerah dengan manifestasi tektonik yang ditimbulkan berupa sesar dan gunung api teraktif di Dunia (Kaharuddin, 2011) karena terletak pada pertemuan antara tiga lempeng yang aktif bergerak (*triple junction*) yaitu Lempeng Pasifik yang bergerak relatif ke arah Barat dengan kecepatan 12 cm per tahun. Lempeng Indo-Australia yang bergerak relatif ke arah Utara dengan kecepatan 7 cm per tahun dan menyusup ke dalam Lempeng Eurasia yang relatif diam sehingga menyebabkan Pulau Sulawesi memiliki kondisi geologi yang kompleks dan rumit. Pergerakan dari lempeng-lempeng yang berbeda jenis tersebut menciptakan jalur penunjaman dan jalur subduksi yang terus aktif hingga sekarang sehingga pergerakan dari lempeng tersebut merupakan generator utama aktivitas gempa bumi yang menimbulkan terjadinya sesar atau sesar regional dan lokal daerah.

Struktur geologi di Sulawesi didominasi oleh sesar mendatar sinistral dan sesar naik dengan arah barat laut – tenggara (Hamilton, 1979). Sesar-sesar aktif yang berada di Sulawesi yaitu sesar Gorontalo, sesar Palu-Koro (dari Flores, Palu hingga Selat Makassar), sesar Matano, sesar Lawanopo (Sulawesi Tenggara) dan Sesar Walanae (Sulawesi Selatan). Keberadaan sesar-sesar aktif ini menyebabkan Sulawesi rawan terhadap bencana terutama masalah gempa dan tsunami. Menurut Atika Kurniati (2017) dalam penelitiannya gempa bumi yang terjadi di Sulawesi Selatan merupakan jenis gempa dangkal, gempa menengah, dan gempa dalam

yang terjadi di darat dan di laut. Secara regional, pulau Sulawesi mendapat tekanan dari luar sehingga terjadi deformasi secara terus menerus, seperti tekanan dari Laut Flores di bagian selatan mengaktifkan sesar Palu-Koro dan Walanae. Menurut Kaharuddin (2011) berdasarkan pengembangan tektonik, Sesar Walanae, Palu-koro, Matano termasuk sesar *transcurrent* yang bersifat sinitral dan sesar gorontalo yang bersifat destrual. Hal ini mengakibatkan seringnya terjadi gempa bumi tektonik di daerah yang saling berlawanan sehingga menimbulkan retakan yang terjadi di kulit bumi. Berdasarkan penelitian Madlazim (2017) gerakan batuan ini bisa begitu cepat sehingga perlu dilakukan identifikasi arah pergerakan bidang sesar dengan kekuatan di atas 3 SR dengan menggunakan metode H-C untuk mengetahui jenis sesar yang menyebabkan gempa bumi. Metode H-C lebih unggul dari metode sebelumnya yaitu metode inversi karena tidak memerlukan banyak stasiun seismik. Penentuan jenis dan arah sesar ini dapat memberikan informasi kepada masyarakat yang berada di wilayah sesar tersebut sebagai bahan pertimbangan dalam melakukan pembangunan. Untuk menentukan jenis dan arah sesar yang menyebabkan gempa bumi parameter yang digunakan yaitu hiposenter, *centroid* dari kejadian gempa bumi. Hiposenter kejadian gempa bumi ini bersumber dari jaringan seismik BMKG, IRIS, USGS dan GEOFON. Dimana jarak hiposenter terhadap salah satu bidang nodal dari dua bidang yang paling mendekati 0 km merupakan bidang sesar teraktifkan. Berdasarkan latar belakang tersebut, penulis akan melakukan penelitian dengan judul “Identifikasi Jenis dan Arah Sesar Aktif di Wilayah Sulawesi Selatan Menggunakan Metode Hiposenter dan *Centroid* (H-C)”.

1.2 Rumusan Masalah

Rumusan masalah pada penelitian ini adalah bagaimana mengidentifikasi jenis dan arah sesar aktif di wilayah Sulawesi Selatan menggunakan metode Hiposenter dan *Centroid* (H-C)?

1.3 Tujuan Penelitian

Tujuan pada penelitian ini adalah untuk mengetahui jenis dan arah sesar aktif di wilayah Sulawesi Selatan menggunakan metode Hiposenter dan *Centroid* (H-C).

1.4 Ruang Lingkup

Ruang lingkup penelitian ini adalah

1. Objek penelitian berada di wilayah Sulawesi Selatan.
2. Data yang digunakan adalah data *event* gempa periode 2008-2017 yaitu data koordinat, kedalaman dan magnitudo diperoleh dari data BMKG (repogempa.bmkg.go.id) serta data hiposenter yang diperoleh dari USGS (<http://www.usgs.gov/>), IRIS (<http://ds.iris.edu/wilber3/findevent>) dan GEOFON (<http://202.90.198.100/webdc3/>) berupa *longitude*, *latitude* dan *depth*.
3. Data magnitudo yang digunakan adalah ≥ 3 SR.
4. Data yang digunakan pada penelitian ini berada di wilayah Sesar Walanae pada koordinat $3^{\circ} - 6^{\circ} 30' \text{ LS}$ dan $119^{\circ} - 120^{\circ} \text{ BT}$.
5. Pengolahan data dilakukan dengan menggunakan *software* ArcGIS 10.3, untuk pemetaan sebaran gempa sementara Seisgram2K dan AZMTAK untuk pola sesar dengan orientasi sesar berupa *Stike*, *Dip*, dan *Rake*.

6. Data koordinat, *depth*, magnitudo dan jumlah gempa diolah pada *Software* ArcGIS 10.3 dan Seisgram2K.
7. Data koordinat waktu dan lokasi kejadian, kedalaman, magnitudo, jumlah yang digunakan, waktu bacaan gelombang P dan koordinat lokasi setiap stasiun pencatat gempabumi diolah dalam *software* AZMTAK.
8. Data hiposenter diolah di Matlab R2017a untuk mengetahui bidang sesar aktif.
9. Data pada Notepad digunakan pada *software* Seisgram2K dan AZMTAK.

1.5 Manfaat Penelitian

Manfaat pada penelitian ini adalah:

a. Masyarakat

Memberikan informasi mengenai jenis dan arah sesar aktif di wilayah Sesar Walanae yang menyebabkan gempa di Sulawesi Selatan serta meningkatkan kewaspadaan dalam menanggapi bencana gempabumi yang tiba-tiba dapat terjadi.

b. Mahasiswa

Menambah informasi mengenai jenis dan arah bidang sesar aktif dan dapat dijadikan referensi untuk penelitian selanjutnya.

c. Pemerintah

Memberikan informasi data sebagai bahan pengembangan wilayah dan penataan ruang terkait keberadaan Sesar Walanae yang relatif aktif.

BAB II TINJAUAN TEORITIS

2.1 Keterkaitan ayat Al-Quran dengan penelitian

Bumi dalam perspektif Al-Quran telah banyak dijelaskan mulai dari proses terbentuknya, kejadian gempa bumi hingga proses hancurnya bumi yang tersirat pada firman Allah SWT. Bumi yang awalnya bersatu dengan langit kemudian Allah pisahkan sebagaimana yang termasuk dalam firman Allah dalam QS al-Anbiya'/21:30

أَوَلَمْ يَرِ الَّذِينَ كَفَرُوا أَنَّ السَّمَوَاتِ وَالْأَرْضَ كَانَتَا رَتْقًا فَفَتَقْنَاهُمَا ۗ وَجَعَلْنَا مِنَ الْمَاءِ كُلَّ شَيْءٍ حَيٍّ أَفَلَا يُؤْمِنُونَ ﴿٣٠﴾

Terjemahnya:

“Dan apakah orang-orang yang kafir tidak mengetahui bahwa langit dan bumi keduanya dahulu adalah suatu yang padu, Kemudian kami pisahkan antara keduanya. Dan dari air kami jadikan segala sesuatu yang hidup. Maka mengapakah mereka tiada beriman?” (Kementerian Agama RI, 2014).

Berdasarkan ayat tersebut menurut tafsir Al-Misbah (2002) mengatakan bahwa kata *raqtan* dari segi bahasa berarti terpadu sedangkan kata *fataqnahuma* terambil dari kata *fataqa* yang berarti terbelah atau terpisah. Ada yang memahaminya dalam arti langit dan bumi tadinya merupakan satu gumpalan yang terpadu. Hujan tidak turun dan bumi pun tidak ditumbuhi pepohonan kemudian Allah membelah langit dan bumi dengan jalan menurunkan hujan dari langit dan menumbuhkan tumbuh-tumbuhan di bumi. Ada juga yang mengatakan bahwa langit dan bumi tadinya merupakan suatu yang utuh tidak terpisah, kemudian Allah pisahkan dengan mengangkat langit ke atas dan membiarkan bumi tetap di tempatnya berada dibawah lalu memisahkan keduanya dengan udara.

Dalam tafsir al-Muntakhab sebagaimana yang dikutip oleh M. Quraish Shihab dikemukakan berkaitan tentang terciptanya tata surya. Disebutkan bahwa kabut disekitar matahari menyebar dan melebar pada ruangan yang dingin. Butir-butir gas yang membentuk kabut bertambah tebal pada atom-atom debu yang bergerak amat cepat. Atom-atom itu kemudian mengumpul, akibat terjadinya benturan dan akumulasi, dengan membawa kandungan yang sangat berat. Seiring dengan berjalannya waktu, akumulasi itu semakin bertambah besar hingga membentuk planet-planet, bulan dan bumi dengan jarak yang sesuai. Penumpukan itu mengakibatkan bertambah kuatnya tekanan yang pada gilirannya membuat temperatur bertambah tinggi. Dan pada saat kulit bumi meengkristal karena dingin dan melalui proses sejumlah letusan lava yang terjadi setelah itu, bumi memperoleh sejumlah besar uap air dan karbon dioksida akibat surplus larva yang mengalir. Di kemukakan juga bahwa bumi dan langit pada dasarnya bergabung secara koheren sehingga tampak seolah satu massa. Hal ini sesuai dengan penentuan mutakhir mengenai teori terjadinya alam raya. Menurut penemuan itu, sebelum terbentuk seperti sekarang ini, kumpulan sejumlah besar kekuatan atom-atom yang saling berkaitan dan di bawah tekanan sangat kuat yang hampir tidak dapat di bayangkan oleh akal. Semua benda langit sekarang beserta kandungan-kandungannya, termasuk tata surya dan bumi, sebelumnya terakumulasi sangat kuat dalam bentuk bola yang jari-jarinya tidak lebih dari 3.000.000 mil. *Fafataqnahuma* merupakan isyarat tentang apa yang terjadi pada cairan atom pertamanya berupa ledakan dahsyatnya mengakibatkan tersebarnya benda-benda alam raya ke seluruh penjuru, yang berakhir dengan terciptanya berbagai benda

langit yang terpisah, termasuk tata surya dan bumi. *Wa ja'alna min al-ma'I kulli syai'in hayyin*, kami jadikan dari air segala sesuatu hidup. Segala yang hidup membutuhkan air atau pemeliharaan kehidupan segala sesuatu adalah dengan air.

Akibat Bergeraknya magma dari dalam bumi yang menyebabkan pergerakan lempeng dan dapat menimbulkan terjadinya gempa bumi dan letusan gunung api seperti yang dijelaskan dalam firman Allah Dalam QS Al-Zalzalah/99:1-2

إِذَا زُلْزِلَتِ الْأَرْضُ زِلْزَالَهَا ۖ وَأَخْرَجَتِ الْأَرْضُ أَثْقَالَهَا ۖ

Terjemahnya:

“Apabila bumi digoncangkan dengan guncangan (yang dahsyat). Dan bumi telah mengeluarkan beban-beban berat (yang dikandungnya)” (Kementerian Agama RI, 2014).

Berdasarkan ayat tersebut menurut tafsir Ibnu Katsir (2004) mengatakan bahwa “Apabila bumi digoncangkan dengan guncangan (yang dahsyat)” yakni bergerak dari bawahnya, “Dan bumi telah mengeluarkan beban-beban berat (yang dikandungnya)” yakni bumi akan melemparkan isi perutnya.

Gempabumi dapat menyebabkan kerusakan Dan dijelaskan pula dalam firman Allah dalam QS Al-A'Raaf/7:78

فَأَخَذَتْهُمُ الرَّجْفَةُ فَأَصْبَحُوا فِي دَارِهِمْ جِثْمِينَ ۖ

Terjemahnya:

“Lalu datanglah gempa menimpa mereka, dan mereka pun mati bergelimpangan di dalam reruntuhan rumah mereka” (Kementerian Agama RI, 2014).

Menurut tafsir Al-Misbah (2002) dari ayat tersebut menjelaskan bahwa kata *ar-rajjah* dari segi bahasa berarti guncangan yang sangat besar. Dalam QS Fusilat ayat 17 siksaan tersebut dilukiskan *sha'iqah*/petir yang datang dari langit. Petir

dapat menimbulkan suara keras dan menggoncangkan bukan hanya hati yang mendengarnya tetapi juga bangunan bahkan bumi yang mengakibatkan terjadinya gempa. Goncangan disertai dengan rasa takut, sesuai dengan sikap mereka yang angkuh dan menampakkan keberanian demikian juga ketidakmampuan bergerak yang menggambarkan pelecehan terhadap ayat Allah SWT.

Kejadian gempabumi yang merusak juga dijelaskan pada firman Allah dalam QS Al-Ankabut/29:37

فَكَذَّبُوهُ فَأَخَذَتْهُمُ الرَّجْفَةُ فَأَصْبَحُوا فِي دَارِهِمْ جِثْمِينَ ﴿٣٧﴾

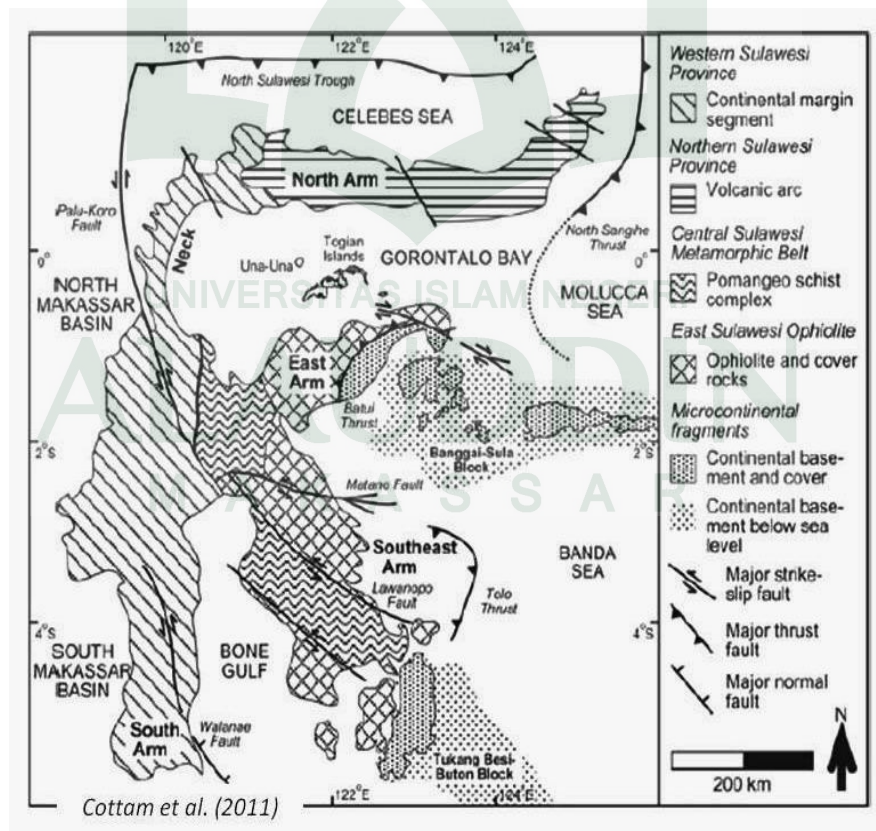
Terjemahnya:

“Mereka mendustakan (Syu’aib), maka mereka ditimpa gempa yang dahsyat, lalu jadilah mereka mayat-mayat yang bergelimpangan di tempat-tempat tinggal mereka” (Kementerian Agama RI, 2014).

Berdasarkan tafsir Al-Azhar (1975) terjadi gempabumi yang amat dahsyat, bergoncanglah bumi tempat mereka diam. Mungkin karena tanah longsor di balik kulit bumi, atau tanah bergeser dari tempatnya, atau gunung berapi meletus dan jadilah mereka mayat-mayat yang bergelimpangan. Sedangkan menurut tafsir Al-Misbah (2002) kata *ar-raifah* dari segi bahasa artinya goncangan yang sangat besar. Goncangan yang keras menimbulkan suara yang keras dan menggoncangkan bukan hanya hati yang mendengar tetapi bangunan juga bahkan bumi sehingga mengakibatkan terjadinya gempabumi. Kata *jatsimin* bermakna tertelungkup dengan dadanya sambil melengkungkan betis. Ini adalah gambaran dari ketiadaan gerak dari anggota tubuh atau menggambarkan kematian. Sebagaimana ‘Asy-Sya’rawi memahami kata tersebut dalam arti keberadaan tanpa gerak sesuai keadaan masing-masing ketika datangnya siksaan itu.

2.2 Tektonik Sulawesi

Tektonik pulau Sulawesi terbentuk akibat dari peristiwa konvergen dan transform. Kerumitan tektonik digambarkan dengan istilah *suture* yang terjadi di Indonesia, termasuk di Pulau Sulawesi, dan teridentifikasi adanya lima *suture* di Indonesia, yaitu *suture* Sulawesi, Maluku, Sorong, Banda, dan Kalimantan. *Suture* Sulawesi terbentuk akibat proses tumbukan antara kontinen dan kontinen (Paparan Sunda dan Australia) yang merupakan daerah akresi yang sangat kompleks, tersusun oleh fragmen ofiolit, busur kepulauan dan kontinen. Pembentukan *suture* Sulawesi diperkirakan terjadi pada kala Oligosen akhir dan berlanjut hingga Miosen awal. Hingga saat ini diperkirakan deformasi tersebut masih berlangsung (Hall dan Wilson, 2000).

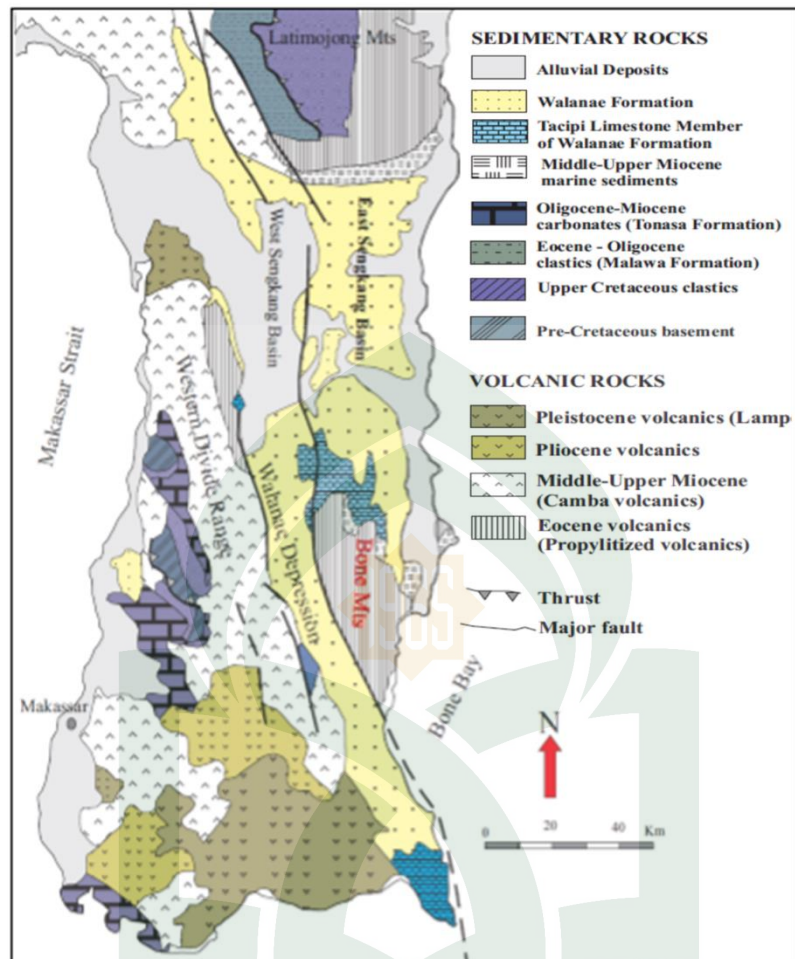


Gambar 2.1 Peta Tektonik Sulawesi (Sumber: Sompotan, 2012)

Tatanan geologi pulau Sulawesi yang berada di tengah tiga lempeng besar tersebut mempunyai keunikan tersendiri, mengingat bahwa kawasan ini merupakan pertemuan tiga lempeng besar yang saling mengalami tumbukan. Tumbukan lempeng tersebut menyebabkan terjadinya pergeseran unsur-unsur. Kondisi ini menjadikan pulau Sulawesi sebagai daerah tektonik aktif dengan tingkat seismisitas yang tinggi (Massinai dkk, 2013).

Interaksi ketiga lempeng memberikan pengaruh cukup besar terhadap kejadian bencana alam geologi di Sulawesi pada umumnya dalam wujud gempa bumi, tsunami, gerakan tanah, gunung api dan banjir yang senantiasa terjadi seiring dengan berlangsungnya aktivitas tektonik. Di kawasan Pulau Sulawesi terdapat beberapa daerah rawan terhadap bencana terutama masalah gempa dan tsunami, seperti daerah-daerah yang berada pada jalur Sesar Walanae, Palu Koro, Selat Makassar terutama bagian tengah dan utara, perpotongan antara sesar Kolaka dan Palu Koro, sesar Gorontalo, Batui, Matano dan sesar Kolaka. Daerah-daerah yang harus mendapat perhatian dan harus diwaspadai adalah daerah perpotongan atau persinggungan di antara sesar, karena di daerah ini gempa dapat bergenerasi dan berpotensi menimbulkan bencana geologi.

Tektonik Sulawesi Selatan merupakan hasil pemekaran lantai samudra yang membentuk cekungan dari daratan Sunda dan lempeng Australia-Nugini sehingga menciptakan ruang pengendapan di selat Makassar yang berasal dari Kalimantan. Pola tatanan tektonik Sulawesi Selatan tersusun dari struktur geologi Sesar Walanae (Surono dan Hartono).



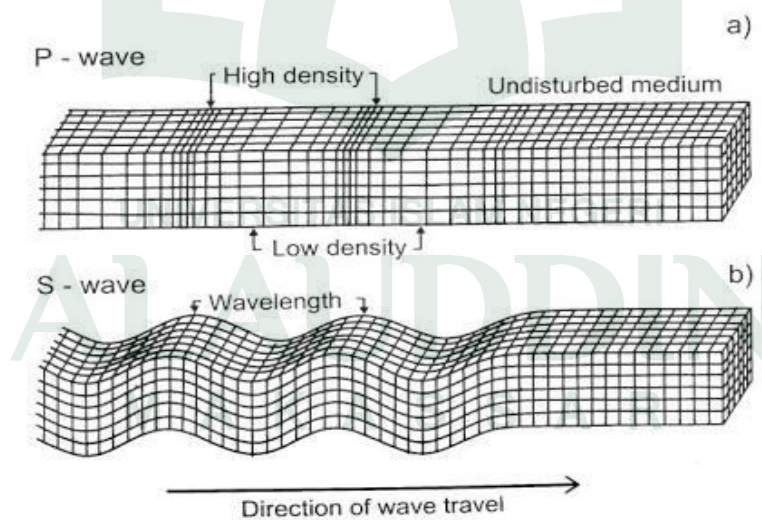
Gambar 2.2 Wilayah Sulawesi Selatan (Sumber:Amstrong, 2012)

2.3 Gempabumi

Gempabumi adalah getaran yang terjadi di permukaan bumi akibat pelepasan energi dari dalam secara tiba-tiba yang menciptakan gelombang seismik. Gempabumi biasa disebabkan oleh pergerakan kerak Bumi (lempeng Bumi). Akumulasi energi penyebab terjadinya gempa bumi dihasilkan dari pergerakan lempeng-lempeng tektonik. Energi yang dihasilkan dipancarkan ke segala arah berupa gelombang gempabumi sehingga efeknya dapat dirasakan sampai permukaan bumi (BMKG, 2015) ataupun melalui pencatat gempa, yaitu

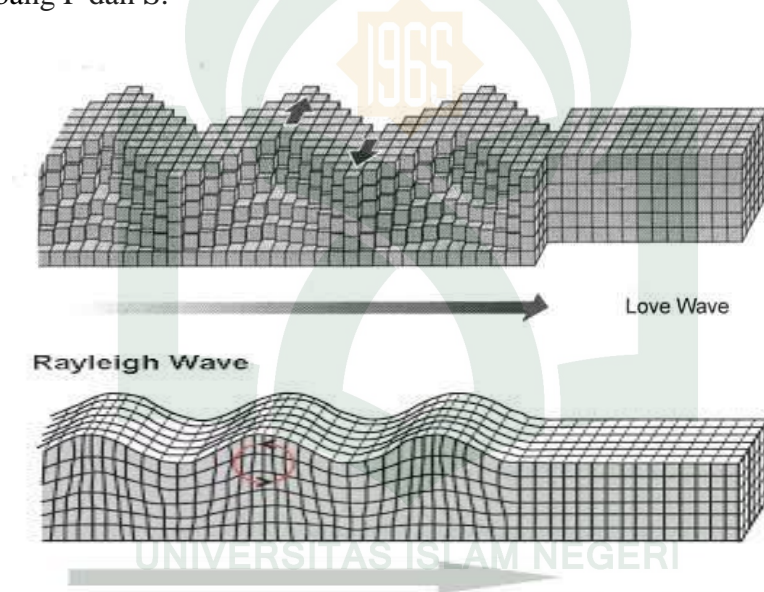
seismograf (Massinai, 2013). Tipe-tipe gelombang gempabumi dibagi menjadi 2 yaitu (Afnimar,2009) :

1. *Body Wave* (gelombang badan), gelombang yang merambat melalui medium, terdiri dari dua macam gelombang yaitu:
 - a. Gelombang primer (P), gerakan partikelnya searah dengan arah penjararannya. Gelombang ini disebut gelombang longitudinal atau gelombang Kompresional akibat dari partikel yang mengalami kompresi saat penjararannya. Gelombang P memiliki kecepatan terbesar dan muncul pertama kali di seismogram.
 - b. Gelombang sekunder (S), gerakan partikelnya tegak lurus dengan arah penjararannya sehingga disebut gelombang transversal. Gelombang S memiliki kecepatan lebih kecil daripada gelombang P dan muncul di seismogram setelah gelombang P.



Gambar 2.3 a) Gelombang primer (P) a) Gelombang sekunder (S) (Sumber: Berliana & Henni, 2013).

2. *Surface Wave* (gelombang permukaan), gelombang yang merambat sejajar dengan permukaan mediumnya yaitu:
- Gelombang *love* yaitu gelombang permukaan yang menjalar dalam bentuk gelombang transversal, yakni gelombang yang penjalarannya parallel dengan permukaan.
 - Gelombang *Rayleigh* (R) yaitu gelombang permukaan yang gerakan partikel mediumnya merupakan kombinasi gerakan partikel yang di sebabkan oleh gelombang P dan S.



Gambar 2.4 Gelombang *love* dan gelombang *reyleigh* (Sumber: Berliana & Henni, 2013).

Tempat terlepasnya energi yang akan menyebabkan gempa bumi berasal dari gerak sesar, maka fokus gempa tidak pada satu titik, melainkan satu daerah yang membentang beberapa kilometer. Fokus gempa terletak di permukaan, yang disebut juga episenter. Untuk mengidentifikasi pusat gempa umumnya dilakukan

dari hiposnter, titik di bawah permukaan bumi tegak lurus di atas fokus (Abdullah dkk, 2006).

gempabumi terjadi karena adanya gaya sehingga lempeng-lempeng yang berada dikerak bumi saling bergerak satu sama lain dan menghasilkan gelombang seismik baik yang merusak maupun tidak dan semua itu terjadi atas kehendak dari Allah SWT. Berdasarkan penyebabnya gempabumi terbagi menjadi:

- a. Gempa tektonik yaitu gempa yang disebabkan oleh pergeseran lapisan batuan pada daerah sesar.
- b. Gempa vulkanik yaitu gempa yang diakibatkan oleh aktivitas vulkanisme.
- c. Gempa guguran (gempa runtuhan) yaitu gempa yang disebabkan oleh runtuhnya bagian goa.
- d. Gempa tumbukan yaitu gempa yang disebabkan oleh meteor besar yang jatuh ke bumi.

Berdasarkan kedalaman Hiposenter gempabumi terbagi menjadi:

- a. Gempa Dangkal (*shallow*), dengan kedalaman kurang dari 70 km.
- b. Gempa menengah (*intermediate*), dengan kedalaman lebih besar dari 70 km dan kurang dari 300 km.
- c. Gempa dalam (*deep*), dengan kedalaman lebih dari 300 km.

Berdasarkan jarak episenternya gempabumi terbagi menjadi:

- a. Gempa lokal, yaitu episenternya kurang dari 10000 km.
- b. Gempa jauh, yaitu episenternya sekitar 10000 km.
- c. Gempa sangat jauh, yaitu episenternya lebih dari 10000 km.

Berdasarkan kekuatannya gempabumi terbagi menjadi:

- a. Gempa sangat besar $M \geq 8.0$
- b. Gempa besar $7.0 \leq M \leq 8.0$
- c. Gempa sedang $5.0 \leq M < 7.0$
- d. Gempa kecil $3.0 \leq 5.0$
- e. Gempa mikro $1.0 \leq 3.0$
- f. Gempa ultra mikro $M < 1.0$

Skala kekuatan gempabumi terdiri dari skala richer (SR) dan skala mercalli intensity (MMI). Skala richer digunakan untuk mengukur kekuatan gempa sedangkan skala mercalli digunakan untuk mengukur intensitas gempa (BMKG, 2017).

Tabel 2.1: Perbandingan Skala Richter dan Mercalli

Intensitas Mercalli	Observasi Mercalli	Perbandingan Richer
I	Tidak ada efek	1-2
II	Dirasakan oleh orang yang sensitive	2-3
III	Getaran serupa dengan lalu lintas alat berat	3-4
IV	dirasakan oleh orang berjalan	4
V	Orang yang tidur akan terbangun	4-5
VI	Pohon bergerak, beberapa kerusakan dari objek yang jatuh	5-6
VII	Retakan dinding bangunan	6
VII	Cerobong asap jatuh dan kerusakan bangunan	6-7
IX	Tanah retak, rumah mulai ambruk	7
X	Tanah terbelah, longsor dan gedung rusak	7-8
XI	Jembatan runtuh	8
XII	Kerusakan masal, tanah bergetar hebat	> 8

(Sumber: BMKG, 2017)

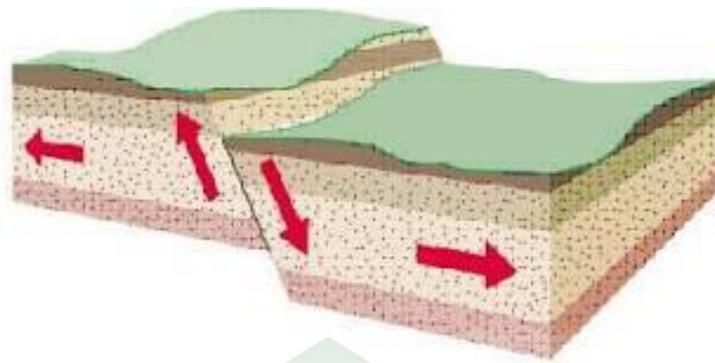
2.4 Sesar (Fault)

Sesar atau sesar adalah retakan yang terjadi dikerak bumi karena adanya pergerakan dua sisi daerah yang berlawanan. Kedua bagian yang mengalami retakan bergerak satu terhadap yang lainnya. Ukuran sesar bisa hanya beberapa millimeter hingga ribuan kilometer. Penyebab sesar adalah tenaga endogen yang bekerja lebih cepat, sehingga lapisan kerak bumi yang kaku tidak dapat membentuk lipatan melainkan beputus-putus membentuk sesar (Erviawan, 2011). Sesar pada struktur batuan dapat mengakibatkan perubahan maupun perkembangan topografi, mengubah aliran air dibawah dan diatas permukaan serta merusak stratigrafi batuan dan sebagainya (Elnashai Dkk,2008).

Sesar dapat dibagi kedalam beberapa jenis atau tipe tergantung pada arah arah relative pergeserannya. Selama sesar atau sesar dianggap sebagai suatu bidang datar, maka konsep *strike* dan *dip* juga dapat dipakai, dengan demikian *srike* dan *dip* dari suatu bidang sesar dapat diukur dan di tentukan (Noor, 2010).

2.4.1 Sesar Normal atau Sesar Turun (*Extetion Faulth*)

Sesar normal disebut juga sesar gravitasi. Sesar yang terjadi karena pergeseran blok batuan akibat pengaruh gaya gravitasi. Secara umum, sesar normal terjadi sebagai akibat dari hilangnya pengaruh gaya sehingga batuan menuju keposisi setimbang (isostasi). *Hanging wall* relative turun terhadap *foot wall*. Bidang sesar memiliki kemiringan yang besar (Anderson,1951).



Gambar 2.5 Sesar Normal atau Sesar Turun (*Extetion Faulth*)
(sumber: <https://agnasgeograph.wordpress.com/2012/04/20/struktur-geologi/>)

Sesar normal terbagi menjadi 4 bagian yaitu: (Noor, 2010)

2.4.1.1 *Dip Slip Faults*

Dip slip faults adalah sesar yang bidang sesarnya menyudut (*inclined*) dan pergeseran relatifnya berada disepanjang bidang patahannya atau *offset* terjadi disepanjang arah kemiringannya.

2.4.1.2 *Normal Faults*

Normal faults adalah sesar yang terjadi karena gaya tegasan tensional horizontal pada batuan yang bersifat retas dimana *hangingwall block* telah mengalami pergeseran relatif kearah bagian bawah terhadap *footwall block*.

2.4.1.3 *Horst dan Grabens*

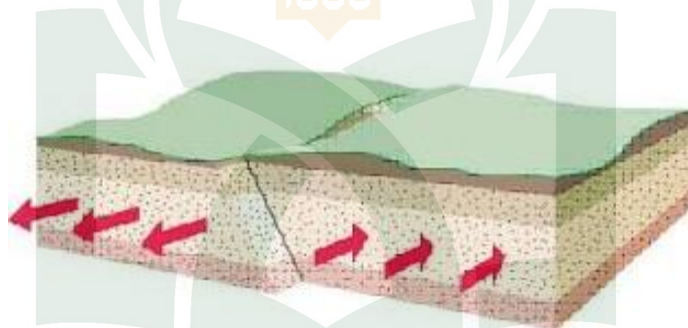
Horst dan gabens adalah sesar yang terjadi akibat dari tegasan tensional, sesar normal yang berpasangan pasangan dengan bidang sesar yang berlawanan. Bagian dari blok yang turun akan membentuk *graben* sedangkan pasangan dari blok-blok yang terangkat sebagai *horst*.

2.4.1.4 *Half-Grabens*

Half-Grabens adalah sesar normal yang bidang sesarnya berbentuk lengkungan dengan besar kemiringannya semakin berkurang kearah bagian bawah sehingga dapat menyebabkan blok yang turun mengalami rotasi.

2.4.2 Sesar Mendatar (*Stike Slip Fault*)

Sesar Mendatar (*Stike Slip Fault*) adalah sesar yang pembentukannya dipengaruhi oleh tegasan kompresi. Posisi tegasan utama pembentuk sesar adalah Horizontal, sama dengan tegasan minimumnya. Sedangkan posisi tegasan menengah adalah Vertikal (Anderson,1951)



Gambar 2.6 Sesar Mendatar (*Stike Slip Fault*)

(sumber: <https://agnasgeograph.wordpress.com/2012/04/20/struktur-geologi/>)

Sesar mendatar terbagi atas dua jenis sesar yaitu (Noor, 2010)

2.4.2.1 *Strike Slip Faults*

Strike slip faults adalah sesar yang pergerakannya relatif berarah horizontal mengikuti arah sesar. Sesar yang berasal dari tegasan geser yang bekerja dalam kerak bumi.

2.4.2.2 *Transform Faults*

Transform fault adalah jenis sesar *strike-slip fault* yang khas terjadi pada batas lempeng, dimana dua lempeng saling berpapasan satu dan lainnya secara

horizontal. Umumnya terjadi dipematang samudra yang mengalami pergeseran (*offset*), dimana sesar transform hanya terjadi diantara batas kedua pematang.

2.4.3 Sesar Naik (*Reverse Fault*)

Sesar Naik (*Reverse Fault*) adalah sesar yang *Hangingwall*nya relatif bergerak naik terhadap *footwall*nya yang dicirikan dengan kecilnya sudut kemiringannya (Anderson, 1951).



Gambar 2.7 Sesar Naik (*Reverse Fault*)

(sumber: <https://agnasgeograph.wordpress.com/2012/04/20/struktur-geologi/>)

Sesar naik terbagi menjadi dua jenis sesar yaitu (Noor, 2010)

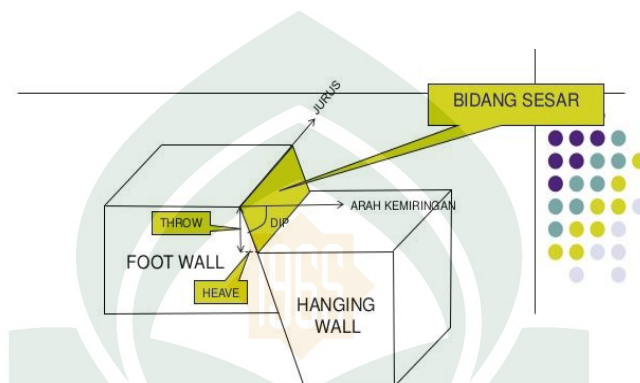
2.4.3.1 *Reverse Faults*

Reverse faults adalah sesar hasil dari gaya tegasan kompresional pada batuan yang bersifat retas, dimana *hangingwall block* berpindah relatif ke arah atas terhadap *footwall block*.

2.4.3.2 *A Thrust Fault*

A thrust fault adalah sesar *reverse fault* yang kemiringan bidang sesarnya lebih kecil dari 15° . Pergeseran dari sesar *thrust fault* dapat mencapai hingga ratusan kilometer sehingga memungkinkan batuan yang lebih tua dijumpai menutupi batuan yang lebih muda.

Orientasi sesar ditentukan dengan *strike* (jurus) dan *dip* (kemiringan). Kemudian salah satu dari *plunge* atau *rake* digunakan untuk menentukan arah *slip*. Sesar memiliki dua permukaan yaitu *hangingwall* dan *footwall*, dimana *slip* sebagai arah *hangingwall* relatif terhadap *footwall*. *Rake* adalah sudut antara *rike* dan *slip*.



Gambar 2.8 Orientasi bidang sesar

(sumber: <https://www.slideshare.net/mobile/army014/materi-kuliah-geologi-sruktur/>)

Untuk menentukan orientasi bidang sesar diperlukan adanya parameter berikut: (Okal, 2011)

1. *Strike* (Φ) merupakan sudut yang dibentuk antara jurus sesar dengan arah utara, diukur sebuah jarum jam ($0^\circ \leq \Phi \leq 360^\circ$).
2. *Dip* (δ) merupakan sudut yang dibentuk oleh bidang sesar dengan bidang horisotal diukur dari bidang permukaan horizontal ($0^\circ \leq \delta \leq 90^\circ$).
3. *Rake* merupakan sudut yang dibentuk oleh arah *strike* dengan arah *Slip*.
4. Pergerakan *relatif* (*Slip*) (λ) adalah prgeseran *relatif* pada sesar yang diukur dari satu blok keblok yang lain pada bidang sesar. *Slip* merupakan pergeseran titik yang sebelumnya berimpit. *Slip angle* (λ), dimana arah *slip* didasarkan pada

arah gerak *hangingwall*, ($-180^\circ \leq \lambda \leq 180^\circ$). Jika sesar berupa *trust fault* $\lambda > 0^\circ$, sedangkan jika sesar normal *fault* maka $\lambda < 0^\circ$.

2.5 Sesar Walanae

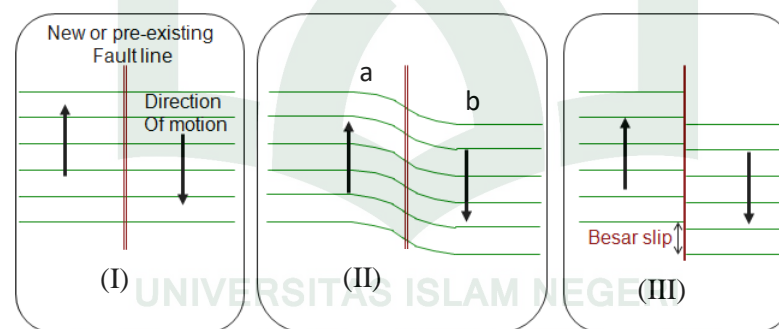
Sesar Walanae merupakan sesar sinitral berarah NW-SE, memotong lengan selatan Sulawesi terus berlanjut ke selat Makassar (Darman dan Sidi, 2000). Sesar Walanae yang berada dibagian selatan Sulawesi Selatan yang membentang disepanjang selat Makassar, Mamaju, Majene, Pinrang, Sidrap, Bone, Sinjai, Bulukumba dan berakhir di sebelah timur pulau Selayar. Sesar Walanae merupakan percabangan dari lanjutan sesar Palu-Koro yang melalui teluk Bone hingga sesar Paternoster diselat Makassar. Terdapat pula Sesar Parit-Parit pada Laut Makassar Selatan dan Laut Bone, dan beberapa anak sesar baik yang berada di darat maupun di laut (Amstrong, 2012).

Pulau Sulawesi mengalami pemekaran dari bagian timur Kalimantan pada masa tersier awal, dimana *rifting* dan pemekaran lantai samudera di Selat Makassar pada masa Paleogen, menciptakan ruang untuk pengendapan material klastik yang berasal dari Kalimantan. Pada dasarnya geologi daerah bagian timur dan barat Sulawesi Selatan itu berbeda dimana keduanya dipisahkan oleh Sesar Walanae (Armstrong, 2012). Di masa Mesozoikum, basement yang kompleks berada di dua daerah, yaitu di bagian barat Sulawesi Selatan dekat Bantimala dan di daerah Barru yang terdiri dari batuan metamorf, ultramafik dan sedimen. Adanya batuan metamorf yang sama dengan batuan metamorf di pulau Jawa, pegunungan Meratus di Kalimantan tenggara dan batuan di Sulawesi Tengah menunjukkan bahwa basement kompleks Sulawesi Selatan mungkin merupakan

pecahan fragmen akhibat akresi kompleks yang lebih besar di masa awal Cretaceous (Parkinson, 1991). Sesar Walanae merupakan imbas gerak dari sesar regional dan terasa pada sesar Saddang di Toraja dan sesar lokal di kabupaten Bone. Formasi Walanae berumur Miosen akhir-pliosen awal, yang terdiri dari batupasir, konglomerat, batu lanau, batu lempung, batu gamping, dan napal. Formasi Walanae menempati daerah yang sangat luas atau sekitar 80% (Amstrong, 2012).

2.6 Teori Elastik *Rebound*

Seorang seismolog asal Amerika Reid, mengemukakan suatu teori yang menjelaskan bagaimana umumnya gempa bumi terjadi. Teori ini dikenal dengan nama *Elastic Rebound Theory*.



Gambar 2.9 mekanisme pelepasan gempa (Sunarjo dkk, 2012).

Mekanisme sesar gempa bumi dapat dijelaskan bahwa pada keadaan I menunjukkan suatu lapisan yang belum terjadi perubahan bentuk geologi. Karena didalam bumi terjadi gerakan yang terus menerus, maka akan terdapat tekanan yang lama kelamaan akan terakumulasi dan mampu merubah bentuk geologi dari lapisan batuan. Kemudian pada keadaan II menunjukkan suatu lapisan batuan telah mendapat tekanan dimana telah terjadi perubahan bentuk geologi. Untuk daerah a mendapat tekanan ke atas, sedangkan daerah b mendapat tekanan

kebawah. Proses ini berjalan terus sampai tekanan yang terjadi hingga mengubah gesekan antara a dan antara b dan lama kelamaan batuan tersebut tidak mampu lagi menahan tekanan sehingga terjadi suatu pergerakan atau perpindahan yang tiba-tiba sehingga terjadilah sesar. Pada keadaan III menunjukkan lapisan batuan yang sudah patah akibat dari adanya pergerakan tiba-tiba yang disebabkan oleh gaya yang bekerja pada batuan dalam waktu lama dan secara terus menerus hingga menyebabkan pergeseran sehingga batuan mengalami sesar dibidang sesar dan akan stabil, namun sudah mengalami perubahan bentuk posisi. Pada saat batuan mengalami gerakan yang tiba-tiba akibat pergeseran batuan, energi tekanan yang tersimpan akan dilepaskan dalam bentuk getaran yang dikenal dengan gempa bumi (Sunarjo dkk., 2012).

2.7 Penentuan bola fokus

Penentuan bola fokus dari gempa bumi adalah penggambaran dari deformasi inelastis di kawasan sumber yang menghasilkan gelombang seismik yang digunakan untuk menguraikan proses pelepasan energi dari sumber gempa, dimana sesar (*faulting*) merupakan mekanisme yang sering digunakan untuk menjelaskan pelepasan energi dari sumber gempa. Suatu cara untuk memperoleh arah dari orientasi bidang sesar yang menyebabkan terjadinya gempa bumi disebut solusi bidang sesar (*fault plane solution*). Gelombang-gelombang badan (*body waves*) yang paling awal terekam di stasiun merupakan suatu aspek yang pertama kali menarik perhatian dalam penentuan bola fokus (Sunarjo dkk., 2012).

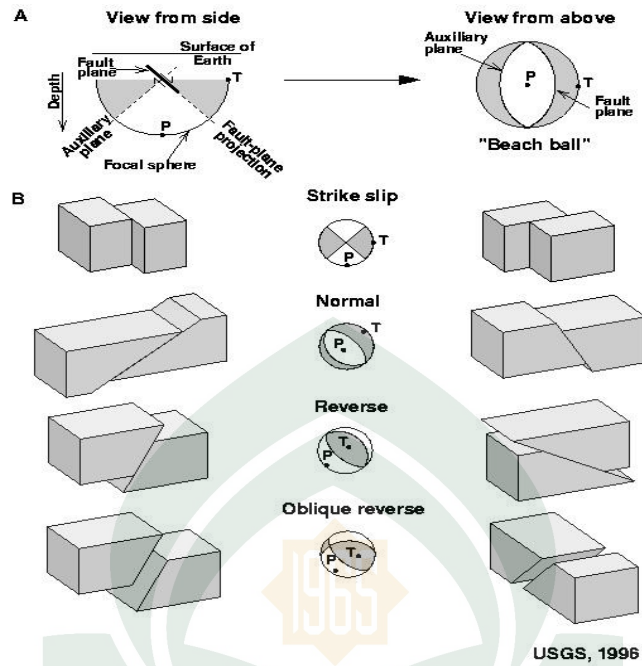
Bentuk gelombang seismik juga tergantung dari sumber gempa yang berupa sesar atau sesar. Informasi gelombang seismik yang tercatat didalam seismogram

berupa komponen BHZ, BHN dan BHE dari setiap stasiun gempa. Parameter gempabumi dari catatan seismogram yaitu satu komponen vertikal (Z) untuk menentukan gelombang P dan dua komponen horisontal north-south (N) dan east-west (E) untuk menentukan gelombang S. Dari data tersebut dapat diketahui karakteristik sesar dan sesarnya dengan menganalisis mekanisme pusat gempabumi yaitu penentuan orientasi bidang sesar yang antara lain meliputi penentuan harga *strike* dan *dip* (Sunarjo dkk., 2012).

Mekanisme sumber gempa merupakan metode peninjauan solusi bidang sesar. Salah satu studi mekanisme sumber gempa dengan gerak awal gelombang P bertujuan untuk menentukan bidang sesar gempa berdasarkan bidang nodal dari hasil pengamatan polaritas gelombang P yang dipancarkan oleh hiposenter. Ketika gempabumi terjadi maka gelombang gempabumi akan terpancarkan ke segala arah bentuk *phase* gelombang. *Phase* awal yang tercatat lebih dulu ialah gelombang P, karena memiliki kecepatan terbesar dari gelombang lainnya (Atika Kurniati, 2017).

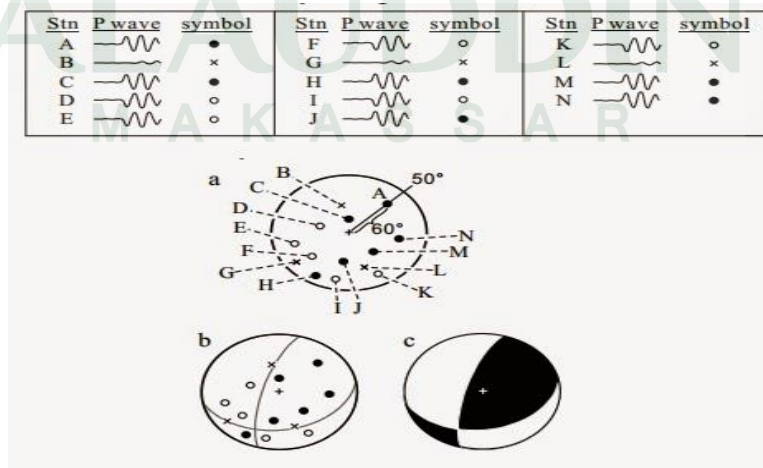
Menurut Afnimar (2009) sistematika gelombang P dapat diringkas sebagai berikut:

1. Getaran tanah yang menyebabkan gempa dipolarisasi sebagai getaran *repulsive/+* (kompresi/tekanan) dalam gerak *atraktif/-* (dilatasi/tarikan) pada hiposenter.
2. Distribusi yang sangat sistematis mengakibatkan ruang dikeliling episentris dapat dibagi menjadi empat kuadran oleh dua garis yang disebut garis nodal atau bidang nodal.



Gambar 2.10 Bentuk bola fokus dan jenis sesarnya (Sumber: Cronin, 2010)

Cara mengidentifikasi sifat asal gempa semacam ini disebut sebagai mekanisme focus gempa. Dengan teknik semacam ini setiap gempa yang terjadi dapat dianalisa terjadi dari sesar normal, sesar naik, maupun sesar mendatar. Masing-masing dengan arah jurus dan kemiringannya juga dapat ditentukan (santoso, 2002).



Gambar 2.11 Penentuan Bola Fokus (Cronin, 2010)

2.8 Metode Hiposenter dan *Centroid* (H-C)

Metode H-C yaitu metode yang digunakan untuk menentukan bidang sesar teraktif dengan cara menentukan letak hiposenter (H) dan *centroid* (C). Metode H-C lebih unggul dari metode sebelumnya yaitu metode inversi karena metode H-C tidak memerlukan banyak stasiun seismik. Membutuhkan banyak stasiun artinya dalam kejadian gempa bumi letak stasiun terhadap gempa bumi harus 360° sedangkan tidak semua gempa bumi memiliki stasiun 360° terhadap gempa bumi. Batas jarak dalam penentuan stasiun seismik adalah 1000 Km dari pusat gempa bumi. Stasiun disekitar gempa bumi tidak menjamin memberikan data hiposenter dan *centroid* yang akurat karena stasiun-stasiun tersebut belum tentu terletak pada sudut dan jarak yang dipersyaratkan yaitu 360° dan 100 Km terhadap gempa bumi. Metode H-C terbebas dari kedua syarat jarak dan posisi stasiun terhadap gempa bumi karena tidak membutuhkan stasiun seismik melainkan membutuhkan data hiposenter dan centroid yang diperoleh dari lembaga seismik. Hiposenter (H) adalah titik origin (titik awal) dari gelombang seismik yang datang pertama kali sedangkan *centroid* (C) adalah lokasi dimana moment gempa bumi dilepaskan dan mempresentasikan parameter-parameter gempa bumi menyeluruh. Pada prinsipnya hiposenter dan centroid berada di persimpangan antara nodal plane 1 dan nodal plane 2. Kemudian membandingkan jarak kedua sesar. Jika hiposenter terletak di salah satu dari dua bidang sesar maka bidang tersebut bidang sesar sesungguhnya dan apabila hiposenter tidak berada di salah satu bidang dua sesar, bidang sesar sesungguhnya adalah berada dekat dengan hiposenter tersebut mendekati 0 Km (Madlazin, 2017).

BAB III

METODE PENELITIAN

3.1 Waktu dan Lokasi penelitian

Waktu penelitian ini pada bulan Februari sampai Juni 2018 dan lokasi yang menjadi objek penelitian adalah wilayah Sulawesi Selatan pada koordinat 3° - 6° $30'$ LS dan 119° - 120° BT.

3.2 Alat dan Bahan

Alat dan bahan yang digunakan pada penelitian ini adalah

1. *Software* ; Notepad, ArGIS 10.3, Seisgram2K, AZMTAK, Matlab R2017a.
2. Data yang digunakan yaitu data *event* gempa berupa data *waveform*, waktu kejadian gempa, *longitude*, *latitude*, *depth*, magnitudo dan *centroid* pada periode 2008-2017.

3.3 Prosedur Kerja

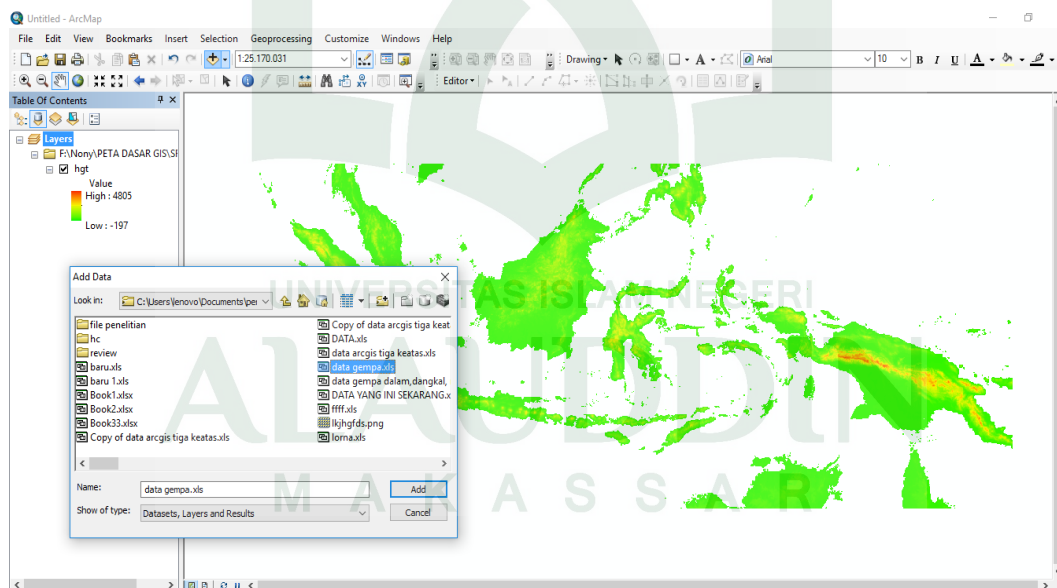
3.3.1 Pengambilan Data

Data yang digunakan adalah data *centroid* dari *event* gempa yang terjadi di Wilayah Sulawesi Selatan periode 2008-2017 (Lampiran L.1). Data ini berisi informasi koordinat gempa, magnitudo, kedalaman (*depth*) dan data *waveform*, dengan magnitudo ≥ 3 SR. Data tersebut diperoleh dari website BMKG (repogempa.bmkg.go.id) yang menyediakan data gempa lokal. Menggunakan data hiposenter (Lampiran L.4) yang diperoleh dari website USGS (www.earthquake.usgs.gov/earthquakes), dan dari website IRIS (<http://ds.iris.edu/wilber3/findevent>) serta data hiposenter dari website GEOFON (<http://202.90.198.100/webdc3/>) sebagai data pembanding.

3.3.2 Pengolahan Data

3.3.2.1 Membuat Peta Seismisitas Gempa

1. Menginput data *event* gempa (Lampiran L.5) berupa data koordinat, magnitudo, dan kedalaman ke dalam program Ms.Excel.
2. Membuat tabel frekuensi yang terdiri dari tabel periode terjadinya gempabumi dengan kriteria magnitudo ≥ 3 SR yang digunakan untuk melihat aktivitas gempa bumi yang terjadi setiap tahun pada wilayah Sulawesi Selatan.
3. Mengeplot data dari program Excel ke dalam *software* ARGIS 10.3 dengan membagi data berdasarkan kedalaman hiposenternya untuk mengetahui sebaran gempabumi di Wilayah Sulawesi Selatan periode 2008-2017.



Gambar 3.1 Plot data Excel ke dalam software ArcGIS 10.3

3.3.2.2 Menentukan Jenis Sesar dan data *Centroid*

1. Menginput data *waveform* (data dalam bentuk gelombang) ke dalam *software* Seisgram2K (Lampiran L.6).

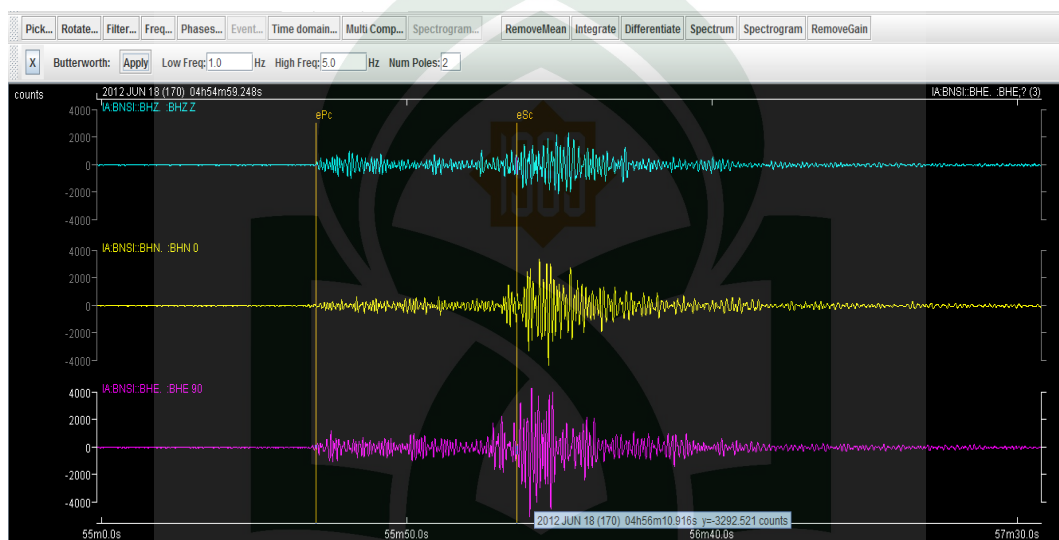
- Melakukan *picking* pada Data gelombang tersebut sehingga diperoleh data gelombang P dengan spesifikasi:

e : Gelombangnya jelas

i : Tidak jelas

c : Gelombang kompresi (gelombang naik)

d : Gelombang dilatasi (gelombang turun)



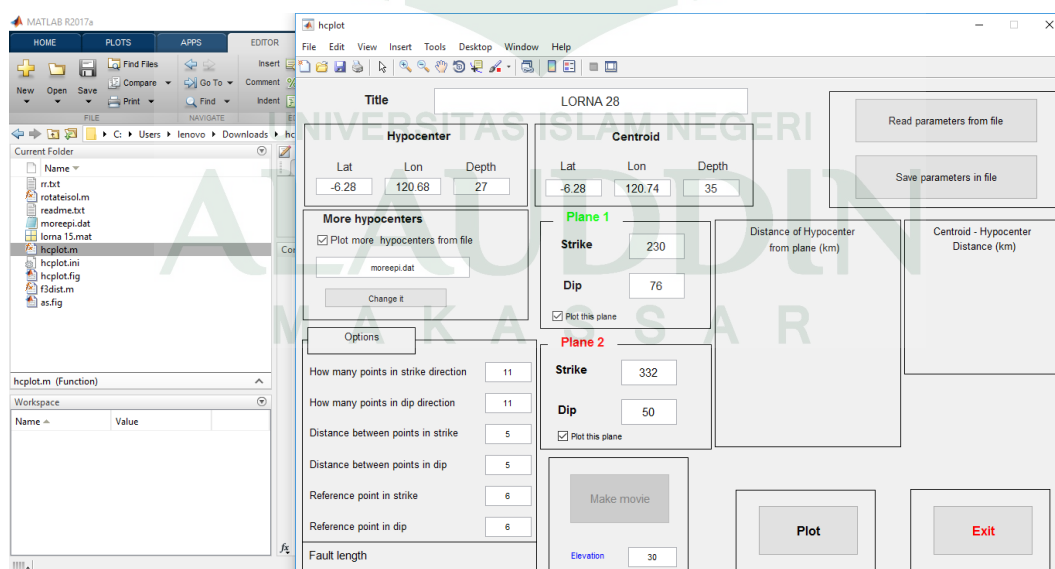
Gambar 3.2 Proses *picking* data gelombang pada *software* Seisgram2K

- Menginput data hasil *picking* gelombang P, gelombang turun/dilatasi (-) dan gelombang naik/kompresi (+) (output dari *software* Seisgram2K) dan data *latitude*, *longitude*, *depth*, jumlah stasiun pencatat gempa, dan kode stasiun kemudian dijadikan input dalam *software* AZMTAK dalam bentuk Notepad.
- Menginput data ke dalam program Notepad dengan data lain berupa data koordinat waktu dan lokasi kejadian, kedalaman, magnitude, jumlah yang digunakan, waktu bacaan gelombang P dan koordinat lokasi setiap stasiun pencatat gempa bumi.

5. Hasil yang menjadi output dari *software* AZMTAK berupa bola *focal* dan nilai *stike* (jurus sesar), *dip* (sudut kemiringan), dan *rake* (besar sudut pergeseran) untuk setiap titik gempa bumi atau data *Centroid*.
6. Menganalisis pola untuk mengetahui jenis sesar yang terbentuk berdasarkan literature yang ada.

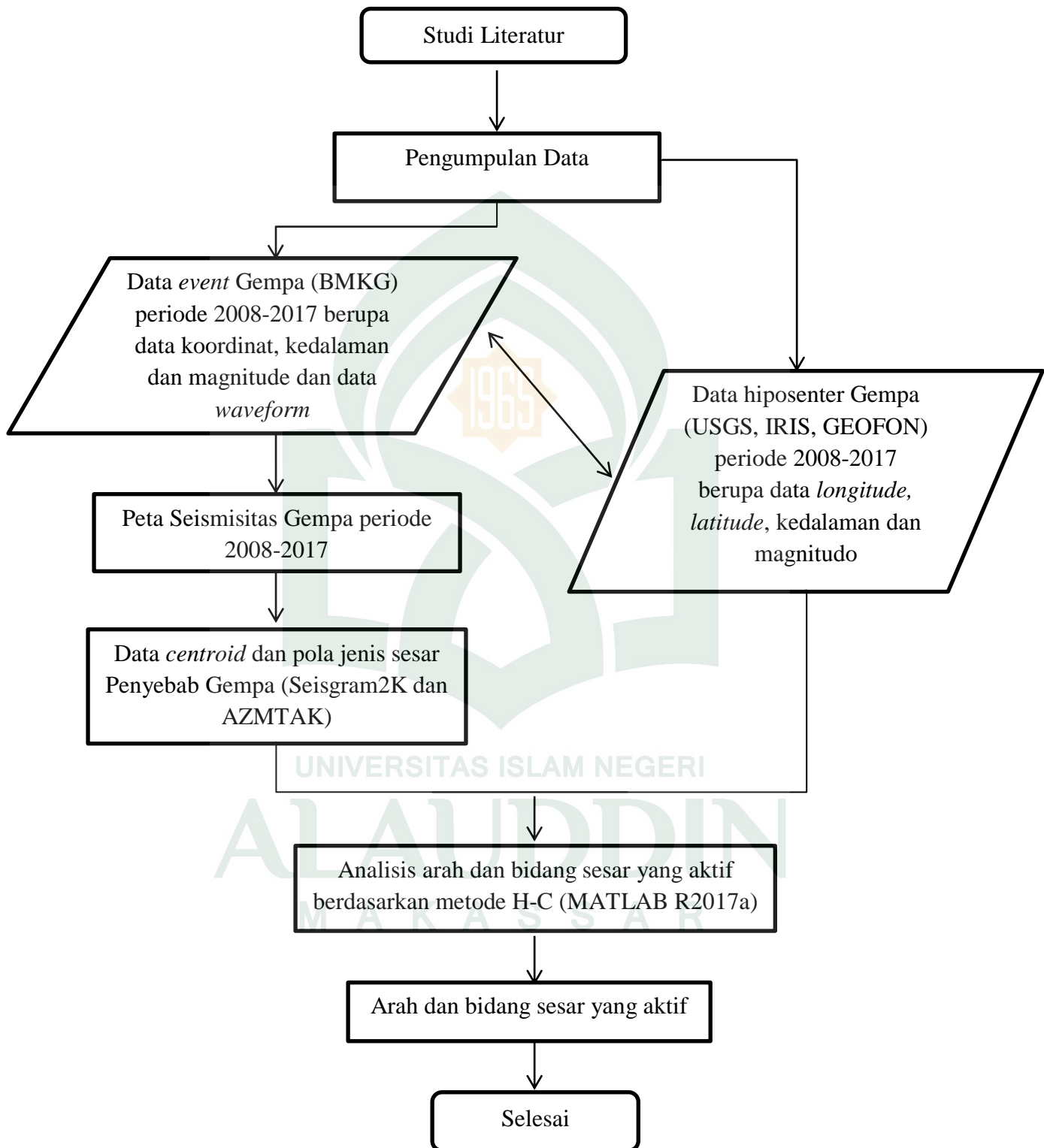
3.3.2.3 Menentukan Arah dan Sesar Aktif Berdasarkan Metode H-C

1. Data yang digunakan adalah data *centroid* (Lampiran L.3) berupa nilai *strike*, *dip* dan *rake*. Dan data hiposenter untuk setiap jaringan seismik yaitu GEOFON, IRIS dan USGS berupa data *longitude*, *latitude*, dan *depth* (Lampiran L.4).
2. Mengeplot data ke dalam Matlab R2017a untuk mengetahui sesar tersebut termaksud sesar yang aktif berdasarkan titik acuan berupa data hiposenter serta arah sesar tersebut.



Gambar 3.3 Plot data ke dalam Matlab R2017a.

3.4 Bagan Alir Penelitian



Gambar 3.1 Bagan Alir Penelitian

BAB IV HASIL DAN PEMBAHASAN

1.1 Frekuensi Gempa Sulawesi Selatan periode 2008-2017

Data *event* gempabumi Sulawesi Selatan periode 2008-2017 yang diperoleh dari BMKG memiliki informasi mengenai *longitude*, *latitude*, waktu kejadian, *depth*, dan magnitudo untuk setiap tahun dan dikelompokkan berdasarkan data dan grafik seperti berikut:

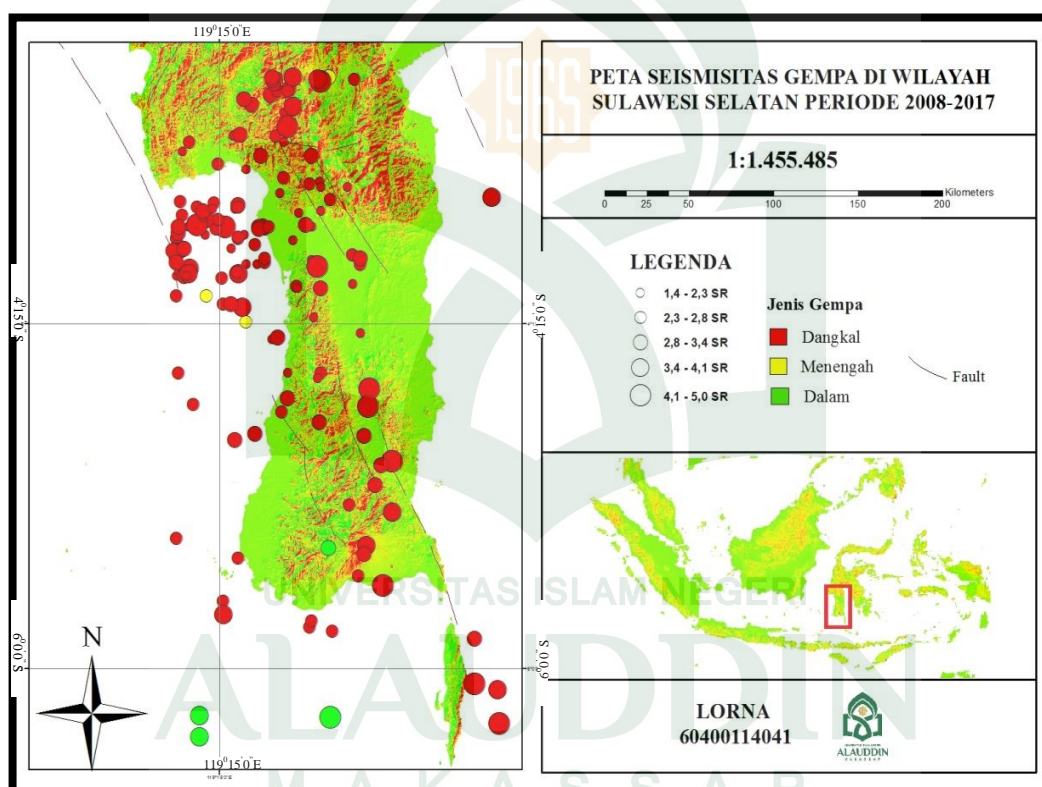
Tabel 4.1 Data frekuensi gempa periode 2008-2017

No.	Tahun	Jumlah kejadian gempa
1	2008	5
2	2009	11
3	2010	24
4	2011	12
5	2012	16
6	2013	23
7	2014	13
8	2015	26
9	2016	20
10	2017	12
Jumlah		162

Berdasarkan data tabel frekuensi gempabumi 2008-2017 pada wilayah Sulawesi Selatan, diketahui jumlah gempabumi yang terjadi sebanyak 162 kali kejadian. Dari tabel juga menjelaskan bahwa jumlah gempabumi dengan frekuensi tertinggi ada pada periode 2015 dengan 26 kejadian sementara jumlah gempabumi dengan frekuensi terendah ada pada periode 2008 dengan 5 kejadian gempa.

1.2 Seismisitas Gempabumi Sulawesi Selatan Periode 2008-2017

Data magnitudo dan kedalaman (*depth*) gempabumi untuk wilayah Sulawesi Bagian Selatan periode 2008-2017 dibatasi pada koordinat $3^{\circ} - 6^{\circ} 30' \text{LS}$ dan $119^{\circ} - 120^{\circ} \text{BT}$ diperoleh hasil plot data gempabumi berupa data harian gempabumi pada kurun waktu 10 tahun dengan menggunakan *software* ArcGis 10.3. Magnitudo yang digunakan pada peta seismisitas merupakan gempabumi dengan magnitudo 1-5 SR. Gempabumi yang sering terjadi tergolong gempabumi kecil.



Gambar 4.1 Peta seismisitas gempabumi Sulawesi Selatan periode 2008-2017

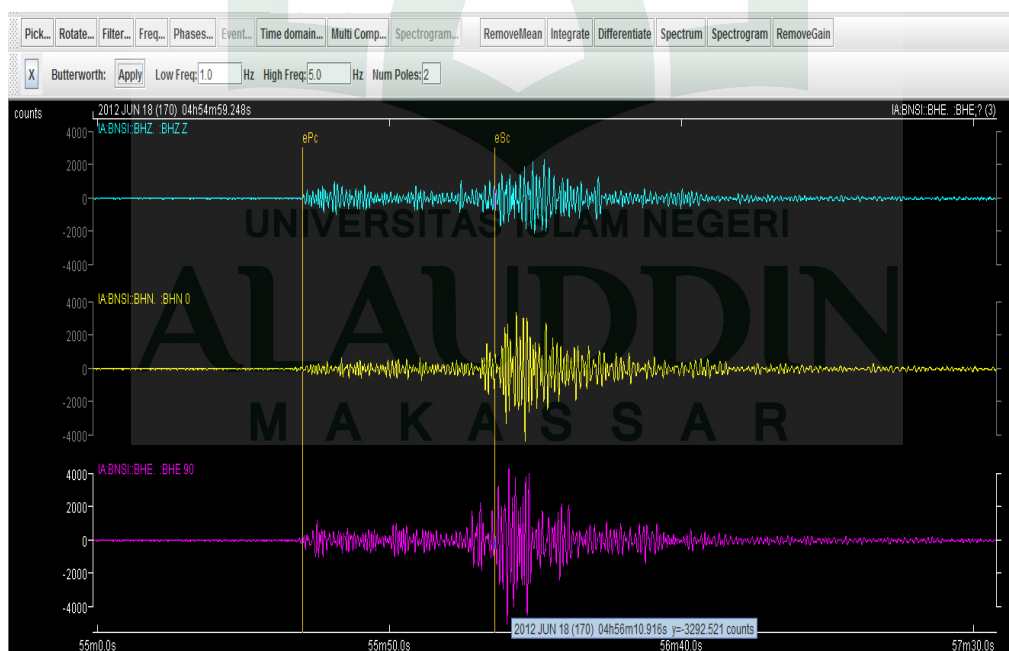
Pada gambar 4.1 berdasarkan kedalaman dan magnitudo memperlihatkan bahwa gempabumi yang terjadi bersumber dari gempabumi di darat maupun di laut. Peta seismisitas juga memperlihatkan bahwa aktivitas kegempaan yang terjadi cukup tinggi dengan titik hiposenter yang relatif dangkal. Sebaran

gempabumi yang terjadi di darat dan di laut pada peta seismisitas berdasarkan kedalamannya merupakan gempabumi dangkal, menengah dan dalam. Di darat kedalaman terbesar yaitu 610 Km dan terendah 2 Km sedangkan di laut kedalaman terbesar yaitu 510 Km dan yang terendah 10 Km. Berdasarkan kekuatan gempanya, gempabumi yang terjadi di darat dan di laut merupakan gempa mikro (>1 SR) yang tidak dirasakan sampai dengan gempa sedang (≤ 5 SR) yang bisa saja dapat merusak.

1.3 Identifikasi Jenis Sesar Di Wilayah Sulawesi Selatan Periode 2008-2017

4.3.1 Pengolahan Data Gempabumi dengan Menggunakan *Software* Seisgram2K

Berdasarkan pengolahan data gempabumi (lampiran L.3) menggunakan *software* Seisgram2K maka diperoleh hasil berupa pola gelombang P.



Gambar 4.2 Salah satu hasil *picking* gelombang P pada stasiun BNSI dengan menggunakan *software* Seisgram2K

Hasil picking data gelombang (Lampiran L.8) dari setiap stasiun gempa (Lampiran L.2) pada *software* Seisgram2K akan menghasilkan pola gelombang untuk setiap stasiun berupa gelombang dilatasi atau pola gelombang turun (D) dan pola gelombang kompresi atau gelombang naik (C) yang disajikan dalam bentuk file Notepad. Pada gambar 4.3 terdapat tiga komponen sensor data yaitu BHZ (pola gelombang berwarna biru), BHE (pola gelombang berwarna ungu), dan BHN (pola gelombang berwarna kuning). Waktu tiba gelombang P (t_P) diperoleh dari hasil *picking* pada komponen BHZ atau vertikal gelombang sementara untuk waktu tiba gelombang S diperoleh dari hasil *picking* pada komponen BHN dan BHE. Berikut adalah salah satu output hasil pengolahan dan penelitian dari *software* Seisgram2K.

Tabel 4.2 salah satu output dari *software* Seigram2K

Nama Stasiun	Jenis Gelombang	Pola Gelombang	t_P
BKSI	P	D	34.016
KAPI	P	C	39.345
BSSI	P	C	48.456
SPSI	P	C	56.751
KKSI	P	C	10.619
TTSI	P	D	12.551
MMSI	P	C	19.923

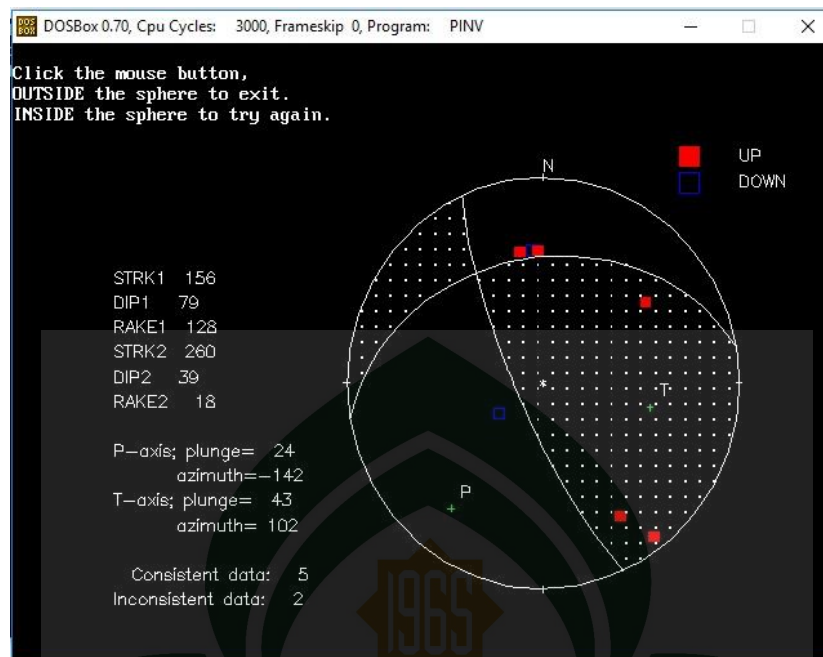
4.3.2 Pengolahan Data Gempabumi dengan Menggunakan *Software* AZMTAK

Data yang diperoleh dari arah gerakan pertama untuk pola gelombang P pada setiap stasiun berupa pola gerakan kompresi dan pola gerakan dilatasi. Dari program Notepad tersebut kemudian diolah menggunakan *software* AZMTAK dimana hasil dari *software* Seisgram2K yang akan menjadi input datanya. Berikut ini adalah salah satu hasil polaritas gelombang yang diperoleh dari penelitian.

Tabel 4.3 Format salah satu data input gempa pada *software* AZMTAK

Koordinat Gempa	Kedalaman Gempa	Stasiun	C/D
Latitude -5,38	10 Km	BKSI	-1
		KAPI	1
		BSSI	1
Longitude 120,03		SPSI	1
		KKSI	1
		TTSI	-1
		MMSI	1

Data pola gelombang P yang menjadi input untuk *software* AZMTAK berupa nilai dilatasi -1 dan nilai kompresi 1, sementara hasil yang akan menjadi outputnya menunjukkan hasil orientasi bidang nodal berupa bola fokal, nilai *strike*, *dip* dan *rake*. Berikut ini merupakan salah satu output dari hasil pengolahan dan penelitian.



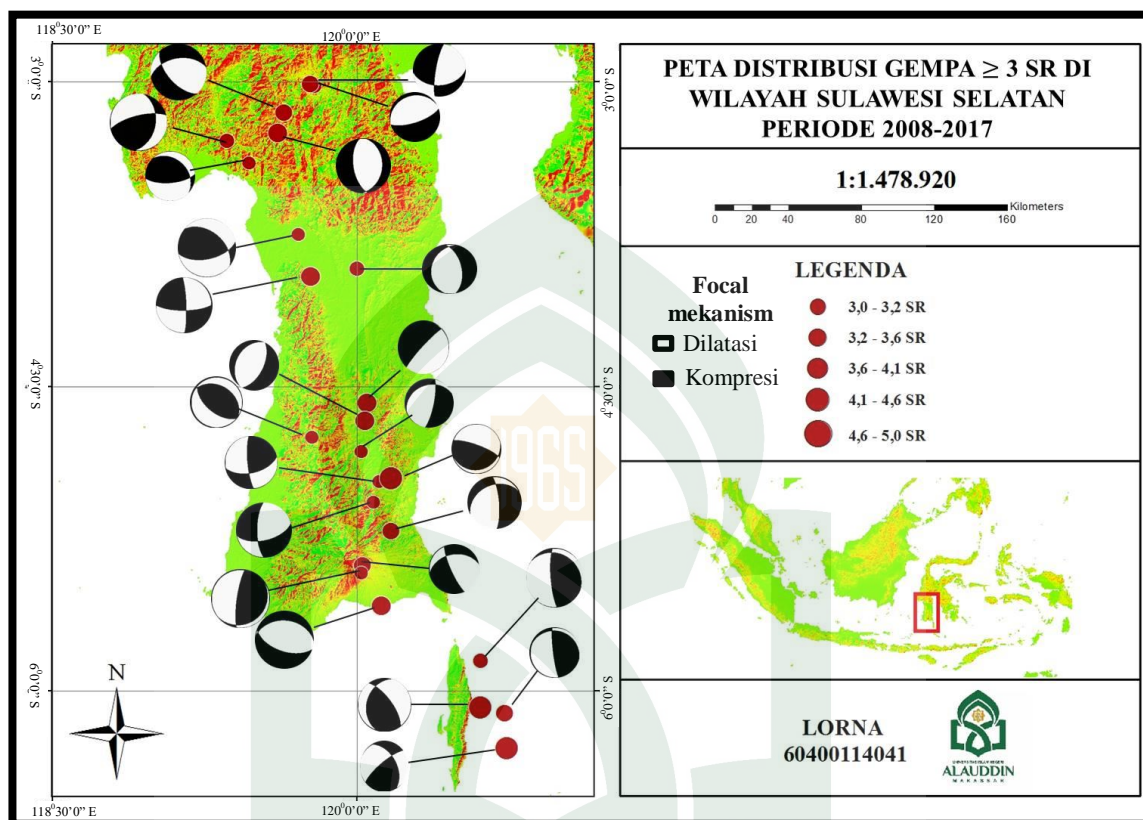
Gambar 4.3 Salah satu hasil pengolahan dari *software* AZMTAK.

Berdasarkan output dari *software* AZMTAK distribusi data polaritas ditunjukkan oleh warna merah (*up*) yang merupakan kompresi dari gerak awal gelombang P dan *down* yaitu dilatasi. Parameter sesar yang diperoleh yaitu *strike*, *dip* dan *rake* pada bidang nodal 1 dan bidang nodal 2. Pada gambar 4.4 juga terdapat sumbu kompresif (P) dan sumbu tension (T) dengan masing-masing sudut *plunge* dan *azimuth*.

4.4 Sebaran Jenis Sesar Di Wilayah Sulawesi Selatan periode 2008-2017

Mekanisme fokus digunakan untuk mengetahui jenis dan arah sesar di wilayah Sulawesi Selatan periode 2008-2017 dengan data gempa yang digunakan terdiri dari waktu kejadian, koordinat, kedalaman, dan magnitudo gempa. Kriteria magnitudo yang digunakan yaitu 3-5 SR dengan kedalaman 0-650 km serta batasan wilayah yang digunakan berada di sekitar Sesar Walanae. Berdasarkan

gambar 4.5 dapat dilihat bahwa terdapat 24 bola fokal pada sebaran mekanisme fokus gempabumi.



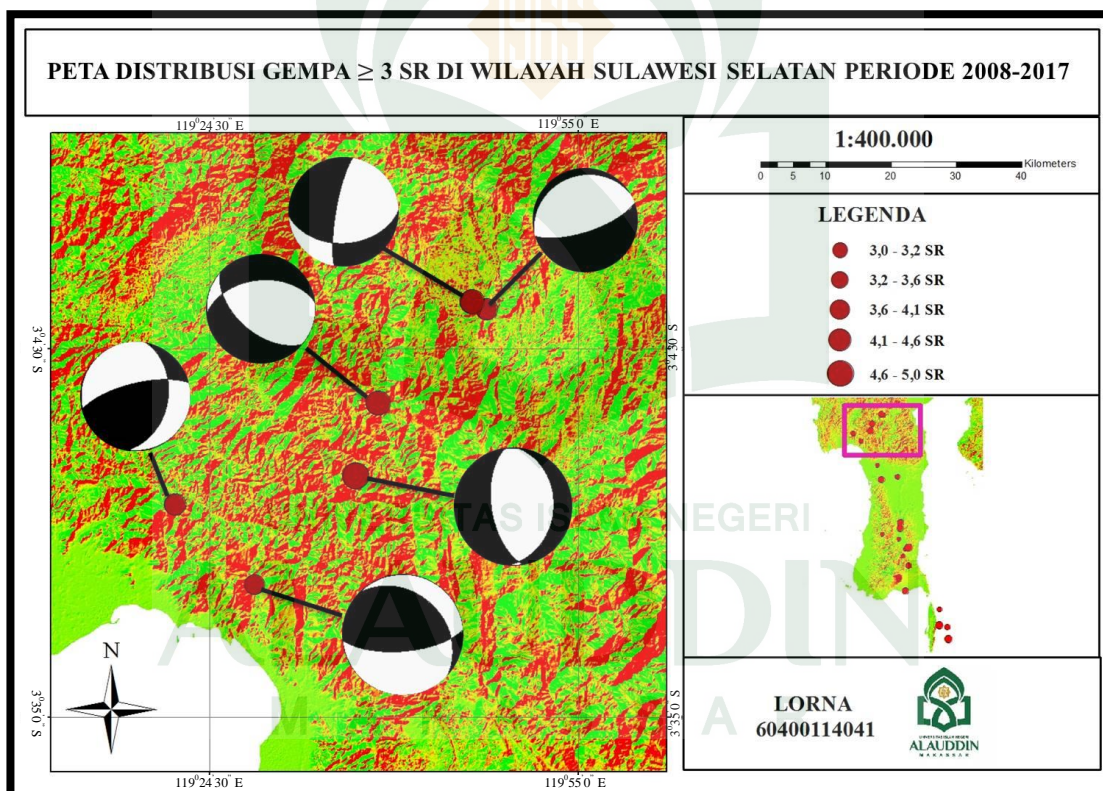
Gambar 4.4 Peta bola fokal mekanisme fokus gempabumi Sulawesi Selatan periode 2008-2017.

Berdasarkan hasil analisa yang telah dilakukan maka diperoleh parameter orientasi sesar berupa nilai *strike*, *dip*, dan *rake* dari dua nodal *planes* yang dihasilkan dari program *focal mechanism*.

Gambar 4.5 menunjukkan sesar yang terjadi di wilayah Sulawesi Selatan pada periode 2008-2017 yang secara umum didominasi oleh Sesar geser (*strike slip*) dan Sesar *oblique* (*oblique fault*) atau sesar kombinasi yang ditandai dengan gambar belahan bola berwarna hitam adalah kompresi dan warna putih adalah dilatasi. Jika terdapat 4 bagian dengan warna gelap terang selang seling maka itu

dinamakan sesar geser dan jika terdapat 3 bagian, apabila ditengah berwarna gelap maka itu dinamakan sesar naik begitu sebaliknya, apabila ditengah berwarna terang maka itu dinamakan sesar turun serta sesar kombinasi yang sering disebut sesar oblique atau sesar geser naik/turun. Untuk memudahkan pembacaan jenis sesar, berikut ini merupakan peta fokal sebaran gempabumi di wilayah Sulawesi Selatan dimana terdapat 27 bola focal yang dibagi menjadi 5 region. Adapun region yang dimaksud sebagai berikut:

4.4.1 Jenis Sesar Pada Region I







Gambar 4.5 Sebaran jenis sesar pada region I.

Pada region I terdapat 6 gempabumi sepanjang periode 2008-2017 dengan magnitudo 3-5 SR, diantaranya terdapat 2 sesar turun (*normal fault*), 2 sesar

oblique (*oblique fault*) dan 2 sesar geser (*strike slip*). Sesar-sesar tersebut yang menyebabkan gempa di darat pada region I.

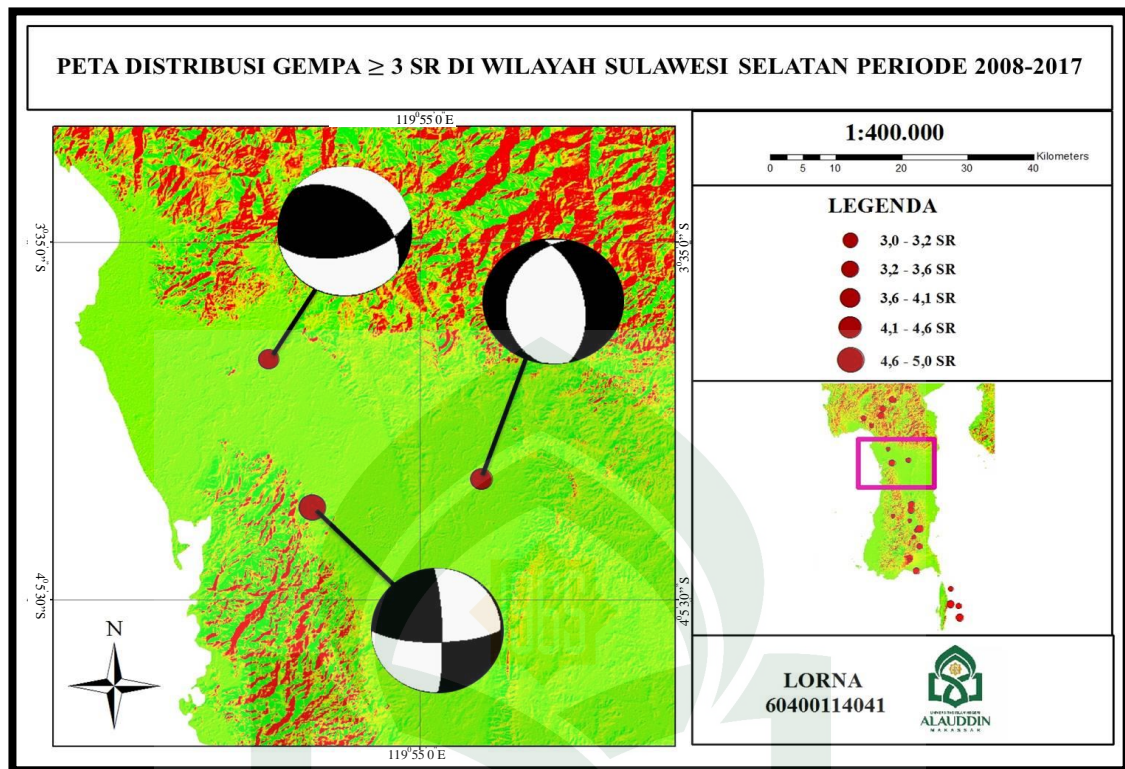
Tabel 4.4 Pola sesar penyebab gempa di region I

No.	Beachball	Jenis Sesar	Jumlah
1		Sesar turun (<i>normal fault</i>)	2
2		Sesar geser (<i>strike slip</i>)	2
3		Sesar oblique (<i>oblique fault</i>)	2
4		Sesar naik (<i>reverse fault</i>)	-

Berdasarkan pola sesar yang terlihat pada region I terdapat sesar turun (*normal fault*), sesar geser (*strike slip*) dan sesar oblique (*oblique fault*) yang menjadi penyebab terjadinya gempabumi di darat yang diakibatkan oleh adanya pengaruh Sesar Walanae. Gempabumi yang terjadi di darat tersebut merupakan gempa dangkal dengan kedalaman 10-30 km.

4.4.2 Jenis Sesar Pada Region II

Gempabumi pada region II terdapat 3 gempa yang terjadi sepanjang periode 2008-2017. Pola sesar penyebab gempabumi pada region ini yaitu sesar geser (*strike slip*), sesar oblique (*oblique fault*) dan sesar turun (*normal fault*).



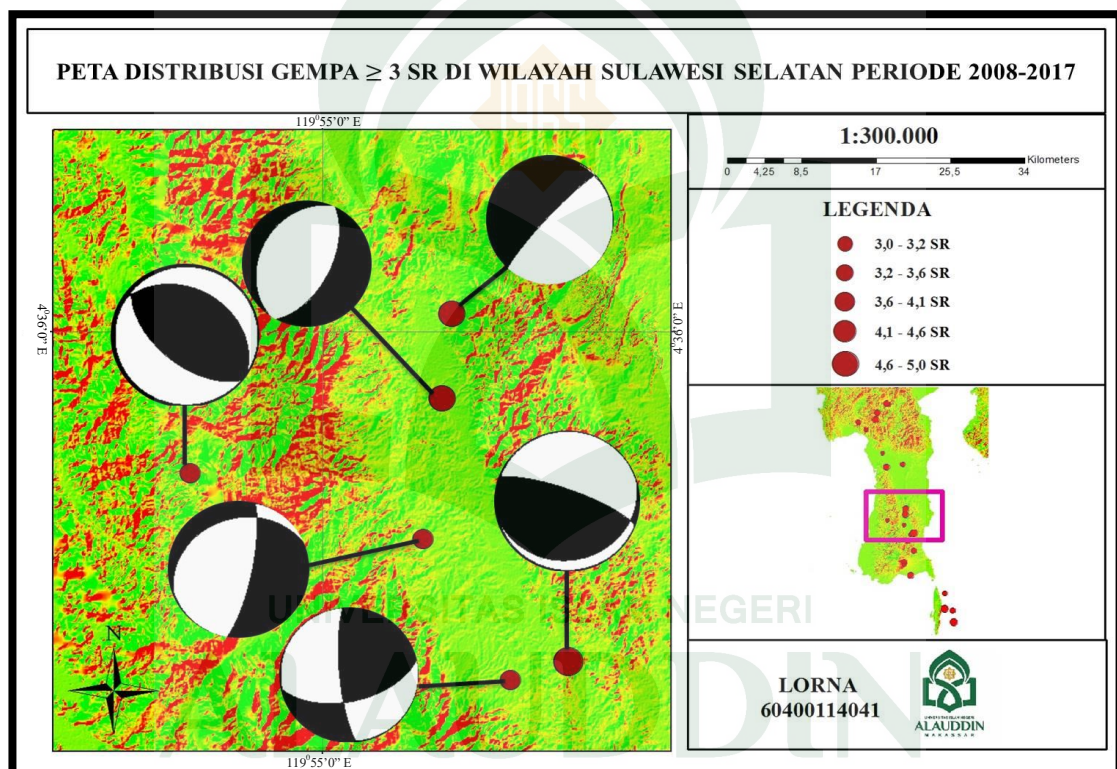
Gambar 4.6 Sebaran jenis sesar pada region II.

Tabel 4.5 Pola sesar penyebab gempa di region II

No.	Beachball	Jenis Sesar	Jumlah
1		Sesar turun (<i>normal fault</i>)	1
2		Sesar geser (<i>strike slip</i>)	1
3		Sesar oblique (<i>oblique fault</i>)	1
4		Sesar naik (<i>reverse fault</i>)	-





Berdasarkan pola bidang sesar pada region II terdapat 3 sesar yang terjadi akibat pengaruh dari Sesar Walanae yaitu sesar turun (*normal fault*), sesar geser (*strike slip*) dan sesar oblique (*oblique fault*) dengan batasan magnitudo 3-5 SR. Sesar-sesar ini yang menyebabkan terjadinya gempabumi pada area region II. Gempabumi yang terjadi di darat tersebut merupakan gempa dangkal dengan kedalaman 10-35 km.

4.4.3 Jenis Sesar Pada Region III



Gempabumi pada region III terdapat 6 gempa yang terjadi sepanjang periode 2008-2017, diantaranya 2 sesar turun (*normal fault*), 2 sesar geser (*strike slip*), 1 sesar oblique (*oblique fault*) dan 1 sesar naik (*reverse fault*). Adapun jika dilihat dari sebaran focal mechanism yang paling dominan penyebab gempa pada region ini yaitu sesar turun (*normal fault*) dan sesar naik (*reverse fault*).

Tabel 4.6 Pola sesar penyebab gempa di region III

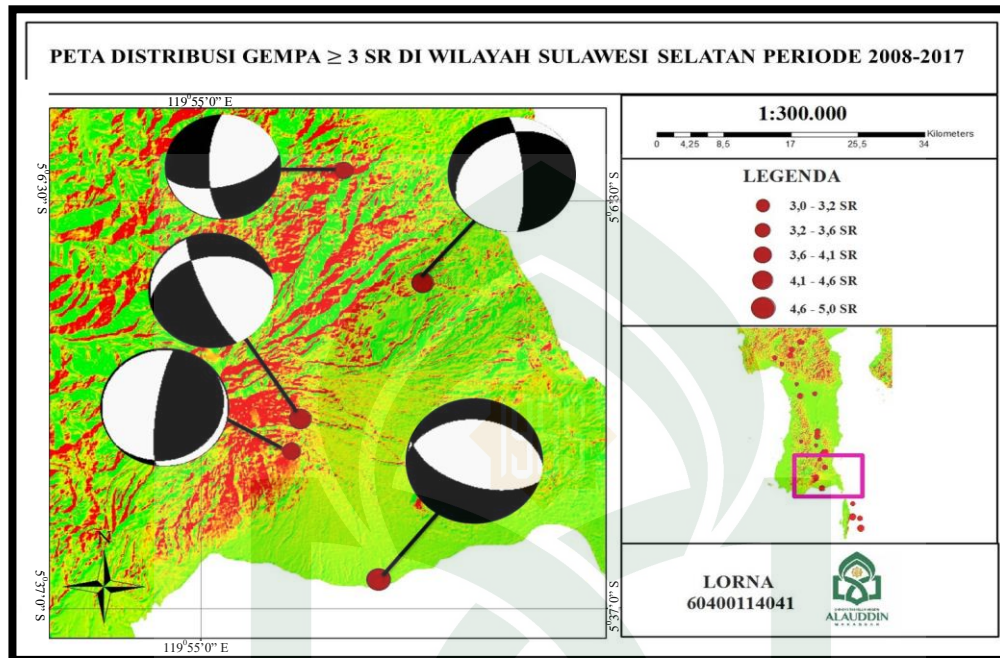
No.	Beachball	Jenis Sesar	Jumlah
1		Sesar turun (<i>normal fault</i>)	2
2		Sesar geser (<i>strike slip</i>)	2
3		Sesar oblique (<i>oblique fault</i>)	1
4		Sesar naik (<i>reverse fault</i>)	1

Berdasarkan pola bidang sesar pada region III penyebab utama terjadinya gempabumi disebabkan oleh sesar turun (*normal fault*) dan sesar naik (*reverse fault*) yang terjadi di darat. Selain itu sesar geser (*strike slip*) juga menjadi penyebab terjadinya gempabumi yang terjadi di darat dan terdapat pula sesar oblique (*oblique fault*). Penyebab gempa pada region ini dipengaruhi oleh aktivitas Sesar Walanae dan termasuk gempa dangkal dengan kedalaman 10-30 km.

4.4.4 Jenis Sesar Pada Region IV

Gempabumi pada region IV terdapat 5 gempa yang terjadi sepanjang periode 2008-2017, diantaranya 3 sesar geser (*strike slip*), 1 sesar turun (*normal fault*) dan 1 sesar naik (*reverse fault*). Adapun jika dilihat dari sebaran focal

mechanism yang paling dominan penyebab gempa pada region ini yaitu sesar geser (*strike slip*).



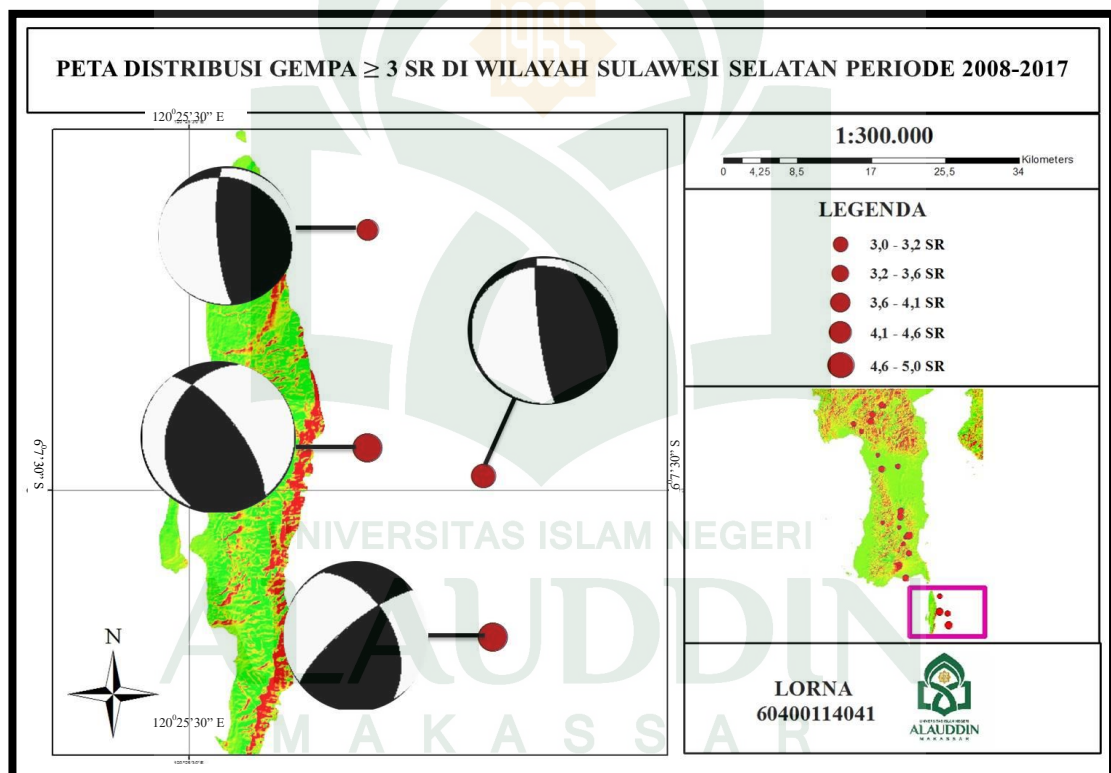
Gambar 4.8 Sebaran jenis sesar pada region IV.

Tabel 4.7 Pola sesar penyebab gempa di region IV

No.	Beachball	Jenis Sesar	Jumlah
1		Sesar turun (<i>normal fault</i>)	1
2		Sesar geser (<i>strike slip</i>)	3
3		Sesar oblique (<i>oblique fault</i>)	-
4		Sesar naik (<i>reverse fault</i>)	1

Berdasarkan pola bidang sesar pada region IV penyebab utama terjadinya gempabumi diakibatkan dari pergerakan sesar geser (*strike slip*) yang mendominasi wilayah ini. Selain itu terdapat pula sesar sesar turun (*normal fault*) dan sesar naik (*reverse fault*) yang juga menjadi penyebab terjadinya gempa. Pergerakan sesar-sesar tersebut dipengaruhi oleh aktivitas Sesar Walanae. Gempabumi yang terjadi tersebut termaksud gempa dangkal dengan kedalaman 10-16 km.





4.4.5 Jenis Sesar Pada Region V



Gambar 4.9 Sebaran jenis sesar pada region V.

Gempabumi pada region V terdapat 4 gempa yang terjadi sepanjang periode 2008-2017. Jika dilihat pada gambar 4.8 terdapat 3 sesar oblique (*oblique fault*) dan 1 sesar geser (*strike slip*) yang menjadi penyebab utama terjadinya gempabumi pada region ini dan terjadi di laut.

Tabel 4.8 Pola sesar penyebab gempa di region V

No.	Beachball	Jenis Sesar	Jumlah
1		Sesar turun (<i>normal fault</i>)	-
2		Sesar geser (<i>strike slip</i>)	1
3		Sesar oblique (<i>oblique fault</i>)	3
4		Sesar naik (<i>reverse fault</i>)	-

Berdasarkan pola bidang sesar pada region V penyebab utama terjadinya gempabumi diakibatkan dari pergerakan sesar oblique (*oblique fault*) yang mendominasi wilayah ini namun ada juga sesar geser (*strike slip*) yang terjadi dan terjadi di laut. Pergerakan sesar-sesar tersebut dipengaruhi oleh aktivitas Sesar Walanae. Gempabumi yang terjadi di laut ini merupakan gempa dangkal dengan kedalaman 17-35 km.

4.5 Identifikasi Arah Sesar Berdasarkan Metode HC-plot

Data hasil penelitian berupa bidang sesar yang teraktifkan dari beberapa gempabumi yang memiliki magnitudo 4-5 SR di wilayah Sulawesi Selatan pada

periode 2008-2007. Parameter yang digunakan yaitu hiposenter dan *centroid*. Berikut ini hasil pengolahan data untuk setiap region dengan mengambil 1 data dari setiap region.

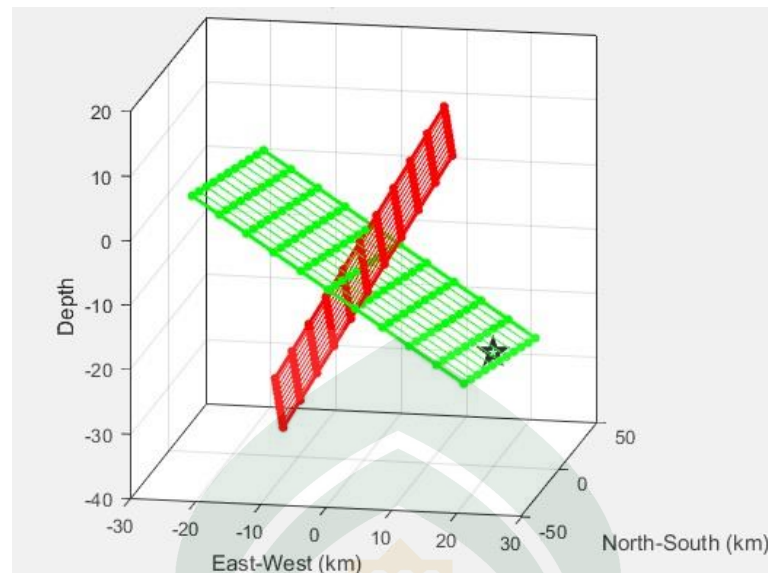
4.5.1 Arah sesar pada Region I

Gempa pada region I dengan lokasi *centroid* berada pada lintang $-3,25^{\circ}$ LS, bujur $119,61^{\circ}$ BT dan berada pada kedalaman 10 Km. Berdasarkan parameter, sumber gempabumi ini termasuk mekanisme sesar turun (*normal fault*) dengan bidang nodal 1; *strike* 6° dan *dip* 32° sedangkan untuk bidang nodal 2; *strike* 172° dan *dip* 59° . Berikut ini adalah hasil penggambaran dari program H-C Plot.

The screenshot shows the H-C Plot software interface with the following data and controls:

- Title:** LORNA 27
- Hypocenter:** Lat: -3.167, Lon: 119.779, Depth: 23.7
- Centroid:** Lat: -3.25, Lon: 119.61, Depth: 10
- More hypocenters:** Plot more hypocenters from file (moreepi.dat)
- Options:**
 - How many points in strike direction: 11
 - How many points in dip direction: 11
 - Distance between points in strike: 5
 - Distance between points in dip: 5
 - Reference point in strike: 6
 - Reference point in dip: 6
 - Fault length: (empty)
- Plane 1:** Strike: 6, Dip: 32, Plot this plane
- Plane 2:** Strike: 172, Dip: 59, Plot this plane
- Distances:**
 - Distance of Hypocenter from plane (km): 3.37
 - Centroid - Hypocenter Distance (km): 25.00
 - Distance from Hypocenter to Plane 2: 24.19
- Buttons:** Read parameters from file, Save parameters in file, Make movie, Plot, Exit
- Elevation:** 30

Gambar 4.10 Input data dalam program H-C Plot region I.



Gambar 4.11 Output dari program H-C Plot berupa bidang sesar region I.

Orientasi bidang sesar yang menandakan bahwa warna hijau adalah bidang nodal 1, warna merah adalah bidang nodal 2 dan tanda bintang merupakan lokasi hiposenter gempa bumi yang berada pada lintang $-3,167^\circ$ LS dan bujur $119,779^\circ$ BT serta berada pada kedalaman 23,7 Km. Terlihat pada gambar 4.12 berdasarkan hasil implementasi dari metode H-C dapat disimpulkan jarak yang paling dekat dengan lokasi hiposenter yaitu bidang nodal 1 (warna hijau) dengan jarak 3,3745 Km berarah N6E/32 Selatan-Utara. Sedangkan jarak hiposenter ke bidang nodal 2 (warna merah) yaitu 24,1873 Km dan jarak lokasi hiposenter ke lokasi *centroid* yaitu 24,995 Km.

4.5.2 Arah sesar pada Region II

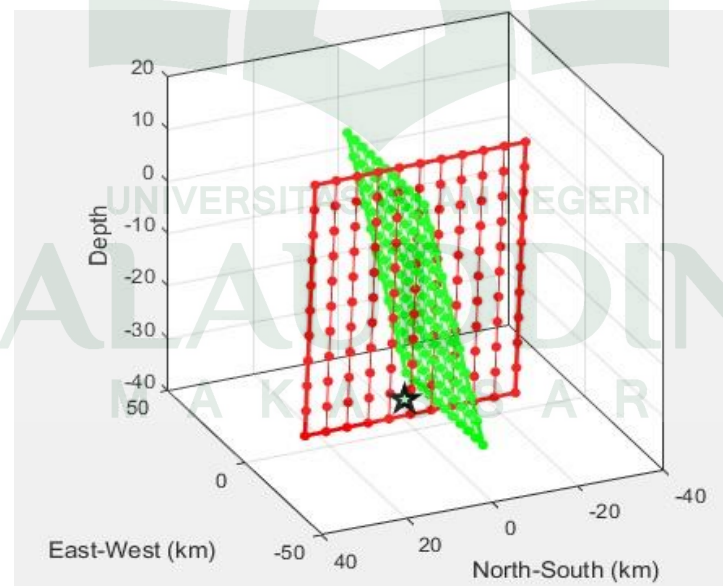
Gempa pada region II dengan lokasi *centroid* berada pada lintang $-3,96^\circ$ LS, bujur $119,77^\circ$ BT dan berada pada kedalaman 13 Km. Berdasarkan parameter, sumber gempa bumi ini termasuk mekanisme sesar geser (*strike slip*) dengan

bidang nodal 1; *strike* 90° dan *dip* 74° sedangkan untuk bidang nodal 2; *strike* 358° dan *dip* 83° . Berikut ini adalah hasil penggambaran dari program H-C Plot.

The screenshot shows the H-C Plot software interface with the following data and settings:

- Title:** LORNA 28
- Hypocenter:** Lat: -3.93, Lon: 119.75, Depth: 33
- Centroid:** Lat: -3.96, Lon: 119.77, Depth: 13
- Plane 1 (Green):** Strike: 90, Dip: 74. Distance of Hypocenter from plane (km): 9.14. Centroid - Hypocenter Distance (km): 20.39.
- Plane 2 (Red):** Strike: 358, Dip: 83. Distance of Hypocenter from plane (km): 4.82.
- Options:**
 - How many points in strike direction: 11
 - How many points in dip direction: 11
 - Distance between points in strike: 5
 - Distance between points in dip: 5
 - Reference point in strike: 6
 - Reference point in dip: 6
 - Fault length: 30
- Buttons:** Read parameters from file, Save parameters in file, Make movie, Plot, Exit.

Gambar 4.12 Input data dalam program H-C Plot region II.



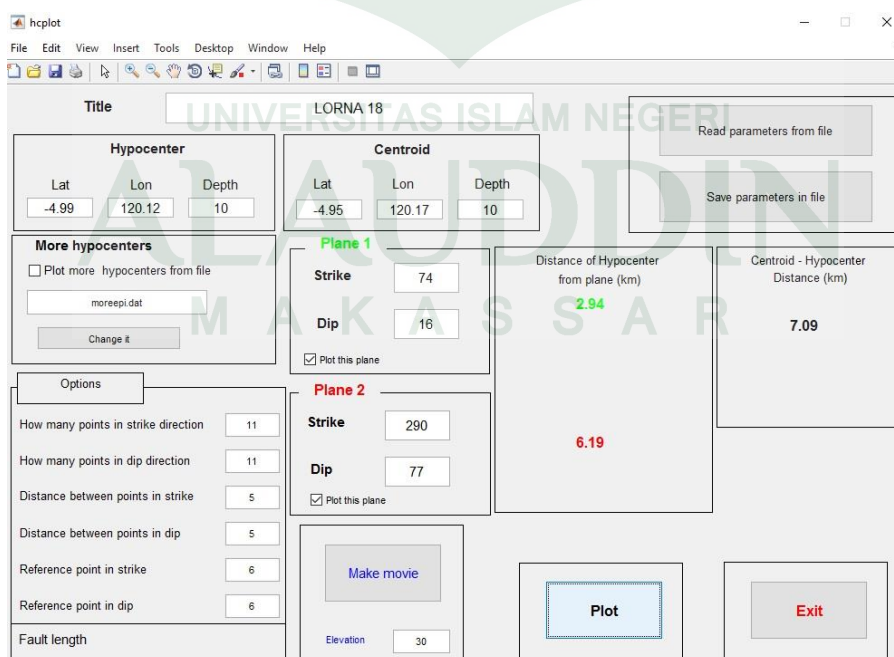
Gambar 4.13 Output dari program H-C Plot berupa bidang sesar region II.

Orientasi bidang sesar yang menandakan bahwa warna hijau adalah bidang nodal 1, warna merah adalah bidang nodal 2 dan tanda bintang merupakan lokasi

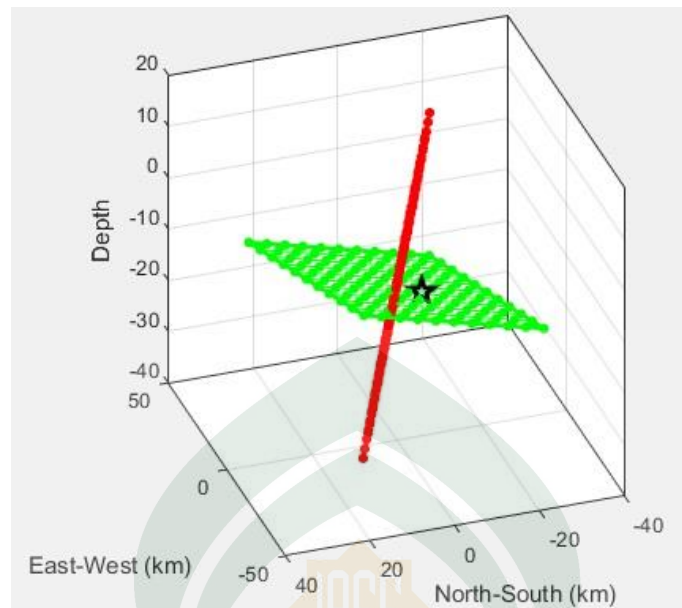
hiposenter gempa bumi yang berada pada lintang $-3,93^{\circ}$ LS dan bujur $119,75^{\circ}$ BT serta berada pada kedalaman 33 Km. Terlihat pada gambar 4.14 berdasarkan hasil implementasi dari metode H-C dapat disimpulkan bahwa jarak yang paling dekat dengan lokasi hiposenter yaitu bidang nodal 2 (warna merah) dengan jarak 4,8197 Km berarah N358E/83 Utara-Selatan. Sedangkan jarak hiposenter ke bidang nodal 1 (warna hijau) yaitu 9,1381 Km dan jarak lokasi hiposenter ke lokasi *centroid* yaitu 20,3946 Km.

4.5.3 Arah sesar pada Region III

Gempa pada region III dengan lokasi *centroid* berada pada lintang $-4,95^{\circ}$ LS, bujur $120,17^{\circ}$ BT dan berada pada kedalaman 10 Km. Berdasarkan parameter, sumber gempa bumi ini termasuk mekanisme sesar oblique (*oblique fault*) dengan bidang nodal 1; *strike* 74° dan *dip* 16° sedangkan untuk bidang nodal 2; *strike* 290° dan *dip* 77° . Berikut ini adalah hasil penggambaran dari program H-C Plot.



Gambar 4.14 Input data dalam program H-C Plot region III.



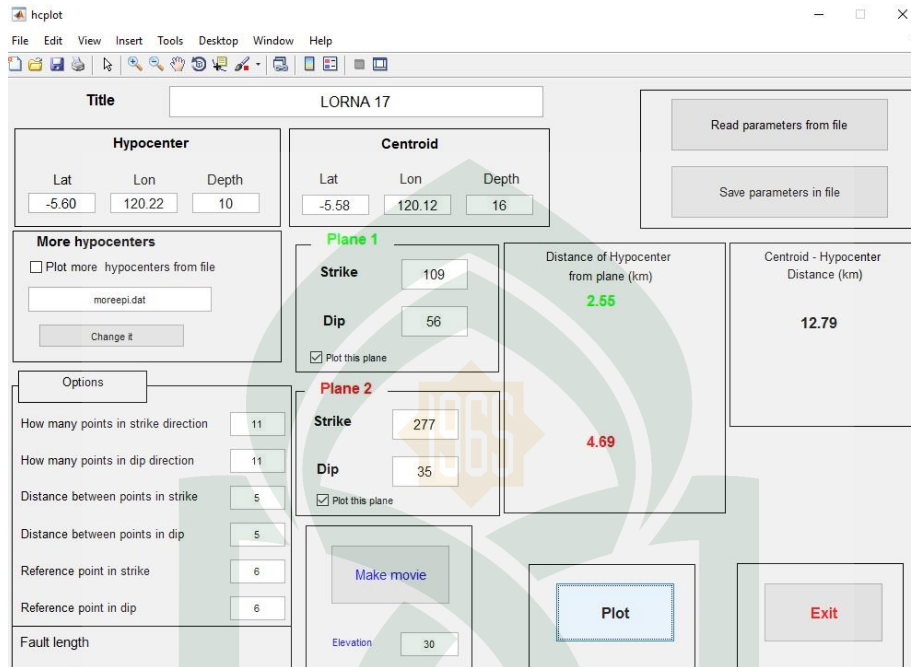
Gambar 4.15 Output dari program H-C Plot berupa bidang sesar region III.

Orientasi bidang sesar yang menandakan bahwa warna hijau adalah bidang nodal 1, warna merah adalah bidang nodal 2 dan tanda bintang merupakan lokasi hiposenter gempa bumi yang berada pada lintang $-4,99^{\circ}$ LS dan bujur $120,12^{\circ}$ BT serta berada pada kedalaman 10 Km. Terlihat pada gambar 4.16 berdasarkan hasil implementasi dari metode H-C dapat disimpulkan bahwa jarak yang paling dekat dengan lokasi hiposenter yaitu bidang nodal 1 (warna hijau) dengan jarak 2,939 Km berarah N74E/16 Barat Daya-Timur Laut. Sedangkan jarak hiposenter ke bidang nodal 2 (warna merah) yaitu 6,1918 Km dan jarak lokasi hiposenter ke lokasi *centroid* yaitu 7,0933 Km.

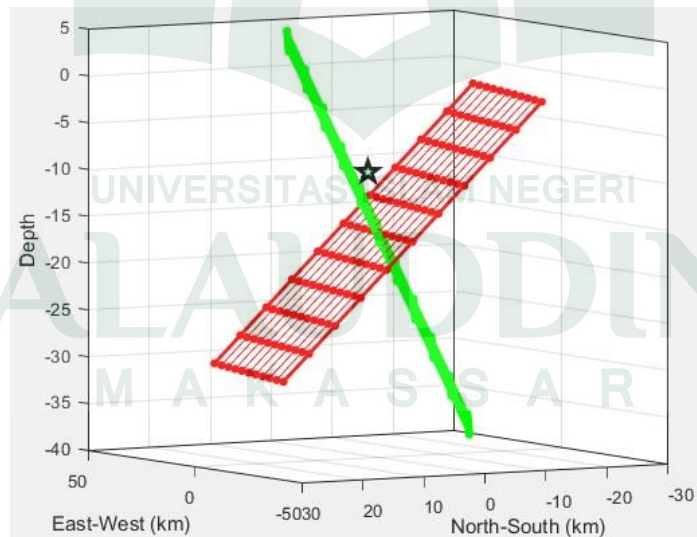
4.5.4 Arah sesar pada Region IV

Gempa pada region IV dengan lokasi *centroid* berada pada lintang $-5,58^{\circ}$ LS, bujur $120,12^{\circ}$ BT dan berada pada kedalaman 16 Km. Berdasarkan parameter, sumber gempa bumi ini termasuk mekanisme sesar turun (*normal fault*) dengan

bidang nodal 1; *strike* 109° dan *dip* 56° sedangkan untuk bidang nodal 2; *strike* 277° dan *dip* 35° . Berikut ini adalah hasil penggambaran dari program H-C Plot.



Gambar 4.16 Input data dalam program H-C Plot region IV.



Gambar 4.17 Output dari program H-C Plot berupa bidang sesar region IV.

Orientasi bidang sesar yang menandakan bahwa warna hijau adalah bidang nodal 1, warna merah adalah bidang nodal 2 dan tanda bintang merupakan lokasi

hiposenter gempa bumi yang berada pada lintang $-5,60^{\circ}$ LS dan bujur $120,22^{\circ}$ BT serta berada pada kedalaman 10 Km. Terlihat pada gambar 4.18 berdasarkan hasil implementasi dari metode H-C dapat disimpulkan bahwa jarak yang paling dekat dengan lokasi hiposenter yaitu bidang nodal 1 (warna hijau) dengan jarak 2,5518 Km berarah N109E/56 Barat Laut- Tenggara. Sedangkan jarak hiposenter ke bidang nodal 2 (warna merah) yaitu 4,6877 Km dan jarak lokasi hiposenter ke lokasi *centroid* yaitu 12,7923 Km.

4.5.5 Arah sesar pada Region V

Gempa pada region V dengan lokasi *centroid* berada pada lintang $-6,28^{\circ}$ LS, bujur $120,68^{\circ}$ BT dan berada pada kedalaman 27 Km. Berdasarkan parameter, sumber gempa bumi ini termasuk mekanisme sesar geser (*normal fault*) dengan bidang nodal 1; *strike* 230° dan *dip* 76° sedangkan untuk bidang nodal 2; *strike* 332° dan *dip* 50° . Berikut ini adalah hasil penggambaran dari program H-C Plot.

The screenshot shows the H-C Plot software interface with the following data and settings:

Hypocenter			Centroid		
Lat	Lon	Depth	Lat	Lon	Depth
-6.28	120.68	27	-6.28	120.74	35

Plane 1		Distance of Hypocenter from plane (km)	Centroid - Hypocenter Distance (km)
Strike	230	6.32	10.40
Dip	76		

Plane 2	
Strike	332
Dip	50

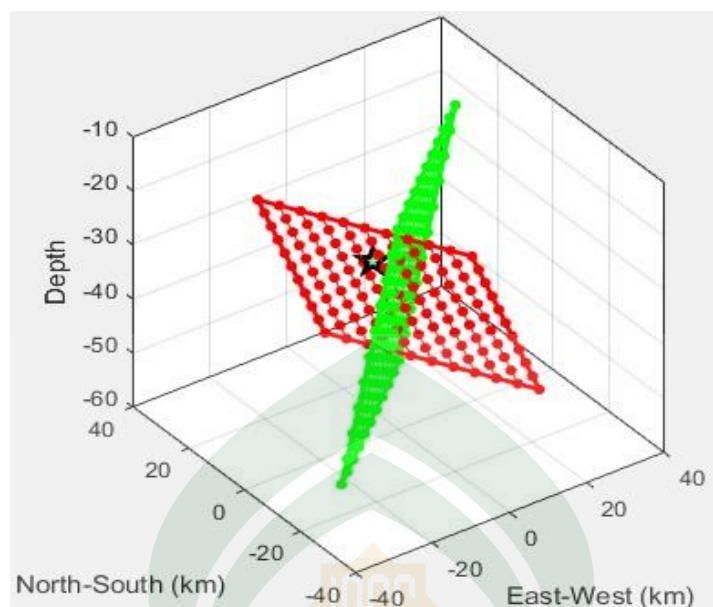
Distance of Hypocenter from plane (km) for Plane 2: 2.00

Options:

- How many points in strike direction: 11
- How many points in dip direction: 11
- Distance between points in strike: 5
- Distance between points in dip: 5
- Reference point in strike: 6
- Reference point in dip: 6
- Fault length: (empty)

Buttons: Read parameters from file, Save parameters in file, Make movie, Plot, Exit.

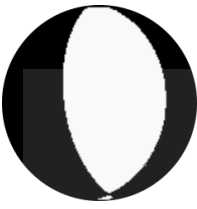
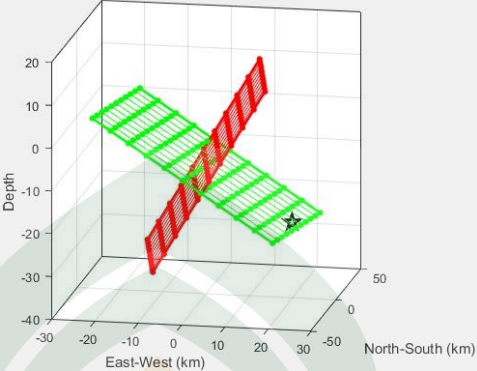

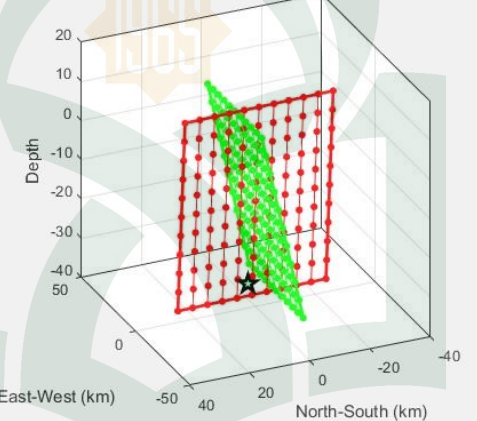

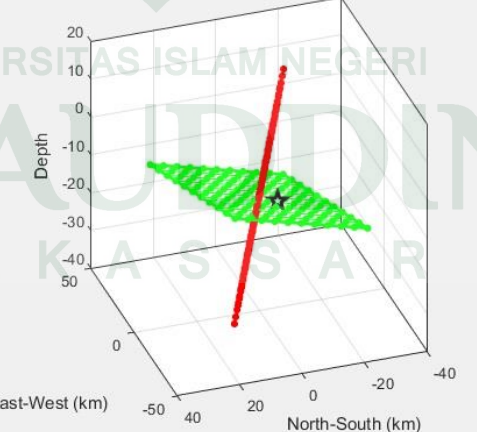
Gambar 4.18 Input data dalam program H-C Plot region V.

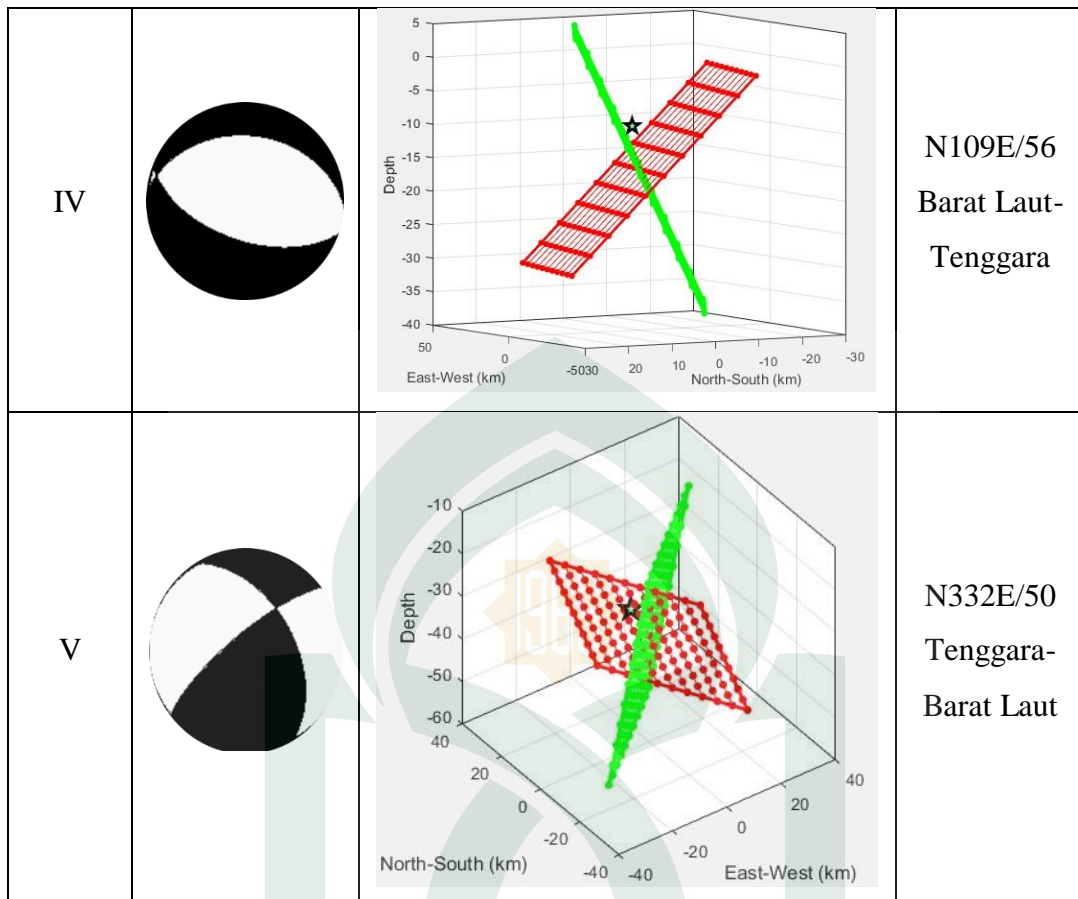


Gambar 4.19 Output dari program H-C Plot berupa bidang sesar region V.

Orientasi bidang sesar yang menandakan bahwa warna hijau adalah bidang nodal 1, warna merah adalah bidang nodal 2 dan tanda bintang merupakan lokasi hiposenter gempa bumi yang berada pada lintang $-6,28^{\circ}$ LS dan bujur $120,68^{\circ}$ BT serta berada pada kedalaman 27 Km. Terlihat pada gambar 4.20 berdasarkan hasil implementasi dari metode H-C dapat disimpulkan bahwa jarak yang paling dekat dengan lokasi hiposenter yaitu bidang nodal 2 (warna merah) dengan jarak 1,9955 Km berarah N332E/50 Tenggara-Barat Laut. Sedangkan jarak hiposenter ke bidang nodal 1 (warna hijau) yaitu 6,3181 Km dan jarak lokasi hiposenter ke lokasi *centroid* yaitu 10,3962 Km.

Tabel 4.9 Jenis dan Arah Sesar

Region	Bola Fokus	Bidang Patahan	Jenis dan Arah Sesar
I			<p>N6E/32 Selatan- Utara</p>
II			<p>N358E/83 Utara- Selatan</p>
III			<p>N74E/16 Barat Daya- Timur Laut</p>



BAB V

PENUTUP

5.1 Kesimpulan

Berdasarkan hasil penelitian ini maka dapat disimpulkan bahwa bidang sesar aktif untuk region I dengan jenis sesar turun (*normal fault*) berarah N6E/32 Selatan-Utara, region II dengan jenis sesar geser (*strike slip*) berarah N358E/83 Utara-Selatan, region III dengan jenis sesar oblique (*oblique fault*) berarah N74E/16 Barat Daya-Timur Laut, region IV dengan jenis sesar turun (*normal fault*) berarah N109E/56 Barat Laut- Tenggara dan pada region V dengan jenis sesar geser (*strike slip*) berarah N332E/50 Tenggara-Barat Laut.

5.2 Saran

Adapun saran yang dapat diberikan pada penelitian ini adalah melakukan penyesuaian data geologi berdasarkan hasil analisa yang diperoleh untuk memperoleh data yang lebih akurat.

DAFTAR PUSTAKA

- Abdullah, C.I., Sapiie, B., Magetsari, N. A., Harsolumakso, A. H. 2006. *Geologi Fisik*. Institut Teknologi Bandung. Bandung.
- Afnimar.2009.*Seimologi*.Istitut Teknologi Bandumg:Bandung.
- Al-Syeikh, Dr. Abdullah.2004.*Tafsir Ibnu Katsir*.Pustaka Imam Syafi'i:Bogor
- Amstrong F.2012.*Struktur Geologi Sulawesi*.Perpustakaan Sains dan Teknologi:ITB
- Anderson, E. M.1951. *The Dynamics of Faulting*.Oliver & Boys, Edinburgh.
- BMKG.2015.*Bulletin Gempabumi dan Tsunami Indonesia*.Jakarta
- BMKG.2017.*Skala MMI (Modifier Mercalli Intensity)*.www.bmkg.go.id
- Cronin, Vince. 2010.*A Draft Primer on Focal Mecanism Solutions for Geologists*.UK.Baylor University
- Darma dan Sidi.2000. *An outline of the geology of Indonesia*. Jakarta: Ikatan Akhli Geologi Indonesia
- Elnashai, Amr and Di Sarno, Luigi. 2008. *Fundamentals of Earthquake Engineering*. West Sussex. Wiley & Sons, Ltd
- Erviawan.2010. *lipatan*.Makassar.UIN Makassar.
- Hall, R., Wilson, M. E. J. 2000. *Neogene Sutures in Eastern Indonesia*. Journal of Asian Earth Sciences, 18, 781-808
- Hamilton, W. 1979. *Tectonics of the Indonesian Region*. Washington: Geological Survey Professional Paper 1078. 345p.
- Hamka, Prof. Dr.1975. *Tafsir Al-Azhar Juzu 20*.Sukabumi
- <https://agnasgeograph.wordpress.com/2012/04/20/struktur-geologi/>
- <https://www.slideshare.net/mobile/army014/materi-kuliah-geologi-sruktur/>
- Kaharuddin.2011.Pengembangan tektonik dan implikasinya terhadap potensi gempa dan tsunami di kawasan pulau Sulawesi. Jurnal
- Kementrian Agama RI.2014.*Qur'an Hafalan*.Halim:Surabaya
- Kurniati, Atika.2017.*Aplikasi Mekanisme Fokus Dalam Identifikasi Sesar Di Sulawesi Bagian selatan*.Unhas:Makassar
- Madlazin.2011.Estimasi CMT, *bidang sesar dan durasi rupture gempabumi disumatra serta kemungkinan penerapan untuk peringatan dini tsunami* (Disertasi). Fisika ITS

- Madlazin.2017.*Pengaruh Hiposenter Terhadap Ketelitian Penentuan Bidang Sesar Teraktif Menggunakan Metode HC-plot di Wilayah Papua*. Jurnal Inovasi Fisika Indonesia (IFI) Volume 06 Nomor 03 Tahun 2017, hal 18-24
- Massinai, M.F.I. 2013. *Analisis Pola Sebaran Gempa Tektonik Berdasarkan Mekanisme Fokus (Studi Kasus Pulau Sulawesi, Tahun 1993-2012)*. Skripsi. Universitas Hasanuddin. Makassar
- Massinai, Muhammad Altin, Sudraat, Adjat, Lantu.2013.*The Influence of Seismic Activity in South Sulawesi Area to the Geomorfology of Jeneberang Watershed*, Journal of Engineering and Teknolog, Vol 3, No. 10, P.945-948
- Noor, Djauhari. 2010. *Pengantar Geologi*.Program Studi Teknik Geologi Fakultas Teknik:Universitas Pakuan
- Okal, E.A.2011.*Earthquake, Fokal Mekanism*. Springer Science Business Media B. V.Evanston, IL. 60208, USA
- Santoso, Djoko.2002.*Pengantar Teknik Geofisika*. Penerbit ITB: Bandung.
- Shihab, M. Quraish.2002. *Tafsir Al-Misbah*.Jakarta:Lentera Hati
- Sompotan, Armstrong F.2012.*Struktur Geologi Sulawesi*.Perpustakaan Sains Kebumihan Institut Teknologi Bandung:Bandung.
- Sunarjo, Gunawan, M.Taufik, Pribadi, Sugeng.2012.*Gempabumi Indonesia Edisi Populer*. Badan Metereologi Klimatologi dan Geofisika. Jakarta.
- Suyono and Kusnama, 2010, *Stratigraphy and Tectonics of the Sengkang Basin, South Sulawesi*, Jurnal Geologi Indonesia



LAMPIRAN-LAMPIRAN

UNIVERSITAS ISLAM NEGERI
ALAUDDIN
M A K A S S A R



LAMPIRAN 1

DATA GEMPA SULAWESI BAGIAN SELATAN PERIODE 2008-2017 PADA
KOORDINAT $-3^{\circ}-6^{\circ}30''$ LS – $119^{\circ}-120^{\circ}$ BT

UNIVERSITAS ISLAM NEGERI
ALAUDDIN
M A K A S S A R

Date	Time	Latitude	Longitude	Depth	Mag	TypeMag	Region
30/11/2008	03.01.08	-3.68	119.16.00	17	03.04	MLv	Sulawesi, Indonesia
01/12/2008	16.10.01	-4.11	119.18.00	82	02.04	MLv	Sulawesi, Indonesia
23/12/2008	23.41.48	-3.07	119.56.00	5	02.05	MLv	Sulawesi, Indonesia
28/12/2008	07.29.28	-4.33	119.53.00	10	2	MLv	Sulawesi, Indonesia
03/03/2008	21.00.03	-3,25	119.61.00	10	04.05	mb	Sulawesi, Indonesia
01/01/2009	15.49.54	-4.32	119.56.00	10	03.01	MLv	Sulawesi, Indonesia
03/01/2009	16.56.43	-6.25	119.84	510	04.04	MLv	Flores Sea
22/01/2009	14.21.09	-5.39	119.83	650	03.02	MLv	Sulawesi, Indonesia
17/04/2009	06.34.20	-3.95	119.45.00	10	02.01	MLv	Sulawesi, Indonesia
12/05/2009	12.36.47	-3.4	119.47.00	3	03.02	MLv	Sulawesi, Indonesia
01/09/2009	21.02.32	-4.02	119.26.00	16	02.06	MLv	Sulawesi, Indonesia
13/09/2009	16.29.07	-4.07	119.66	15	2	MLv	Sulawesi, Indonesia
05/10/2009	23.40.22	-3.76	119.03.00	11	3	MLv	Sulawesi, Indonesia
06/10/2009	19.05.34	-3.85	119.44.00	26	02.05	MLv	Sulawesi, Indonesia
25/11/2009	15.53.13	-3.47	119.39.00	10	2	MLv	Sulawesi, Indonesia
05/12/2009	23.04.40	-6.24	119.14.00	404	03.08	MLv	Flores Sea
22/01/2010	05.28.21	-4.3	120	11	2	M	Sulawesi, Indonesia
23/01/2010	18.00.22	-4.84	119.33.00	10	3	M	Sulawesi, Indonesia
13/02/2010	04.32.29	-4.5	119.79	10	02.06	MLv	Sulawesi, Indonesia
17/03/2010	05.27.23	-6,08	120.61	27	05.00	Mb	Sulawesi, Indonesia
03/04/2010	21.59.58	-4.53	119.77	35	01.09	MLv	Sulawesi, Indonesia
15/04/2010	01.39.31	-4.22	119.75	43	02.01	M	Sulawesi, Indonesia
18/04/2010	13.50.05	-4.24	119.39.00	179	02.07	M	Sulawesi, Indonesia
11/05/2010	04.39.12	-5.66	119.27.00	10	02.05	M	Sulawesi, Indonesia
23/06/2010	07.28.11	-5.53	119.99	22	02.05	M	Sulawesi, Indonesia
10/07/2010	15.05.16	-3.8	119.17.00	10	02.03	M	Sulawesi, Indonesia
22/07/2010	21.10.01	-3.96	119.77	13	04.05	M	Sulawesi, Indonesia
30/07/2010	03.58.33	-3.72	119.24.00	58	02.04	M	Sulawesi, Indonesia
30/07/2010	15.53.32	-5,38	120.03.00	10	04.01	M	Sulawesi, Indonesia
03/08/2010	14.55.27	-5,42	120.02.00	11	03.00	M	Sulawesi, Indonesia
08/08/2010	04.08.04	-3.92	119.49.00	10	02.07	M	Sulawesi, Indonesia
21/08/2010	15.01.08	-3.33	119.09.00	55	02.04	M	Sulawesi, Indonesia
26/08/2010	23.41.04	-3	119.83	141	03.03	M	Sulawesi, Indonesia
29/08/2010	13.39.17	-4.75	119.78	10	3	M	Sulawesi, Indonesia
22/11/2010	05.24.31	-3.94	119.02.00	13	03.01	M	Sulawesi, Indonesia
25/11/2010	03.17.30	-3.44	119.24.00	14	02.04	M	Sulawesi, Indonesia
06/12/2010	10.10.13	-3.77	119.46.00	11	03.04	M	Sulawesi, Indonesia
06/12/2010	10.10.14	-3.76	119.46.00	10	03.04	M	Sulawesi, Indonesia
08/12/2010	20.30.25	-4,97	120.11.00	16	03.02	mb	Sulawesi, Indonesia
22/12/2010	15.32.51	-3.92	119	10	2	M	Sulawesi, Indonesia
10/02/2011	18.27.45	-3.87	119.02.00	10	02.06	M	Sulawesi, Indonesia
07/03/2011	06:10:40.5	-3.38	119.05.00	28	02.03	M	Sulawesi, Indonesia
21/05/2011	14:37:10.2	-5.76	119.74	10	02.08	M	Sulawesi, Indonesia
14/06/2011	14:06:32.5	-4.63	119.61	10	02.09	M	Sulawesi, Indonesia
25/06/2011	13:06:03.5	-3.69	119.67	15	2	M	Sulawesi, Indonesia
08/10/2011	15:13:43.7	-3.83	119.64	15	01.09	M	Sulawesi, Indonesia
30/10/2011	21:08:05.1	-4.36	119.81	12	01.04	M	Sulawesi, Indonesia
24/11/2011	02.06.00	-4,82	120.02.00	30	03.01	Mb	Sulawesi, Indonesia
27/11/2011	04:02:18.2	-3.05	119.55.00	10	02.01	M	Sulawesi, Indonesia
27/11/2011	04:07:28.3	-3.18	119.59.00	10	02.02	M	Sulawesi, Indonesia

27/11/2011	04:16:02.2	-3.04	119.54.00	10	02.05	M	Sulawesi, Indonesia
04/12/2011	22:18:59.8	-3.3	119.55.00	10	02.06	M	Sulawesi, Indonesia
01/01/2012	16:09:57.3	-3.76	119.08.00	10	01.09	M	Sulawesi, Indonesia
13/01/2012	16:10:47.2	-3.59	119.57.00	10	02.03	M	Sulawesi, Indonesia
14/01/2012	17:46:25.4	-3.82	119.35.00	10	02.05	M	Sulawesi, Indonesia
14/01/2012	18:11:52.4	-3.67	119.21.00	30	01.08	M	Sulawesi, Indonesia
04/02/2012	00:31:09.5	-3.76	119.51.00	18	02.05	M	Sulawesi, Indonesia
13/02/2012	09:19:09.7	-6.35	119.14.00	411	03.08	M	Flores Sea
23/05/2012	13:59:02.1	-3.68	119.79	10	02.02	M	Sulawesi, Indonesia
18/06/2012	04:50:08.2	-3.29	119.36.00	10	03.04	M	Sulawesi, Indonesia
20/06/2012	02:32:46	-4.95	120.17.00	10	04.09	Mb	Sulawesi, Indonesia
26/07/2012	16:51:49.6	-3.82	119.02.00	10	02.04	M	Sulawesi, Indonesia
28/07/2012	21:20:19.9	-3.51	119.59.00	10	02.06	MLv	Sulawesi, Indonesia
13/08/2012	22:50:11.1	-3.99	119.34.00	11	02.07	MLv	Sulawesi, Indonesia
26/09/2012	23:48:27.7	-3	119.64	10	03.08	M	Sulawesi, Indonesia
02/12/2012	03:04:40	-5.58	120.12.00	16	04.04	Mb	Sulawesi, Indonesia
17/12/2012	21:02:35	-6.11	120.73	35	04.00	Mb	Sulawesi, Indonesia
18/12/2012	08:27:05	-6.28	120.74	35	04.08	Mb	Sulawesi, Indonesia
04/01/2013	17:40:23.7	-3.7	119.05.00	10	02.07	M	Sulawesi, Indonesia
08/01/2013	03:21:25.6	-3.02	119.79	10	04.05	MLv	Sulawesi, Indonesia
14/01/2013	02:31:56.6	-3.75	119.13.00	10	04.04	M	Sulawesi, Indonesia
24/01/2013	14:41:36.3	-4.05	119.96	15	02.02	M	Sulawesi, Indonesia
08/02/2013	05:45:47	-3.92	120.00.00	35	03.03	Mb	Sulawesi, Indonesia
08/03/2013	21:55:13.2	-3.14	119.42.00	10	3	M	Sulawesi, Indonesia
05/04/2013	07:51:10.7	-5.79	119.73	10	02.04	MLv	Sulawesi, Indonesia
12/04/2013	12:07:17.9	-3.88	119	10	03.03	M	Sulawesi, Indonesia
25/05/2013	20:33:11.9	-4.66	119.11.00	10	02.07	MLv	Sulawesi, Indonesia
13/06/2013	10:04:03.3	-5.17	119.94	10	02.08	MLv	Sulawesi, Indonesia
26/06/2013	18:46:50.7	-4.15	119.27.00	10	02.05	MLv	Sulawesi, Indonesia
21/07/2013	16:59:46.5	-3.01	119.53.00	10	02.03	M	Sulawesi, Indonesia
22/07/2013	04:26:44.6	-3	119.78	10	02.08	MLv	Sulawesi, Indonesia
29/07/2013	00:53:23.2	-3.02	119.53.00	10	02.05	MLv	Sulawesi, Indonesia
06/08/2013	13:06:06.8	-3.85	119.03.00	10	02.04	M	Sulawesi, Indonesia
09/09/2013	07:53:21.4	-3.87	119.06.00	10	03.03	MLv	Sulawesi, Indonesia
14/09/2013	09:22:36.5	-3.95	119.39.00	10	02.01	MLv	Sulawesi, Indonesia
29/09/2013	05:25:29.4	-3.88	119.04.00	10	3	MLv	Sulawesi, Indonesia
03/10/2013	10:14:20.5	-3.75	119.48.00	10	02.06	MLv	Sulawesi, Indonesia
05/10/2013	02:40:47.1	-3.87	119.02.00	10	02.08	MLv	Sulawesi, Indonesia
04/11/2013	23:42:25.6	-3.8	119.38.00	13	02.02	MLv	Sulawesi, Indonesia
20/11/2013	01:02:38.2	-3.71	119.16.00	16	02.02	MLv	Sulawesi, Indonesia
23/11/2013	10:27:09.3	-3.87	119.03.00	10	02.05	MLv	Sulawesi, Indonesia
09/04/2014	07:36:36.6	-4.93	119.74	10	01.07	MLv	Sulawesi, Indonesia
11/04/2014	15:37:14.9	-3.76	119.28.00	10	04.06	MLv	Sulawesi, Indonesia
11/04/2014	17:43:45.6	-3.65	119.35.00	11	02.09	MLv	Sulawesi, Indonesia
12/04/2014	07:24:52.7	-3.79	119.03.00	10	03.04	MLv	Sulawesi, Indonesia
26/04/2014	20:37:10.7	-3.66	119.35.00	24	02.04	MLv	Sulawesi, Indonesia
26/04/2014	20:38:40.1	-3.64	119.22.00	15	02.07	MLv	Sulawesi, Indonesia
09/07/2014	16:27:30.9	-4.17	119.37.00	10	03.07	MLv	Sulawesi, Indonesia
18/07/2014	17:01:30.7	-3.77	119.23.00	12	02.05	MLv	Sulawesi, Indonesia
10/11/2014	02:42:02.1	-5.81	119.85	10	02.05	MLv	Sulawesi, Indonesia
19/11/2014	22:58:40.2	-3.63	119.04.00	12	02.04	MLv	Sulawesi, Indonesia

01/12/2014	02.02.31	-4,67	120.04.00	10	03.06	MLv	Sulawesi, Indonesia
02/12/2014	19:37:35.8	-3.95	120	16	02.07	MLv	Sulawesi, Indonesia
24/12/2014	20.51.51	-4,58	120.05.00	10	04.03	MLv	Sulawesi, Indonesia
14/01/2015	07:57:43.5	-3.94	119.49.00	10	02.06	MLv	Sulawesi, Indonesia
22/01/2015	06:44:11.7	-5.44	119.35.00	10	02.07	MLv	Sulawesi, Indonesia
01/02/2015	18:22:54.4	-4.5	119.61	10	02.02	MLv	Sulawesi, Indonesia
13/02/2015	14:05:07.4	-5.73	119.27.00	62	03.06	MLv	Sulawesi, Indonesia
17/02/2015	08:39:03.2	-3.11	119.38.00	24	03.04	MLv	Sulawesi, Indonesia
19/02/2015	00:50:31.6	-3.72	119.17.00	10	03.08	MLv	Sulawesi, Indonesia
31/03/2015	04:20:19.2	-3.09	119.52.00	2	3	MLv	Sulawesi, Indonesia
03/04/2015	19:18:03.4	-3	119.53.00	11	03.01	MLv	Sulawesi, Indonesia
09/04/2015	05:12:29.6	-3	119.56.00	10	02.01	MLv	Sulawesi, Indonesia
10/04/2015	17:23:56.6	-3.76	119.74	10	02.02	MLv	Sulawesi, Indonesia
12/04/2015	23:06:37.4	-3.02	119.56.00	10	02.03	MLv	Sulawesi, Indonesia
16/04/2015	09:10:24.9	-4.81	119.44.00	10	3	MLv	Sulawesi, Indonesia
19/04/2015	09:33:01.1	-4	119.35.00	10	03.05	MLv	Sulawesi, Indonesia
05/05/2015	14:45:56.9	-3.75	119.71	10	3	MLv	Sulawesi, Indonesia
16/06/2015	04:34:44.9	-3.98	119.08.00	10	02.06	MLv	Sulawesi, Indonesia
16/07/2015	01:07:44.5	-4.45	119.68	10	02.04	MLv	Sulawesi, Indonesia
11/08/2015	17:11:43.2	-3.84	119.42.00	20	02.05	MLv	Sulawesi, Indonesia
19/09/2015	04:18:53.9	-3.66	119.13.00	10	02.07	MLv	Sulawesi, Indonesia
20/09/2015	19:07:04.6	-3.3	119.32.00	10	02.01	MLv	Sulawesi, Indonesia
27/09/2015	15:07:11.3	-3.78	119.49.00	10	02.01	MLv	Sulawesi, Indonesia
11/10/2015	15:26:37.3	-3.99	119.05.00	10	02.09	MLv	Sulawesi, Indonesia
28/10/2015	16:05:10.1	-4	119.08.00	11	03.08	MLv	Sulawesi, Indonesia
25/11/2015	10:55:29.4	-4.01	119.06.00	10	02.05	MLv	Sulawesi, Indonesia
29/11/2015	17:34:33.3	-3.89	119.05.00	10	01.09	MLv	Sulawesi, Indonesia
02/12/2015	12:08:43.6	-3.97	119.09.00	10	03.05	MLv	Sulawesi, Indonesia
22/12/2015	21:24:21.6	-5.34	119.02.00	10	02.04	MLv	Sulawesi, Indonesia
13/01/2016	15:10:10.6	-4.01	119.05.00	10	02.03	MLv	Sulawesi, Indonesia
21/02/2016	16:29:45.6	-3.87	119.31.00	18	02.03	MLv	Sulawesi, Indonesia
08/03/2016	11:36:23.9	-4.7	119.58.00	10	02.08	MLv	Sulawesi, Indonesia
18/03/2016	09:50:50.2	-3.01	119.97	22	02.06	MLv	Sulawesi, Indonesia
28/04/2016	05:51:00.2	-3.9	119.96	19	02.08	MLv	Sulawesi, Indonesia
12/05/2016	17.31.53	-5,07	120.08.00	10	03.00	MLv	Sulawesi, Indonesia
22/06/2016	06:26:38.8	-3.62	119.84	11	02.06	MLv	Sulawesi, Indonesia
10/07/2016	15:52:38.3	-4.01	119.07.00	16	02.03	MLv	Sulawesi, Indonesia
15/07/2016	00.44.09	-5,85	120.61	17	03.04	MLv	Sulawesi, Indonesia
10/08/2016	15:17:31.3	-4.11	119.02.00	10	02.04	MLv	Sulawesi, Indonesia
26/08/2016	08:46:47.2	-3.06	119.62	10	03.03	MLv	Sulawesi, Indonesia
29/08/2016	15:47:33.9	-4.01	119.06.00	10	03.01	MLv	Sulawesi, Indonesia
13/09/2016	12:54:24.9	-3.33	119.59.00	11	02.03	MLv	Sulawesi, Indonesia
30/09/2016	08:58:25.5	-3.07	119.61	24	02.04	MLv	Sulawesi, Indonesia
03/10/2016	02:32:08.1	-3.02	119.79	10	03.04	MLv	Sulawesi, Indonesia
12/10/2016	01:35:52.3	-3.81	119.35.00	18	02.05	MLv	Sulawesi, Indonesia
18/10/2016	05:32:55.2	-3.01	119.77	11	4	MLv	Sulawesi, Indonesia
31/10/2016	10.18.13	-4,67	120.04.00	10	4,06	MLv	Sulawesi, Indonesia
04/12/2016	15:15:42.3	-3.4	119.74	10	03.01	MLv	Sulawesi, Indonesia
12/12/2016	18:49:16.1	-3	119.43.00	10	02.04	MLv	Sulawesi, Indonesia
26/07/2017	13.23.52	-3,61	120.70	23	03.08	MLv	Sulawesi, Indonesia
31/01/2017	17:10:45.3	-4.07	119.79	10	02.09	MLv	Sulawesi, Indonesia

22/02/2017	16:40:37.5	-4.5	119.03.00	10	02.05	MLv	Sulawesi, Indonesia
23/04/2017	14:05:55.2	-4.06	119.66	10	02.06	MLv	Sulawesi, Indonesia
25/05/2017	17:05:25.9	-3.15	119.64	10	03.09	MLv	Sulawesi, Indonesia
30/08/2017	12:10:42.3	-4.15	119.31.00	14	03.02	MLv	Sulawesi, Indonesia
20/09/2017	18:56:21.1	-3.67	119.33.00	16	02.02	MLv	Sulawesi, Indonesia
01/12/2017	06:13:14.9	-3.53	119.78	10	02.02	MLv	Sulawesi, Indonesia
11/12/2017	17.04.26	-5,21	120.17.00	10	03.08	MLv	Sulawesi, Indonesia
25/12/2017	16:27:46.1	-3.56	119.93	10	02.03	MLv	Sulawesi, Indonesia
25/12/2017	16:44:06.5	-3.56	119.79	10	02.03	MLv	Sulawesi, Indonesia
25/12/2017	16:48:17.8	-3.54	119.73	10	02.06	MLv	Sulawesi, Indonesia



UNIVERSITAS ISLAM NEGERI
ALAUDDIN
 M A K A S S A R



LAMPIRAN 2

STASIUN PENCATAT GEMPA PADA KOORDINAT

-1,29⁰-7,21⁰ LS – 116,82⁰-126,6⁰ BT

UNIVERSITAS ISLAM NEGERI

ALAUDDIN

M A K A S S A R

No.	Networ k	Stasiun	Latitud e	longitud e	Elevasi	O/R	Streams
1	IA	BBSI	-5,49	122,56	96,00	0,00	BHE BHN BHZ
2	IA	BBSI	-5,49	122,57	96,00	0,00	BHE BHN BHZ
3	IA	BKSI	-5,32	120,12	608,00	0,00	BHE BHN BHZ
4	IA	BNSI	-4,40	120,11	252,00	0,00	BHE BHN BHZ
5	IA	BSSI	-6,14	120,49	114,13	0,00	BHE BHN BHZ
6	IA	KDI	-3,96	122,62	55,00	0,00	BHE BHN BHZ
7	IA	KKSI	-4,17	121,65	92,00	0,00	BHE BHN BHZ
8	IA	MJSI	-3,50	118,91	0,00	0,00	BHE BHN BHZ
9	IA	MKS	-5,22	119,47	89,53	0,00	BHE BHN BHZ
10	IA	MMSI	-2,69	118,91	221,25	0,00	BHE BHN BHZ
11	IA	MSSI	-2,55	120,32	0,00	0,00	BHE BHN BHZ
12	IA	PMSI	-3,50	118,91	306,80	0,00	BHE BHN BHZ
13	IA	SKSI	-2,53	121,21	0,00	0,00	BHE BHN BHZ
14	IA	SPSI	-3,96	119,77	138,00	0,00	BHE BHN BHZ
15	IA	TTSI	-3,05	119,82	0,00	0,00	BHE BHN BHZ
16	II	KAPI	-5,01	119,75	300,00	0,00	BH1 BH2 BHE BHN BHZ



LAMPIRAN 3

DATA GEMPA MAGNITUDO 3-5 SR PADA PERIODE 2008-2017

UNIVERSITAS ISLAM NEGERI
ALAUDDIN
M A K A S S A R

Origin Time	Mag.	Type	Lat.	Long	Depth	Centroid						Region
						Strike1	Dip1	Rake1	Strike1	Dip1	Rake1	
2008-03-03t21:00:03	04.05	Mb	-3.25	119.61	10.00	6	32	102	172	59	83	Sulawesi, Indonesia
2009-05-12t12:36:47	03.02	Mlv	-3.40	119.47.00	03.00	85	68	-113	313	31	-47	Sulawesi, Indonesia
2010-03-17t05:27:23	05.00	Mb	-6.08	120.61	27.00.00	323	69	-117	198	34	-40	Flores Sea
2010-07-22t21:10:01	04.05	Mb	-3.96	119.77	13.00	90	74	-172	358	83	-16	Sulawesi, Indonesia
2010-07-30t15:53:32	04.01	Mb	-5.38	120.03.00	10.00	156	79	128	260	39	18	Sulawesi, Indonesia
2010-08-03t14:55:27	03.00	Mlv	-5.42	120.02.00	11.00	51	14	-48	188	80	-99	Sulawesi, Indonesia
2010-08-29t13:39:17	03.00	Mlv	-4.75	119.78	10.00	130	57	-86	303	33	-96	Sulawesi, Indonesia
2010-12-08t20:30:25	03.02	Mlv	-4.97	120.11.00	16.00	77	57	-14	175	78	-146	Sulawesi, Indonesia
2011-11-24t02:06:00	03.01	Mlv	-4.82	120.02.00	30.00.00	252	25	148	12	77	69	Sulawesi, Indonesia
2012-06-18t04:50:08	03.04	Mlv	-3.29	119.36.00	10.00	9	41	-151	256	71	-53	Sulawesi, Indonesia
2012-06-20t02:32:46	04.09	Mb	-4.95	120.17.00	10.00	74	16	-125	290	77	-80	Sulawesi, Indonesia
2012-12-02t03:04:40	04.04	Mb	-5.58	120.12.00	16.00	109	56	97	277	35	80	Sulawesi, Indonesia
2012-12-17t21:02:35	04.00	Mb	-6.11	120.73	35.00.00	293	14	-149	173	83	-78	Flores Sea
2012-12-18t08:27:05	04.08	Mb	-6.28	120.74	35.00.00	230	76	-41	332	50	-162	Flores Sea
2013-02-08t05:45:47	03.03	Mb	-3.92	120.00.00	35.00.00	350	58	78	193	34	109	Sulawesi, Indonesia
2014-12-01t02:02:31	03.06	Mlv	-4.67	120.04.00	10.00	27	57	89	209	33	92	Sulawesi, Indonesia
2014-12-24t20:51:51	04.03	Mb	-4.58	120.05.00	10.00	13	8	61	222	83	94	Sulawesi, Indonesia
2015-05-05t14:45:56	03.00	Mlv	-3.75	119.71	10.00	78	58	-123	308	45	-49	Sulawesi, Indonesia
2016-05-12t17:31:53.5	3	Mlv	-5.07	120.08.00	10	77	58	156	181	70	34	Sulawesi, Indonesia
2016-07-15t00:44:09.4	03.04	Mlv	-5.85	120.61	17	303	18	-141	176	79	-75	Sulawesi, Indonesia
2016-10-03t02:32:08.1	03.04	Mlv	-3.02	119.79	10	72	70	95	246	20	84	Sulawesi, Indonesia
2016-10-18t05:32:55.2	4	Mlv	-3.01	119.77	11	87	43	163	190	78	48	Sulawesi, Indonesia
2016-10-31t10:18:13.6	04.06	Mlv	-4.67	120.04.00	10	310	39	62	165	56	111	Sulawesi, Indonesia
2017-05-25t17:05:25,9	03.09	Mb	-3,15	119,64	10	131	54	122	264	47	54	Sulawesi, Indonesia
2017-12-11t17:04:26,1	03.08	Mb	-5,21	120,17	10	356	76	61	242	33	152	Sulawesi, Indonesia



LAMPIRAN 4

DATA HIPOSENTER DARI STASIUN SEISMIK USGS, IRIS, DAN GEOFON

UNIVERSITAS ISLAM NEGERI
ALAUDDIN
M A K A S S A R

Date Time	Latitude	Longitude	Depth	Magnitudo	Region	Stasiun Seismik
2008-03-03t21:00:05	-3,167	119,779	23,7	4,5	I	USGS
2010-07-22t21:10:01	-3,89	119,68	33	4,4	II	IRIS
2012-06-20t02:32:17	-4,99	120,12	10	4,5	III	GEOFON
2012-12-02t03:04:41	-5,60	120,22	10	4,1	IV	GEOFON
2012-12-18t08:27:06	-6,28	120,68	27	4,8	V	GEOFON



UNIVERSITAS ISLAM NEGERI
ALAUDDIN
M A K A S S A R



LAMPIRAN 5

ANALISIS DATA DENGAN ARCGIS UNTUK PEMBUATAN PETA SEISMISITAS

UNIVERSITAS ISLAM NEGERI
ALAUDDIN
M A K A S S A R



LAMPIRAN 6

ANALISIS DATA DENGAN SEISGRAM2K DAN AZMTAK
UNTUK DATA *CENTROID* DAN JENIS SESAR

UNIVERSITAS ISLAM NEGERI
ALAUDDIN
M A K A S S A R



LAMPIRAN 7

**ANALISIS DATA DENGAN MATLAB R2017a UNTUK ARAH DAN
BIDANG SESAR AKTIF BERDASARKAN METODE H-C**

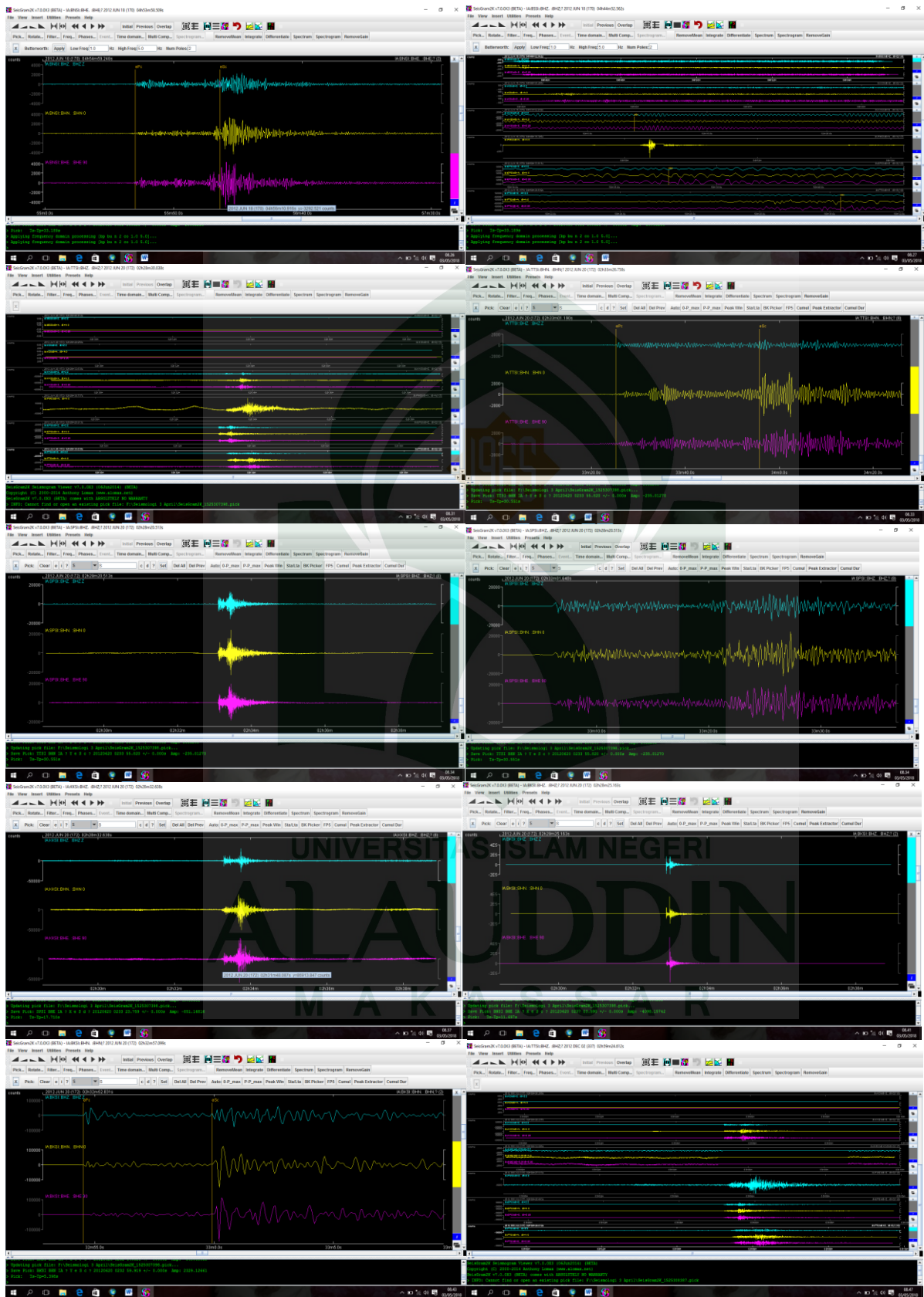
UNIVERSITAS ISLAM NEGERI
ALAUDDIN
M A K A S S A R

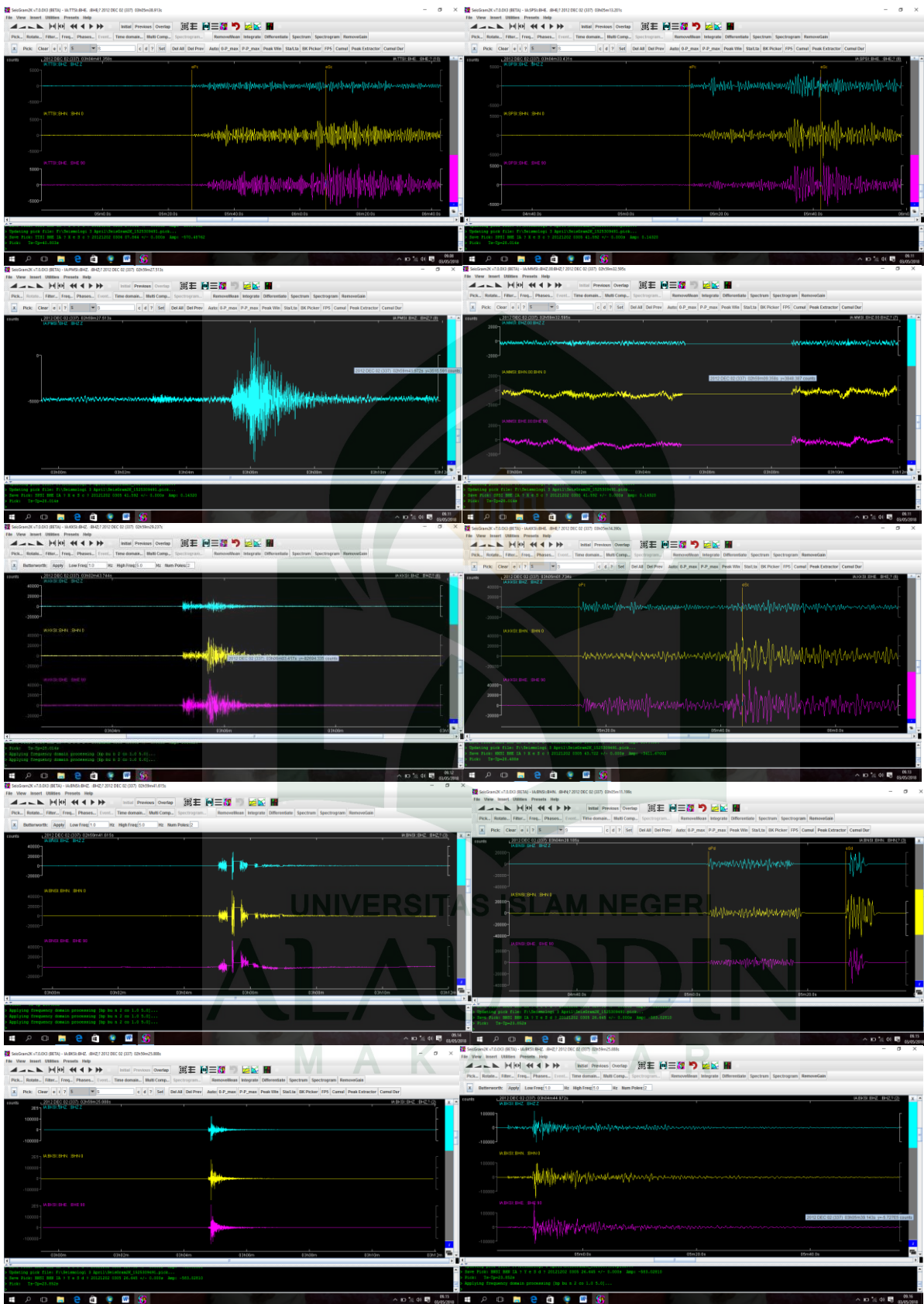


LAMPIRAN 8

HASIL *PICKING* GELOMBANG P MENGGUNAKAN *SOFTWARE* SEISGRAM2K

UNIVERSITAS ISLAM NEGERI
ALAUDDIN
M A K A S S A R



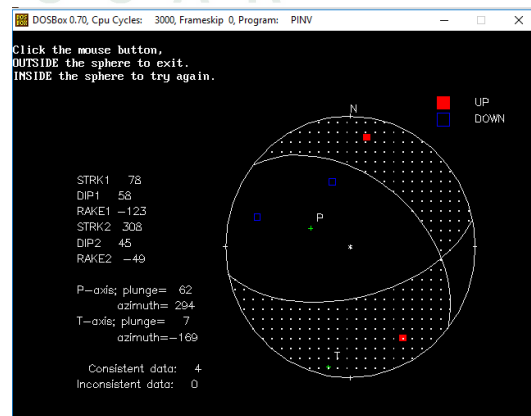
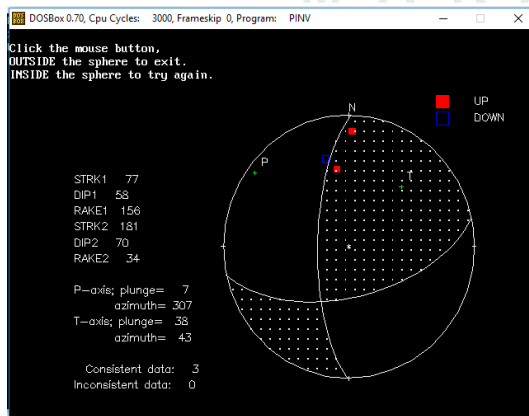
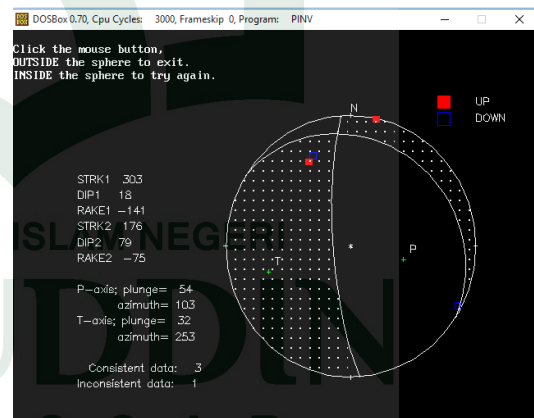
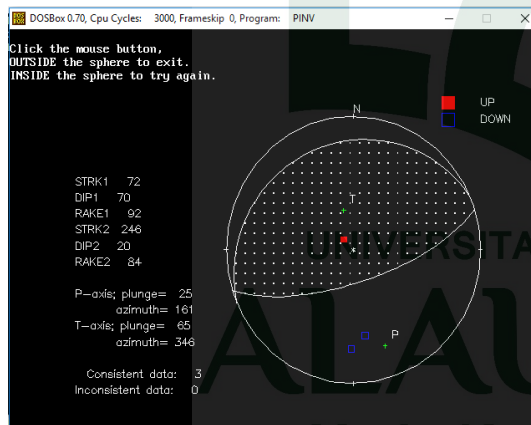
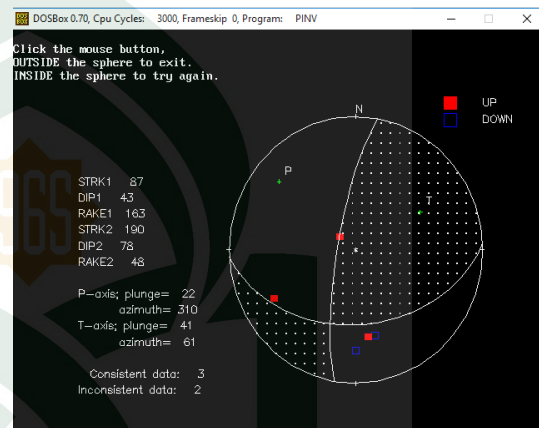
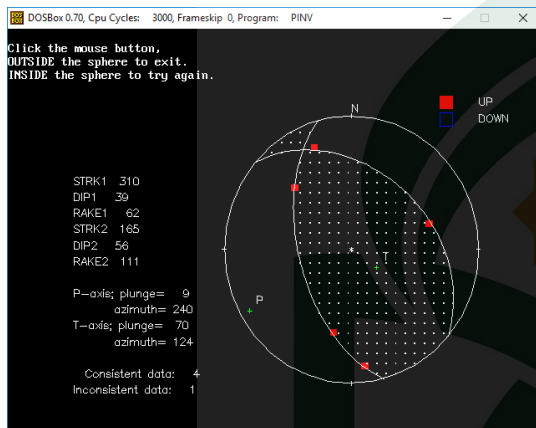
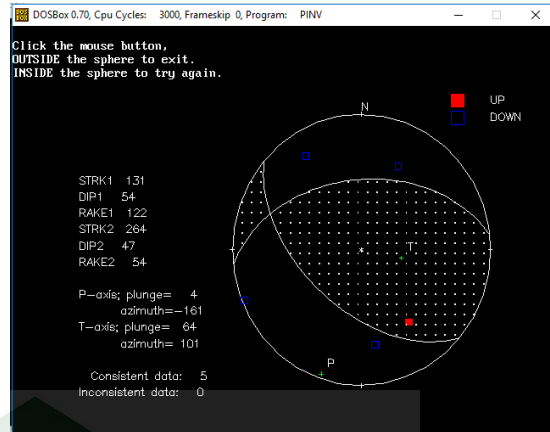
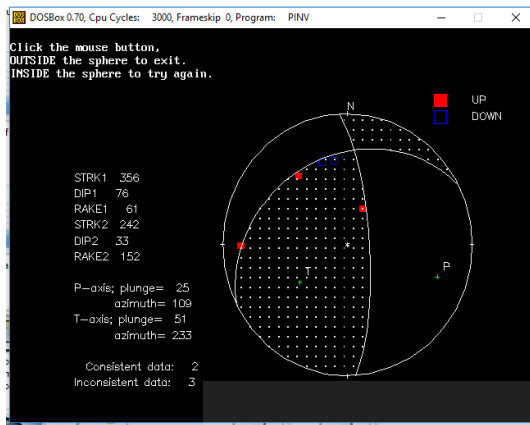


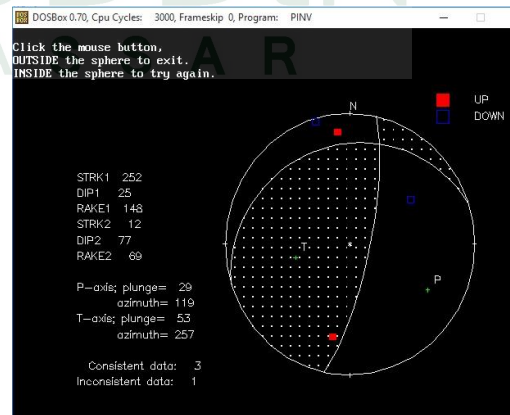
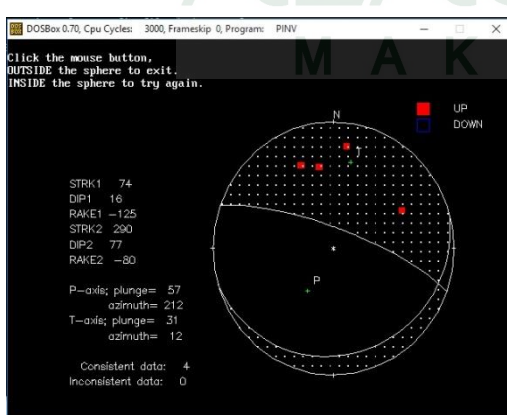
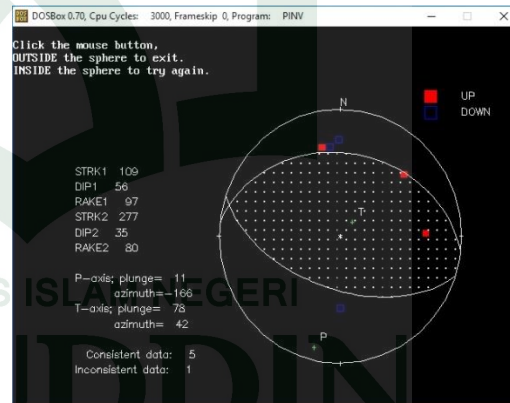
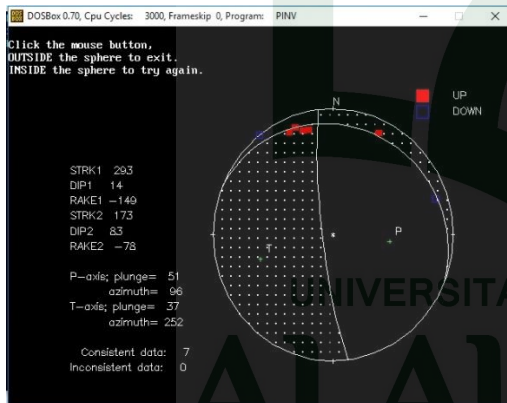
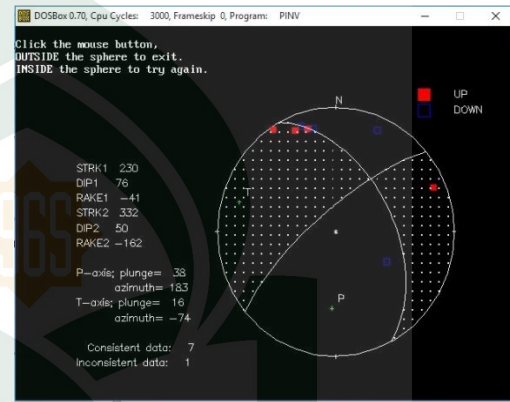
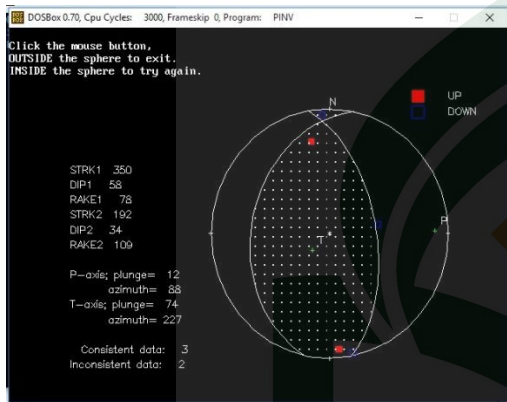
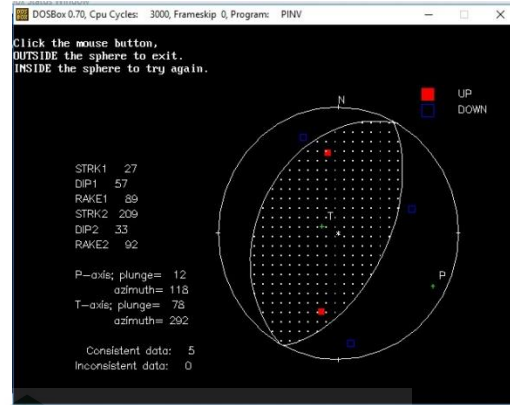
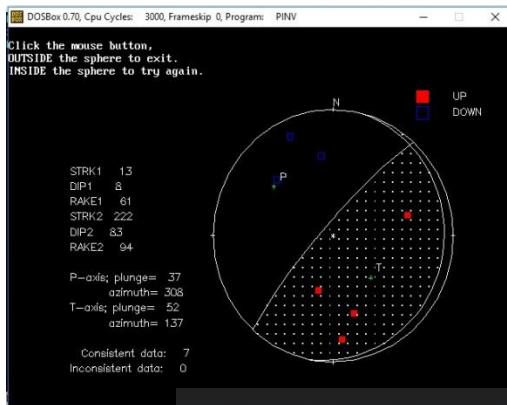


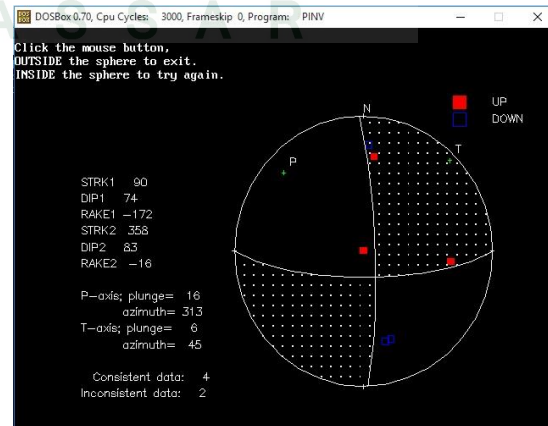
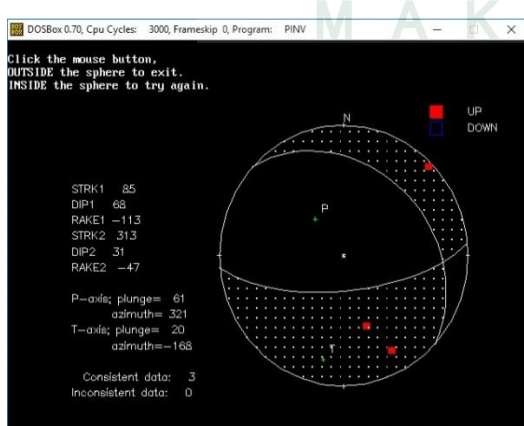
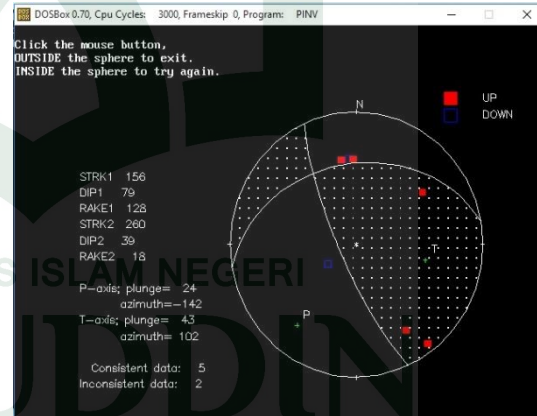
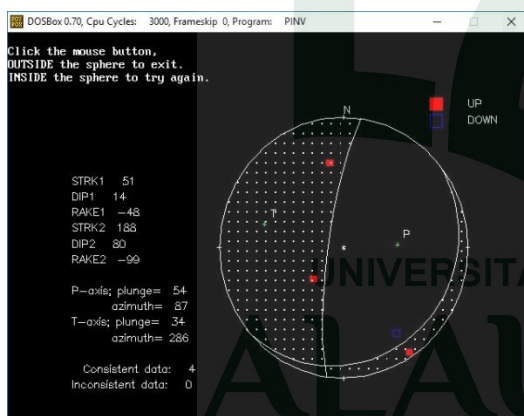
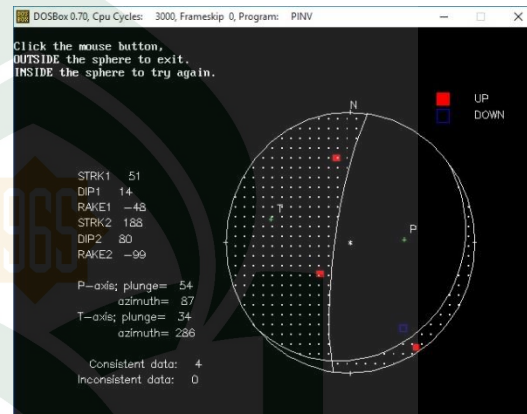
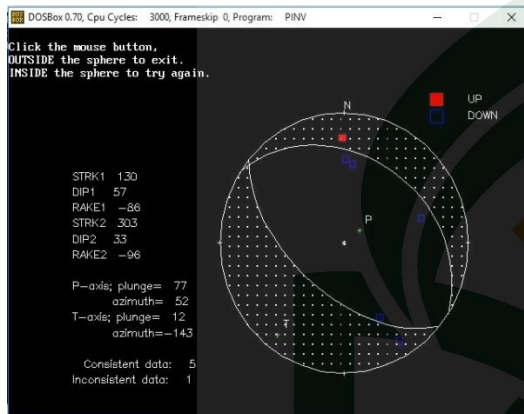
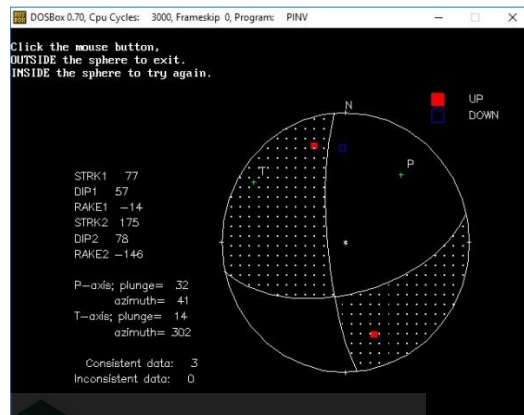
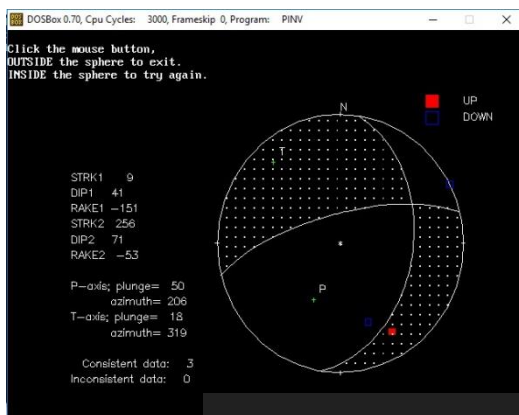
LAMPIRAN 9

HASIL PENGOLAHAN DARI *SOFTWARE* AZMTAK

UNIVERSITAS ISLAM NEGERI
ALAUDDIN
M A K A S S A R









SURAT KESEDIAAN MEMBIMBING SKRIPSI

Yang bertanda tangan di bawah ini :

Nama : RAHMANIAH, S.Si., M.Si.
NIP : 198002132009012006
Jabatan Fungsional : PEMBIMBING I

dengan ini menyatakan bersedia untuk membimbing Skripsi mahasiswa berikut :

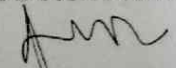
Nama : LORNA
NIM : 60400114041
Program Studi : FISIKA
Judul TA : IDENTIFIKASI SESAR DIWILAYAH SESAR WALANAE
SULAWESI SELATAN MENGGUNAKAN METODE
MEKANISME FOKUS (Periode 1997-2017)

Kesediaan membimbing tersebut termasuk di dalamnya adalah kesediaan untuk menyediakan waktu minimal dua kali perminggu untuk membimbing, yaitu :

No	Hari	Pukul	Tempat
1	Rabu	13:00 - 14:00	Jurnal
2			
3			

Demikianlah pernyataan ini dibuat dengan sebenarnya, agar maklum.

Samata, 13 NOVEMBER 2017
Calon Dosen Pembimbing I


RAHMANIAH, S.Si., M.Si.
NIP. 198002132009012006

Catatan :

- Surat kesediaan ini digunakan untuk pengusulan SK pembimbing ke Fakultas



SURAT KESEDIAAN MEMBIMBING SKRIPSI

Yang bertanda tangan di bawah ini :

Nama : AYUSARI WAHYUNI, S.Si, M.Sc.
NIDM : 20200989201
Jabatan Fungsional : PEMBIMBING 2

dengan ini menyatakan bersedia untuk membimbing Skripsi mahasiswa berikut :

Nama : LORNA
NIM : 60400114041
Program Studi : FISIKA
Judul TA : IDENTIFIKASI SESAR DI WILAYAH SESAR WALANAE
SULAWESI SELATAN MENGGUNAKAN METODE
MEKANISME FOKUS (Periode 1997-2017)

Kesediaan membimbing tersebut termasuk di dalamnya adalah kesediaan untuk menyediakan waktu minimal dua kali perminggu untuk membimbing, yaitu :

No	Hari	Pukul	Tempat
1	Selasa	11.00	
2	Rabu	13.00	
3			

Demikianlah pernyataan ini dibuat dengan sebenarnya, agar maklum.

Samata, 13 NOVEMBER 2017
Calon Dosen Pembimbing II

AYUSARI WAHYUNI, S.Si, M.Si

NIDM. 20200989201

Catatan :

- Surat kesediaan ini digunakan untuk pengusulan SK pembimbing ke Fakultas



KEPUTUSAN DEKAN FAKULTAS SAINS & TEKNOLOGI UIN ALAUDDIN MAKASSAR
NOMOR : 2861 TAHUN 2017

TENTANG
PEMBIMBING DALAM PENELITIAN DAN PENYUSUNAN SKRIPSI MAHASISWA JURUSAN FISIKA
FAKULTAS SAINS & TEKNOLOGI UIN ALAUDDIN MAKASSAR

DEKAN FAKULTAS SAINS & TEKNOLOGI UIN ALAUDDIN MAKASSAR

- Membaca : Surat Permohonan Jurusan FISIKA Fakultas Sains & Teknologi UIN Alauddin Makassar, Nama LORNA NIM : 60400114007 tertanggal 06 Desember 2017 untuk mendapatkan Pembimbing Skripsi dengan Judul : "Identifikasi Arah dan Jenis Sesar Aktif Di Wilayah Sulawesi Selatan Menggunakan Metode Hiposenter dan Centroid (H-C)"
- Menimbang : a. Bahwa untuk membantu penelitian dan penyusunan skripsi mahasiswa tersebut, dipandang perlu untuk menetapkan pembimbing dalam penelitian dan penyusunan skripsi mahasiswa tersebut diatas.
b. Bahwa mereka yang ditetapkan dalam surat keputusan ini dipandang cakap dan memenuhi syarat untuk disertai tugas sebagai pembimbing penyusunan skripsi mahasiswa tersebut diatas.
- Mengingat : 1. Undang-undang Nomor 20 Tahun 2003 Tentang Sistem Pendidikan Nasional;
2. Undang-undang Nomor 17 tahun 2003 Tentang Keuangan Negara;
3. Undang-undang Nomor 12 Tahun 2012 Tentang Pendidikan Tinggi;
4. Peraturan Menteri Agama RI No. 1 Tahun 2012 Tentang Perubahan Ketiga Atas Peraturan Menteri Agama Nomor 2 Tahun 2006 Tentang Mekanisme Pelaksanaan Pembayaran Atas Beban Anggaran Pendapatan dan Belanja Negara di lingkungan Kementerian Agama;
5. Peraturan Menteri Agama RI Nomor 3 Tahun 2018 Tentang Organisasi dan Tata Kerja UIN Alauddin Makassar;
6. Peraturan Menteri Agama RI. Nomor 20 Tahun 2014 jo Peraturan Menteri Agama Nomor 8 Tahun 2016 Tentang Statuta UIN Alauddin Makassar;
7. Keputusan Menteri Agama Nomor 289 Tahun 1993 jo Nomor 202 B tahun 1998 Tentang pemberian Kuasa dan Pendelegasian Wewenang Menandatangani Surat Keputusan;
8. Keputusan Menteri Keuangan Nomor: 330/KMK/05/ Tahun 2008 Tentang Penetapan UIN Alauddin Makassar pada Depag Sebagai Institusi Pemerintah yang Menerapkan Pengelolaan Badan Layanan Umum (BLU);
9. Keputusan Rektor UIN Alauddin Makassar No. 200 tahun 2016 Tentang Pedoman Edukasi UIN Alauddin Makassar.

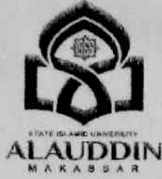
MEMUTUSKAN

- Pertama : Mengangkat/ Menunjuk saudara :
1. Rahmaniah, S.Si., M.Si. sebagai Pembimbing Pertama,
2. Ayusari Wahyuni, S.Si., M.Sc. sebagai Pembimbing Kedua.
- Kedua : Tugas Pembimbing dalam penelitian dan penyusunan skripsi mahasiswa adalah memeriksa draft skripsi dan naskah skripsi, memberi bimbingan, petunjuk-petunjuk, perbaikan mengenai materi, metode, bahasa dan kemampuan menguasai masalah,
- Ketiga : Segala biaya yang timbul akibat dikeluarkannya surat keputusan ini dibebankan kepada Anggaran Belanja Fakultas Sains & Teknologi UIN Alauddin Makassar,
- Keempat : Surat Keputusan ini mulai berlaku sejak tanggal ditetapkan dan apabila dikemudian hari terdapat kekeliruan didalamnya akan diperbaiki sebagaimana mestinya,
- Kelima : Surat Keputusan ini disampaikan kepada masing-masing yang bersangkutan untuk diketahui dan dilaksanakan dengan penuh tanggungjawab.

Ditetapkan di : Makassar
Pada tanggal : 06 Desember 2017



Dekan,
Prof. Dr. H. Arifuddin, M.Ag.
NIP. 19691205 199303 1 001



KEMENTERIAN AGAMA R.I.
UNIVERSITAS ISLAM NEGERI (UIN) ALAUDDIN MAKASSAR
FAKULTAS SAINS DAN TEKNOLOGI

JURUSAN FISIKA

Kantor: Kampus II Jl. Sultan Alauddin No. 36 Samata, Gowa

SURAT PERSETUJUAN SEMINAR PROPOSAL SKRIPSI

Kepada

Yth. Ketua Jurusan Fisika

Fakultas Sains dan Teknologi

UIN Alauddin Makassar

Assalamualaikumwr. Wb.

Setelah membaca, meneliti, memberikan petunjuk dan mengoreksi serta mengadakan perbaikan seperlunya, maka kami selaku pembimbing berpendapat bahwa proposal skripsi saudara :

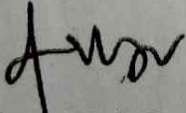
Nama : Lorna
NIM : 60400114041
Judul Proposal : Identifikasi Arah Dan Jenis Sesar Aktif Di Wilayah Sulawesi Bagian Selatan Menggunakan Metode Hiposenter Dan *Centroid* (H-C)

Sudah dapat diajukan kepada Jurusan Fisika Fak. Sains dan Teknologi untuk di seminarkan. Atas perhatiannya, kami ucapkan terimakasih.

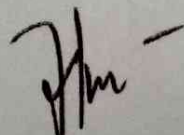
Samata,.....

Dosen Pembimbing I

Dosen Pembimbing II


Rahmahjah, S.Si., M.Si

NIP. 19800213 200901 2 001


Ayusari Wahyuni, S.Si., M.Sc

NIP. 20200989201



KEPUTUSAN DEKAN FAKULTAS SAINS & TEKNOLOGI
UIN ALAUDDIN MAKASSAR
NOMOR : 904 TAHUN 2018
TENTANG

PANITIA SEMINAR PROPOSAL PENELITIAN DAN PENYUSUNAN SKRIPSI MAHASISWA
JURUSAN FISIKA FAKULTAS SAINS & TEKNOLOGI
UIN ALAUDDIN MAKASSAR
DEKAN FAKULTAS SAINS & TEKNOLOGI UIN ALAUDDIN MAKASSAR

- Membaca : Surat Permohonan Ketua Jurusan Fakultas Sains & Teknologi UIN Alauddin Makassar, Lorna NIM 60400114041 tertanggal 29 Maret 2018, untuk melaksanakan seminar proposal.
- Menimbang : Bahwa untuk pelaksanaan dan kelancaran seminar proposal, perlu dibentuk panitia seminar proposal dan penyusunan skripsi.
- Mengingat :
1. Undang-undang No. 20 Tahun 2003 Tentang Sistem Pendidikan Nasional;
 2. Undang-undang Nomor 17 Tahun 2003 Tentang Keuangan Negara;
 3. Undang-undang Nomor 12 Tahun 2012 Tentang Pendidikan Tinggi;
 4. Peraturan Menteri Agama RI No. 1 Tahun 2012 Tentang Perubahan Ketiga atas Peraturan Menteri Agama No. 2 Tahun 2006 Tentang Mekanisme Pelaksanaan Pembayaran atas Beban Anggaran Pendapatan dan Belanja Negara di Lingkungan Kementerian Agama;
 5. Peraturan Menteri Agama RI Nomor 03 Tahun 2018 Nomor 85 Tahun 2013 tentang Organisasi dan Tata Kerja UIN Alauddin Makassar;
 6. Peraturan Menteri Agama RI. Nomor 20 Tahun 2014 jo Peraturan Menteri Agama Nomor 8 Tahun 2016 tentang Statuta UIN Alauddin Makassar;
 7. Keputusan Menteri Agama Nomor 289 Tahun 1993 jo Nomor 202 B Tahun 1998 tentang Pemberian Kuasa dan Pendelegasian Wewenang Menandatangani Surat Keputusan;
 8. Keputusan Menteri Keuangan No.330/05/2008 Tentang penetapan UIN Alauddin Makassar pada Dep. Agama sebagai Instansi Pemerintah yang Menerapkan Pengelolaan Badan Layanan Umum (BLU);
 9. Keputusan Rektor UIN Alauddin No. 200 tahun 2016 Tentang Pedoman Edukasi UIN Alauddin Makassar.

MEMUTUSKAN

Menetapkan
Pertama

Membentuk Panitia Seminar Proposal, Jurusan Fisika Fakultas Sains dan Teknologi UIN Alauddin Makassar dengan komposisi :

Ketua : Sahara, S.Si., M.Sc., Ph.D
Sekertaris : Ihsan, S.Pd., M.Si
Pembimbing 1 : Rahmaniah, S.Si., M.Si
Pembimbing 2 : Ayusari Wahyuni, S.Si., M.Sc.
Penguji 1 : Hernawati, S.Pd., M.Pfis
Penguji 2 : Dr.H.Muh. Sadik Sabry, M.Ag
Pelaksana : Risnawati Salam, S.Sos.

Kedua

1. Panitia bertugas melaksanakan seminar proposal, memberi bimbingan, petunjuk-petunjuk, perbaikan mengenai materi, metode, bahasa dan kemampuan menguasai masalah penyusunan skripsi
2. Biaya pelaksanaan seminar proposal penelitian dibebankan kepada anggaran DIPA UIN Alauddin Makassar
3. Apabila dikemudian hari ternyata terdapat kekeliruan dalam surat keputusan ini akan diubah dan diperbaiki sebagaimana mestinya

Surat Keputusan ini disampaikan kepada yang bersangkutan untuk diketahui dan dilaksanakan dengan penuh tanggungjawab.



Ditetapkan di : Makassar
pada tanggal : 29 Maret 2018

Dekan

Prof. Dr. H. Anifuddin, M. Ag.
NIP. 19691205199331001



KEMENTERIAN AGAMA
UNIVERSITAS ISLAM NEGERI ALAUDDIN MAKASSAR
FAKULTAS SAINS DAN TEKNOLOGI

Kampus I : Jl. Sultan Alauddin No. 63 Makassar ■ (0411) 868720, Fax. (0411) 864923
Kampus II : Jl. H. M. Yasin Limpo No.36, Romangpolong-Gowa . ■ (0411) 841879, Fax. (0411) 8221400

Nomor : 1390 /Un.06/FST/PP.00.9/03/2018
Sifat : Penting
Lamp : -
Hal : Undangan Seminar Proposal Skripsi

Samata Gowa, 29 Maret 2018

Kepada Yth.
Bapak/Ibu Dosen /Mahasiswa (i)
Di -
Makassar

Assalamu Alaikum Wr. Wb.

Dengan hormat, kami mengundang Bapak/Ibu/Mahasiswa (i) untuk menghadiri Seminar Proposal Skripsi Mahasiswa :

Nama : Lorna
NIM : 60400114041
Jurusan : Fisika
Judul Skripsi : "Identifikasi Arah dan Jenis Sesar Aktif di Wilayah Sulawesi Bagian Selatan Menggunakan Metode Hiposenter dan Centroid (H-C)"

Yang Insya Allah akan dilaksanakan pada :
Hari/Tanggal : Kamis/ 05 April 2018
Waktu : 09.00-10.00 Wita
Tempat : Fakultas Sainstek UIN Alauddin Makassar

Demikian atas perhatian dan kehadirannya diucapkan terima kasih.



Wassalam
Dekan

Prof. Dr. H. Arifuddin, M. Ag.
NIP. 19691205 19933 1 001

Tembusan
Mahasiswa Ybs.

SURAT PERSETUJUAN SEMINAR HASIL SKRIPSI

Kepada

YTH. Ketua Jurusan Fisika
Fakultas Sains dan Teknologi
UIN Alauddin Makassar

Assalamualaikum Wr. Wb

Setelah membaca, meneliti, memberikan petunjuk dan mengoreksi serta mengadakan perbaikan seperlunya, maka kami selaku pembimbing berpendapat bahwa skripsi saudara :

Nama : LORNA

Nim : 60400114041

Judul : **Identifikasi** Arah dan Jenis Sesar Aktif di Wilayah Sulawesi Selatan menggunakan Metode Hiposenter dan Centroid (H-C)

Sudah dapat diajukan kepada jurusan Fisika Fakultas Sains dan Teknologi untuk diseminarkan. Atas perhatiannya kami ucapkan terima kasih

Samata, Juli 2018

Dosen Pembimbing I

RAHMANIAH, S.Si., M.Si
NIP: 19800213 200901 2 001

Dosen Pembimbing II

AYUSARI WAHYUNI, S.Si., M.Sc
NIDN: 20200280 201

KEPUTUSAN DEKAN FAKULTAS SAINS & TEKNOLOGI
UIN ALAUDDIN MAKASSAR
NOMOR : 1434 TAHUN 2018

TENTANG

PANITIA UJIAN KUALIFIKASI HASIL PENELITIAN DALAM PENYUSUNAN SKRIPSI MAHASISWA
SAINS & TEKNOLOGI UIN ALAUDDIN MAKASSAR

DEKAN FAKULTAS SAINS & TEKNOLOGI UIN ALAUDDIN MAKASSAR

- Membaca : Surat Permohonan LORNA, NIM 60400114041, tertanggal 18 Juli 2018, untuk melaksanakan seminar Hasil.
- Menimbang : Bahwa untuk pelaksanaan dan kelancaran seminar draft/hasil, perlu dibentuk panitia seminar Hasil dan penyusunan skripsi
- Mengingat : 1. Undang-Undang No. 20 Tahun 2003 tentang Sistem Pendidikan Nasional;
2. Undang-Undang Nomor 17 Tahun 2003 tentang Keuangan Negara;
3. Undang-Undang Nomor 12 Tahun 2012 tentang Pendidikan Tinggi;
4. Peraturan Menteri Agama RI No.1 Tahun 2012 tentang Perubahan ketiga atas Peraturan Menteri Agama Nomor 2 Tahun 2006 tentang Mekanisme Pelaksanaan Pembayaran atas Beban Anggaran Pendapatan dan Belanja Negara di Lingkungan Kementerian Agama;
5. Peraturan Menteri Agama RI Nomor 3 Tahun 2018 tentang Organisasi dan Tata Kerja UIN Alauddin Makassar;
6. Peraturan Menteri Agama RI Nomor 20 Tahun 2014 jo Peraturan Menteri Agama Nomor 8 Tahun 2016 tentang Statuta UIN Alauddin Makassar;
7. Keputusan Menteri Agama Nomor 289 Tahun 1993 jo Nomor 202 B Tahun 1998 tentang Pemberian Kuasa dan Pendelegasian Wewenang Menandatangani Surat Keputusan;
8. Keputusan Menteri Keuangan No.330/05/2008 tentang penetapan UIN Alauddin Makassar pada Dep.Agama sebagai instansi Pemerintah yang Menerapkan Pengelolaan Badan Layanan Umum (BLU);
9. Keputusan Rektor UIN Alauddin No.200 tahun 2016 tentang Pedoman Edukasi UIN Alauddin Makassar;

MEMUTUSKAN

Menetapkan Pertama : Membentuk Dewan Penguji Seminar Hasil, Jurusan Fisika Fakultas Sains dan Teknologi UIN Alauddin Makassar dengan komposisi :

Ketua : Sahara, S.Si., M.Si., Ph.D.
Sekertaris : Ihsan, S.Pd., M.Si.
Pembimbing 1 : Rahmaniah, S.Si., M.Si.
Pembimbing 2 : Ayusari Wahyuni, S.Si., M.Sc.
Penguji 1 : Hernawati, S.Pd., M.Plis.
Penguji 2 : Dr.H.Muh.Sadik Sabry, M.Ag.
Pelaksana : Risnawati Salam, S.Sos.

Kedua : 1. Panitia bertugas melaksanakan seminar draft/hasil, memberi bimbingan, petunjuk-petunjuk, perbaikan mengenai materi, metode, bahasa dan kemampuan menguasai masalah penyusunan skripsi
2. Biaya pelaksanaan seminar draft penelitian dibebankan kepada anggaran Fakultas Sains dan Teknologi UIN Alauddin Makassar
3. Apabila dikemudian hari ternyata terdapat kekeliruan dalam surat keputusan ini akan diubah dan diperbaiki sebagaimana mestinya

Surat Keputusan ini disampaikan kepada yang bersangkutan untuk diketahui dan dilaksanakan dengan penuh tanggungjawab.

Ditetapkan di : Makassar
Pada tanggal : 18 Juli 2018



Dekan
Kedua Nomor : B.2756/Un.06/F ST/KP.07.6/07/2018
Tanggal : 16 Juli 2018

M. Thahir Maloko, M.Hi.
7961231 199503 1 006



KEPUTUSAN DEKAN FAKULTAS SAINS & TEKNOLOGI
UIN ALAUDDIN MAKASSAR
NOMOR : 1495 TAHUN 2018
TENTANG

PANITIA UJIAN KOMPREHENSIF
JURUSAN FISIKA FAKULTAS SAINS DAN TEKNOLOGI

DEKAN FAKULTAS SAINS & TEKNOLOGI UIN ALAUDDIN MAKASSAR

- Membaca : Surat permohonan Ujian Komprehensif : LORNA, NIM: 60400114041
- Menimbang : Bahwa untuk pelaksanaan dan kelancaran ujian komprehensif perlu dibentuk panitia ujian
- Mengingat :
1. Undang-Undang No. 20 Tahun 2003 tentang Sistem Pendidikan Nasional;
 2. Undang-Undang Nomor 17 Tahun 2003 tentang Keuangan Negara;
 3. Undang-Undang Nomor 12 Tahun 2012 tentang Pendidikan Tinggi;
 4. Peraturan Menteri Agama RI No.1 Tahun 2012 tentang Perubahan ketiga atas Peraturan Menteri Agama Nomor 2 Tahun 2006 tentang Mekanisme Pelaksanaan Pembayaran atas Beban Anggaran Pendapatan dan Belanja Negara di Lingkungan Kementerian Agama;
 5. Peraturan Menteri Agama RI Nomor 3 Tahun 2018 tentang Organisasi dan Tata Kerja UIN Alauddin Makassar;
 6. Peraturan Menteri Agama RI. Nomor 20 Tahun 2014 jo Peraturan Menteri Agama Nomor 8 Tahun 2016 tentang Statuta UIN Alauddin Makassar;
 7. Keputusan Menteri Agama Nomor: 289 Tahun 1993 jo Nomor: 202 B Tahun 1998 tentang Pemberian Kuasa dan Pendelegasian Wewenang Menandatangani Surat Keputusan;
 8. Keputusan Menteri Keuangan No.330/05/2008 tentang penetapan UIN Alauddin Makassar pada Dep.Agama sebagai Instansi Pemerintah yang Menerapkan Pengelolaan Badan Layanan Umum (BLU);
 9. Keputusan Rektor UIN Alauddin No.200 tahun 2016 tentang Pedoman Edukasi UIN Alauddin Makassar;

MEMUTUSKAN

- Menetapkan :
1. Membentuk Panitia Ujian Komprehensif, Jurusan Fisika Fakultas Sains dan Teknologi UIN Alauddin Makassar dengan komposisi:
Ketua : Dr.Hj.Wasilah,S.T., M.T.
Sekertaris : Nurman Najib,S.Ag., M.M.
Penguji 1 : Dr.Muh.Sadik Sabry,M.Ag.
Penguji 2 : Rahmaniah,S.Si., M.Si.
Penguji 3 : Ayusari Wahyuni, S.Si., M.Sc.
Pelaksana : Agusdin, S.Sos.
 2. Panitia bertugas menyiapkan perlengkapan administrasi dan melaksanakan ujian
 3. Biaya pelaksanaan ujian dibebankan kepada anggaran Fakultas Sains dan Teknologi UIN Alauddin Makassar.
 4. Tugas Panitia dianggap selesai setelah seluruh rangkaian kegiatan ujian berakhir.
 5. Apabila dikemudian hari ternyata terdapat kekeliruan dalam surat keputusan ini akan diubah dan diperbaiki sebagaimana mestinya.

Surat keputusan ini disampaikan kepada yang bersangkutan untuk diketahui dan dilaksanakan dengan penuh rasa tanggung jawab.

Ditetapkan di : Makassar
Pada tanggal : 23 Juli 2018



Dekan

Prof. Dr. H. Arifuddin, M.Ag.
NIP. 19691205 199303 1 001

SURAT PERSETUJUAN UJIAN MUNAQASYAH

Kepada

YTH. Ketua Jurusan Fisika
Fakultas Sains dan Teknologi
UIN Alauddin Makassar

Assalamualaikum Wr. Wb

Setelah membaca, meneliti, memberikan petunjuk dan mengoreksi serta mengadakan perbaikan seperlunya, maka kami selaku pembimbing berpendapat bahwa skripsi saudara :

Nama : LORNA

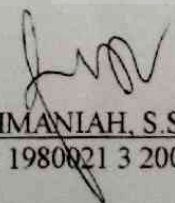
Nim : 60400114041

Judul : Identifikasi Jenis Dan Arah Sesar Aktif Di Wilayah Sulawesi Selatan Menggunakan Metode Hiposenter Dan Centroid (H-C)

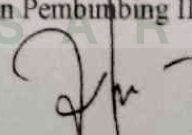
Sudah dapat diajukan kepada jurusan Fisika Fakultas Sains dan Teknologi untuk diseminarkan. Atas perhatiannya kami ucapkan terima kasih.

Samata, 30 Juli 2018

Dosen Pembimbing I


RAHMANIAH, S.Si., M.Si
NIP: 1980021 3 200901 2 001

Dosen Pembimbing II


AYUSARI WAHYUNI, S.Si., M.Sc
NIDN: 20200989201



KEPUTUSAN DEKAN FAKULTAS SAINS & TEKNOLOGI
UIN ALAUDDIN MAKASSAR
NOMOR : 1678 TAHUN 2018

TENTANG

PANITIA UJIAN MUNAQASYAH
JURUSAN FISIKA FAKULTAS SAINS & TEKNOLOGI

DEKAN FAKULTAS SAINS & TEKNOLOGI UIN ALAUDDIN MAKASSAR

- Membaca : Surat permohonan : LORNA
NIM : 60400114041
Tanggal : 01 Agustus 2018
Mahasiswa Jurusan : FISIKA
Untuk Ujian Skripsi/ Munaqasyah yang berjudul " Identifikasi Arah dan Jenis Sesar Aktif di Wilayah Sulawesi Selatan Menggunakan Metode Hiposenter dan Centroid (H-C)"
- Menimbang : 1. Bahwa saudara tersebut diatas telah memenuhi persyaratan Ujian Skripsi/ Munaqasyah
2. Bahwa untuk pelaksanaan dan kelancaran ujian/ Munaqasyah perlu dibentuk panitia ujian.
- Mengingat : 1. Undang-Undang No. 20 Tahun 2003 tentang Sistem Pendidikan Nasional;
2. Undang-Undang Nomor 17 Tahun 2003 tentang Keuangan Negara;
3. Undang-Undang Nomor 12 Tahun 2012 tentang Pendidikan Tinggi;
4. Peraturan Menteri Agama RI No.1 Tahun 2012 tentang Perubahan ketiga atas Peraturan Menteri Agama Nomor 2 Tahun 2006 tentang Mekanisme Pelaksanaan Pembayaran atas Beban Anggaran Pendapatan dan Belanja Negara di Lingkungan Kementerian Agama;
5. Peraturan Menteri Agama RI Nomor 3 Tahun 2018 tentang Organisasi dan Tata Kerja UIN Alauddin Makassar;
6. Peraturan Menteri Agama RI. Nomor 20 Tahun 2014 jo Peraturan Menteri Agama Nomor 8 Tahun 2016 tentang Statuta UIN Alauddin Makassar;
7. Keputusan Menteri Agama Nomor 289 Tahun 1993 jo Nomor 202 B Tahun 1998 tentang Pemberian Kuasa dan Pendelegasian Wewenang Menandatangani Surat Keputusan
8. Keputusan Menteri Keuangan No.330/05/2008 tentang penetapan UIN Alauddin Makassar pada Dep.Agama sebagai Instansi Pemerintah yang Menerapkan Pengelolaan Badan Layanan Umum (BLU)
9. Keputusan Rektor UIN Alauddin No.200 tahun 2016 tentang Pedoman Edukasi UIN Alauddin Makassar

MEMUTUSKAN

- Menetapkan : 1. Membentuk Dewan Penguji Skripsi/ Munaqasyah Fakultas Sains dan Teknologi UIN Alauddin Makassar dengan komposisi :
- Ketua : Prof.Dr.H.Arifuddin,M.Ag.
Sekertaris : Ihsan, S.Pd.,M.Si.
Pembimbing 1 : Rahmaniah, S. Si., M.Si
Pembimbing 2 : Ayusari Wahyuni, S.Si., M.Sc.
Penguji 1 : Hernawati, S.Pd., M.Pfis.
Penguji 2 : Dr.H.Muh.Sadik Sabry, M.Ag.
Pelaksana : Hidayat, S.Kom.
2. Panitia bertugas melaksanakan ujian Skripsi/Munaqasyah bagi saudara yang namanya tersebut diatas.
3. Biaya pelaksanaan ujian dibebankan kepada anggaran Fakultas Sains & Teknologi UIN Alauddin Makassar.
4. Apabila dikemudian hari ternyata terdapat kekeliruan dalam surat keputusan ini akan diubah dan diperbaiki sebagaimana na mestinya.

Keputusan ini disampaikan kepada yang bersangkutan untuk diketahui dan dilaksanakan dengan penuh rasa tanggung jawab

Ditetapkan di Makassar
Pada tanggal, 01 Agustus 2018

Dekan



Prof. Dr. H. Arifuddin, M. Ag.
19691205 199303 1 001



KEMENTERIAN AGAMA R.I.
UNIVERSITAS ISLAM NEGERI "ALAUDDIN" MAKASSAR
FAKULTAS SAINS & TEKNOLOGI

Kampus I: Jl. Sultan Alauddin No.63 Telp. 864924 (Fax 864923)
Kampus II: Jl. H. M. Yasin Limpo No.36, Romang Polong-Gowa telp.1500363
(0411)841879 Fax (0411) 8221400

Nomor : ~~8/82~~/Un.6/FST/PP.00.9/08/2018

Samata Gowa, 03 Agustus 2018

Sifat : Penting

Lamp : -

Hal : Undangan Munaqasyah

Kepada Yth

1. Ketua Majelis
2. Sekertaris
3. Para Penguji
4. Para Pembimbing
5. Pelaksana

Di-

Makassar

Assalamu Alaikum Wr. Wb

Dengan hormat kami mengundang Bapak/Ibu menghadiri Munaqasyah/Ujian meja Skripsi:

Nama : LORNA

Nim : 60400114041

Jurusan : FISIKA

Judul Skripsi : "Identifikasi Arah dan Jenis Sesar Aktif di Wilayah Sulawesi Selatan Menggunakan Metode Hiposenter dan Centroid (H-C)

Yang Insya Allah akan dilaksanakan pada :

Hari/Tanggal : Selasa/07 Agustus 2018

Waktu : 09.00-10.00 Wita

Tempat : Fakultas Sains & Teknologi UIN Alauddin Makassar

Demikian atas perhatiannya kami ucapkan terima kasih.

UNIVERSITAS ISLAM NEGERI



Wassalam
Dekan

Prof. Dr. H. Arifuddin, M. Ag.
P. 1969/205 199303 1 001

Kepada :

Yth: Dekan Fakultas Sains & Teknologi
UIN Alauddin Makassar

Dengan hormat, kami sampaikan siap hadir sesuai waktunya/ tidak siap hadir, dengan alasan.....

Demikian, untuk dimaklumi,

.....2018
Penguji/ Pembimbing,



KARTU KONSULTASI

Nama : LORNA
NIM : 60400114041
Program Studi : FISIKA
Jenjang : S1
Judul Tugas Akhir : Identifikasi Jenis dan Arah Geser Aktif di Wilayah Sulawesi Selatan menggunakan Metode Hiposenter dan Centroid (HC)
Pembimbing I : RAHMANIAH, S.Si, M.Si
Pembimbing II : AYU SARI WAHYUNI, S.Si, M.Sc
Pembimbing III : MUHAMMAD FAWZY ISMULLAH M., S.Si, M.T

No	Tanggal	Materi Bimbingan	Paraf Pembimbing I	Paraf Pembimbing II	Paraf Pembimbing III
1	10/12/2017	Acc judul	[Signature]	[Signature]	
2	8/1/2018	Latar belakang	[Signature]	[Signature]	
3	17/1/2018	Bab I	[Signature]	[Signature]	
4	10/1/2018	Bab II	[Signature]	[Signature]	
5	22/1/2018	Bab III	[Signature]	[Signature]	
6	21/2/2018	perbanyak referensi	[Signature]	[Signature]	
7	2/7/2018	Bab IV (Revisi)	[Signature]	[Signature]	
8	9/7/2018	penyusunan Bab IV, V	[Signature]	[Signature]	
9	16/7/2018	Bab IV (Revisi)	[Signature]	[Signature]	
10	19/7/2018	Penyusunan Kesimpulan Saran dan ABSTRAK	[Signature]	[Signature]	



KEMENTERIAN AGAMA R.I.
UNIVERSITAS ISLAM NEGERI (UIN) ALAUDDIN MAKASSAR
FAKULTAS SAINS DAN TEKNOLOGI

JURUSAN FISIKA

Kantor: Kampus II Il. Sultan Alauddin No. 36 Samata, Gowa

--	--	--	--	--	--	--	--	--	--

Catatan: Kartu ini harus dibawa setiap melakukan konsultasi pada dosen pembimbing dan diparaf oleh pembimbing.

Mengetahui,
Ketua Jurusan

UNIVERSITAS ISLAM NEGERI
ALAUDDIN
MAKASSAR

Sahara, S.Si., M.Sc., Ph.D
NIP. 19810272006042003

KARTU KONTROL MENGIKUTI SEMINAR PROPOSAL DAN SEMINAR HASIL JURUSAN FISIKA

NAMA MAHASISWA : LORNA

NIM : 60400114041

I. SEMINAR PROPOSAL

No	Hari/Tanggal	Nama Penyaji/NIM	Judul	Tanda Tangan Pembimbing Utama
1	Rabu / 8 Maret 2012	Husnah Lina / 6040011909	Analisis Parameter Sulfida gaspa bumi wilayah lingkungan timur Sulawesi dengan metode ampiris	M. Gh. Saif L. S.Si., M.Pd.
2	Selara / 14 Maret 2012	Miswara / 6040013006	Identifikasi rembesan limbah cair dengan metode gravitasi resistifitas di sekitar kawasan Industri Makassar	Harnawati, S.Pd., M.Pd.
3	Selara / 14 Maret 2012	Miliani Hamid / 6040013070	Pengaruh pemberian gelombang bunyi pada pertumbuhan ikan mas	Harnawati, S.Pd., M.Pd.
4				

II. SEMINAR HASIL

No	Hari/Tanggal	Nama Penyaji/NIM	Judul	Tanda Tangan Pembimbing Utama
1	Rabu / 20 September 2012	Charumi Syah / 60400113050	Identifikasi Indeks kerentanan Seismis geobudaya di kawasan kab. Gowa dengan metode horisontal to vertical spectral ratio	M. Gh. Saif L. S.Si., M.Pd.
2	Rabu / 20 September 2012	A Rasyiq Nur Amriyah / 60400115007	Studi Persebaran Epek lateral terhadap Risiko bahaya Seismis berdasarkan pengukuran Magnetoman di kec. Alitama, kab. Enrekang	M. Gh. Saif L. S.Si., M.Pd.
3	Senin / 16 Oktober 2012	Fahimat / 60400115065	Perencanaan dan Konstruksi Magnetik Elastomer M.B.S-0 ₂ Pada Bus Alas Jangka Nerteks-Elizone Lender	Pasiripinoh, S.Si., M.Pd.
4				

Catatan:

- Mahasiswa diwajibkan mengikuti minimal 3 seminar proposal dan minimal 3 seminar hasil sebagai persyaratan seminar proposal dan hasil.
- Kolom tanda tangan ditandatangani oleh pembimbing (utama).

RIWAYAT HIDUP



Penulis bernama **LORNA** atau akrab disapa "**ONNA**", lahir di Bosso Batu pada tanggal 26 Juli 1996. Penulis merupakan anak Kedua dari 3 bersaudara pasangan suami istri **Abd. Rahman P.** dan **Hawati**. Pendidikan formal penulis dimulai dari SD NEGERI 112 LEMO, DESA MABONTA KAB. LUWU TIMUR pada tahun 2002 sampai tahun 2008, setelah itu penulis melanjutkan kejenjang berikutnya di SMP NEGERI 3 BURAU, KAB. LUWU TIMUR dan penulis melanjutkan Sekolahnya di SMA NEGERI 1 BURAU yang sekarang dikenal dengan SMA NEGERI 7 LUWU TIMUR, dan selesai di tahun 2014. Penulis kemudian melanjutkan pendidikannya di perguruan tinggi Universitas Islam Negeri (UIN) Alauddin Makassar sampai dengan sekarang. Sampai dengan penulisan skripsi ini penulis masih terdaftar sebagai mahasiswa program studi S-1 Fisika Fakultas Sains dan Teknologi. Penulis berharap bahwa, semoga jurusan fisika ini nantinya dapat membawa penulis menuju tangga kesuksesan dan dapat menjadi tenaga praktisi dan peneliti dalam bidang ilmu fisika yang terintegrasi dengan ilmu keislaman.